



TALLINNA TEHNIKAÜLIKOO  
TALLINN UNIVERSITY OF TECHNOLOGY

# **Tartu turuhoone siseruumide restaureerimis- ja remondiprojekt**

**Magistritöö**

Juhendaja: Olev Suuder

Üliõpilane Kristiina Kruup  
110741EAEI

Üliõpilase meiliaadress [kristiinakruup@gmail.com](mailto:kristiinakruup@gmail.com)

Õppekava nimetus Tööstus- ja tsiviilehitus

Tartu 2017

Olen koostanud lõputöö iseseisvalt.  
Kõik töö koostamisel kasutatud teiste autorite  
tööd, olulised seisukohad, kirjandusallikatest ja mujalt  
pärinevad andmed on viidatud.

..... (töö autori allkiri ja kuupäev)

Üliõpilase kood: 110741EAEI

Töö vastab magistritööle esitatud nõuetele

..... (juhendaja allkiri ja kuupäev)

Kaitsmisele lubatud: ..... (kuupäev)

Kaitsmiskomisjoni esimees: ..... (allkiri)

## **ABSTRACT**

Kruup, K. Restoration and Retrofit Project of the Tartu Market Hall Interior. Master's thesis. In one volume. Tartu, 2017. 122 pages, 12 illustrations, 22 tables. Number and format of drawings: 7 x A2, 4 x A1. In Estonian.

Tartu Market Hall (built between 1936-1937) is protected under the Estonian national heritage conservation because of its historic and cultural value. The Neoclassical building is an example of Representative architecture which dominated in Estonia during the second half of the 1930s. The market hall was designed by the town architect Voldemar Tippel. The building takes the form of an enormous basilica with half pillars decorating every facade. The market hall consists of two parts: a higher main hall and a lower fish hall, which interiors are both in good condition. The basement under the main hall is currently mostly unused.

The aim of this Master's thesis is to present a new architectural design for the Tartu Market Hall interiors that would improve the utility of the space while still respecting and considering its historic structure and atmosphere. The second aim of this thesis is to demonstrate the author's knowledge of structural calculations through calculating the structural integrity of one of the existing steel roof frames to the extra load from a new ventilation room.

The thesis consists of three main chapters. The first chapter is made up by the special conditions for heritage conservation, where the history of the building and its current state are described. The second chapter composes of the specification of preliminary design which includes the new architectural concept, description of the building shell, used building materials and fire safety. The structural calculations for an existing roof frame are given in the third chapter. All architectural drawing, photographs of the current state of the building, historic photographs and archive materials are presented in the extras part of the thesis.

Key words: architectural drawings, special conditions for heritage conservation, interior, market hall, preliminary design, restoration, retrofit, steel frame, structural calculations, Tartu.

## SISUKORD

ABSTRACT .....	2
SISUKORD .....	3
SISSEJUHATUS .....	6
1 MUINSUSKAITSE ERITINGIMUSED.....	8
1.1 Üldist.....	8
1.2 Ajalooline ülevaade .....	9
1.3 Olemasoleva olukorra kirjeldus .....	11
1.4 Väärtushinnang hoonele, selle konstruktsioonidele ja detailidele ning kavandatavatele muudatustele .....	12
1.5 Muinsuskaitse eritingimused .....	15
2 SELETUSKIRI.....	19
2.1 Üldosa .....	19
2.1.1 Sissejuhatus .....	19
2.1.2 Üldandmed .....	19
2.2 Alusdokumendid .....	19
2.2.1 Lähteandmed .....	19
2.2.2 Mõõtmised .....	19
2.2.3 Normdokumendid.....	19
2.3 Asendiplaan .....	20
2.3.1 Projekteerimistöö piiritus .....	20
2.3.2 Olemasolev olukord.....	20
2.3.3 Heakorrastus .....	21
2.3.4 Maa-ala tehnilised andmed.....	21
2.4 Arhitektuur.....	21
2.4.1 Üldandmed .....	21
2.4.2 Olemasolev olukord.....	21

2.4.3	Arhitektuuri üldlahendus .....	21
2.4.4	Hoone ruumid .....	23
2.5	Hoone restaureerimine .....	24
2.6	Konstruktsioonid .....	24
2.6.1	Vundament .....	24
2.6.2	Põrand pinnasel .....	24
2.6.3	Trepid .....	25
2.6.4	Vahelaed .....	25
2.6.5	Katus, katuslagi .....	25
2.6.6	Välisseinad .....	26
2.6.7	Siseseinad .....	26
2.6.8	Avatäited .....	26
2.6.9	Liftid, tõstukid .....	26
2.6.10	Hoone tehnilised andmed .....	27
2.7	Küte ja ventilatsioon .....	27
2.8	Veevarustus ja kanalisatsioon .....	27
2.9	Tuleohtus .....	28
2.9.1	Tuleohutusklass, kasutusviis ja kasutusotstarve .....	28
2.9.2	Tuleohutuskujad .....	28
2.9.3	Kande- ja tuletõkkekonstruktsioonide tulepüsivusajad .....	28
2.9.4	Tuletõkkeseksioonid, tulepüsivus .....	28
2.9.5	Suitsutsoonid .....	29
2.9.6	Tuletundlikkus .....	29
2.9.7	Evakuatsioonilahendus .....	30
3	TUGEVUSARVUTUSED .....	32
3.1	Üldosa .....	32
3.1.1	Kasutatud projektid, abimaterjalid, normdokumendid ja arvutiprogrammid	32

3.1.2	Kontrollitav katusekonstruktsioon.....	33
3.2	Koormused.....	35
3.2.1	Omakaalukoormused .....	36
3.2.2	Lumekoormus.....	41
3.2.3	Tuulekoormus.....	44
3.3	Koormuskombinatsioonid.....	53
3.4	Fermi varraste ristlõikeklassid .....	53
3.5	Vööde dimensioneerimine .....	55
3.6	Sõlm A kandevõime kontroll.....	60
3.6.1	Geomeetria kontroll.....	60
3.6.2	Normaaljõukandevõime.....	63
3.7	Tõmbejätku kontroll .....	69
3.7.1	Poltliide.....	70
	<b>KOKKUVÕTE .....</b>	<b>76</b>
	<b>KIRJANDUSE LOETELU.....</b>	<b>77</b>
	Lisa 1. Muinsuskaitse eritingimuste lisad.....	80
	Lisa 1.1. Asendiplaan .....	80
	Lisa 1.2. Ajaloolised fotod .....	81
	Lisa 1.3. Ajaloolised joonised .....	83
	Lisa 1.4. Fotod olemasolevast olukorras .....	90
	Lisa 1.5. Plaanid koos kultuuriväärtuslike detailide ja fotode numbrite ja suunaga .....	104
	Lisa 2. Fermi F-1 joonis .....	109
	Lisa 3. Graafiline osa.....	111

## SISSEJUHATUS

Käesoleva magistritöö teemaks on Tartu turuhoone siseruumide restaureerimis- ja remondiprojekti koostamine.

Aastatel 1936-1937 ehitatud Tartu turuhoone on muinsuskaitse all. Hoone omab kultuurilist ja ajaloolist väärtust 1930ndate aastate Tartu uusklassitsistliku esindustraditsionalismi arhitektuurinäitena. Ehituse lõppedes oli Tartu tolleaegse linnaarhitekti V. Tippeli poolt projekteeritud turuhoone kõige suurejoonelisem Eestis. Teise maailmasõja käigus sai hoone kaks korda kannatada, kuid taastati peale sõda oma algsele kujule. Turuhoone koosneb kahest põhimahust: kõrgem lihahall ja madalam kalahall. Hoone on oma algse funktsiooni säilitanud tänapäevani.

Magistritöö eesmärgiks on luua turuhoone siseruumidele arhitektuurne lahendus, mis vastaks tänapäeva kasutaja vajadustele samal ajal väärtustades hoone ajalugu ning algupäras tundust. Magistritöö teiseks eesmärgiks on näidata töö autorit insener-tehnilisi teadmisi läbi turuhoone katusefermi kandevõime kontrollarvutuste teostamise lisakoormustele.

Antud teema on töö autor enda magistritööle valinud juhendaja Olev Suuderi soovitusel. Magistritöös pakutud lahendustel on praktiline väärtus, sest projekt moodustab töö autorit poolt koostatud ja magistritöö mahule vastava väljavõtte ARC Projekt OÜ 2017. aasta tööst „Tartu turuhoone siseruumide restaureerimise ja remondi ning tehnosüsteemide tööprojekt“.

Magistritöö eesmärkidest lähtuvalt on püstitatud järgmised ülesanded:

- turuhoone siseruumide restaureerimiseks muinsuskaitse eritingimustele koostamine;
- turuhoone interjööride ülesmõõtmine, kuna puuduvad tegelikule olukorrale vastavad alusplaanid;
- ruumide uue arhitektuurse lahenduse väljatöötamine vastavalt eritingimustele ja tellija soovidele;
- arhitektuurse eelprojekti seletuskirja koostamine;
- arhitektuursete jooniste koostamine eelprojekti mahus;
- hoone asukohale ja parameetritele vastavate lume- ja tuulekoormustele leidmine;
- hoone põhihalli olemasolevate katusefermide kandevõime kontrollimine projekteeritavast ventilatsioonikambrist tulevale lisakoormusele.

Magistritöö on jaotatud kolmeks osaks. Esimese peatüki moodustavad muinsuskaitse eritingimused, kus tuuakse välja hoone ajalugu, olemaoleva olukorra kirjeldus ja eritingimused hoone siseruumidele uue arhitektuurse lahenduse loomiseks. Töö teine peatükk sisaldab restaureerimis- ja remondiprojekti seletuskirja eelprojekti staadiumis, kus kirjeldatakse arhitektuurset üldkontseptsiooni, piirdetarindeid, materjalide valikut ja tuleohtust. Kolmandas peatükis on esitatud kandevõimearvutus turuhoone põhihalli olemaoleva katusefermi osadele, et kontrollida selle kandevõimet põhihalli pööningule projekteeritavast uuest ventilatsioonikambrist lisanduvale koormusele.

Lisades on esitatud muinsuskaitse eritingimuste lisad (vt Lisa 1), kuhu kuuluvad ajaloolised fotod ja joonised ning fotod hetkeolukorras koos seletatavate plaanidega, AS Tari poolt aastal 2000 projekteeritud katusefermi joonis (vt Lisa 2) ja eelprojekti graafiline osa (vt Lisa 3).

Töö autor soovib tänada ARC Projekt OÜ kollektiivi pühendumud juhendamise, nõu ja meeldiva koostöö eest.

# **1 MUINSUSKAITSE ERITINGIMUSED**

## **1.1 Üldist**

Käesolevad eritingimused on koostatud Tartu turuhoone tehnosüsteemide uuendamiseks ja siseruumide kujundamiseks. Eritingimused on tellinud Tartu Turg AS.

Hoone asub Tartu linnas Vabaduse puiestee 1 ja on ehitismälestisena muinsuskaitse all (registri number 6995).

1930ndate aastate lõpus ehitatud turuhoone oma algse funktsiooni säilitanud tänapäevani.

Eritingimuste koostamiseks on kasutatud järgnevaid materjale:

- 1) Tartu V. Ülevaade linnavalitsuse tegevusest 1936/37. a. Jooni Tartu ajaloost ja kaubandusest. Statistikat. / Tartu linna statistikabüroo. Tartu : OÜ Ilutrükk, 1938.
- 2) Rahvusarhiiv [edaspidi RA], ERA.2966.5.589 (Aruanne Tartu turuhoone ehitamise kohta 1936-1937).
- 3) Eesti kunsti ajalugu: 5, 1900-1940. / M. Kalm. Tallinn : Eesti Kunstiakadeemia, 2010.
- 4) Eesti arhitektuur: 4, Tartumaa, Jõgevamaa, Valgamaa, Võrumaa, Põlvamaa / V. Raam. Tallinn : Valgus, 1999.
- 5) Onton, V., Tippel, V. Tartu turuhoone joonised. Tartu, 1937. (asukoht Tartu LV arhitektuuri- ja ehitusosakonna arhiiv)
- 6) RA, ERA.2966.5.578 (Turuhoone ehitustööde joonised).
- 7) RA, ERA.2966.5.580 (Turuhoone aluse projektid).
- 8) RA, ERA.2966.5.581(Turuhoone ehitustööde keldri põrandate ja lagede detailjoonised).
- 9) RA, ERA.2966.5.577 (Turuhoone ehitustööde joonised).
- 10) Tartus, Turuplatsil asuva turuhoone taastamis-remonttöödeks töödekirjeldus ja eelarve rahaline arvutus / Tartu Linna Täitevkonitee Kaubandus Osakond. Tartu, 1945. (asukoht Tartu LV linnaplaneerimise ja maakorralduse osakonna arhiiv)

- 11) Suuder, O. Muinsuskaitse eritingimused Tartu turuhoone küttesüsteemi vahetamiseks ja siseruumi kujundamiseks. ARC Projekt OÜ, Tartu, 2011. (asukoht ARC Projekt OÜ arhiiv)
- 12) Martis, E. Tartu linnas, Turuhoone kaubalifti töstevõimega 500 kg tööjoonised. Tartu, 1963. (asukoht Tartu LV arhitektuuri- ja ehitusosakonna arhiiv)
- 13) AS TARI projekt „Tartu turuhoone lihahalli katus“ töö number TR-030-00, mai 2000.

## 1.2 Ajalooline ülevaade

Tartu linna turuhoone ehituse küsimus oli päevakorral juba 1920ndatel, kuid hoone lõpliku kavandamise ja ehitamiseni jõuti alles 1930ndatel. Sobiva arhitektuurise kavandi leidmiseks korraldati 1935. aastal kaks võistlust. Peale kahte mitterahuldavaid tulemusi andnud konkursi otsustas Tartu Linnavalitsus koguda täiendavaid andmeid teiste Eesti ja Euroopa turuhoonete kohta. Linnavalitsuse uutest juhistest lähtudes projekteeris praeguse turuhoone Tartu tolleaegne linnaarhitekt V. Tippel koostöös linnanõunik J. Roo ja linnainsener V. Ontoniga. Turuhoone ehitustööd teostas ettevõte dipl. ins. venn. Edenbergid.[1] Ehitustöödega alustati 1936. aasta sügisel. Turuhoone võeti kasutusele 03.01.1938, kuigi, seoses Inglismaalt tellitud külmutusseadmete hilinenud kohalejõudmisega, lükkus ametlik ehitise vastuvõtmise edasi sama aasta kevadesse.[1, 2]

Konstantin Pätsi valitsusajal, 1930ndate teisel pool levis Eestis avalike hoonete puhul esindustraditsionalism, mis on ajaloost eeskuju võtnev arhitektuuristiil [3]. Tartu linnapildis omandas esindustraditsionalism klassitsitliku vormikeele, mida näeb ka turuhoone toskaana poolsammastega dekoreeritud fassaadikujunduses. Hoone tempellik üldilme seguneb funktionalistlikku kompositsiooniga, mida väljendavad horisontaalsust röhutavad karniisid ja madalad röhtaknad [3, 4]. Hoone fassaadid on viimistletud tumeda graniitkrohv [4]. Põhihalli ruumivorm võtab eeskuju basiilikast [3, 4].

Turuhoone moodustab  $1511,90 \text{ m}^2$  suurune põhihall ja selle madalam juurdeehitus,  $340,10 \text{ m}^2$  suurune kalahall [1, 4, 5]. Põhihalli oli projekteeritud 74 müügikohta, mis jaotusid ruumi keskel nelja müügisaare ja halli välisperimeetril paiknenud müügikohtade vahel. Kalahalli

oli algsest planeeritud 14 müügikohta.[1, 5] Põhhalli alla projekteeriti kelder kauba hoiuruumide ning külmkambritega [1, 5, 6].

Pinnasest tulenevalt rajati hoone puit-vaiadele [2, 4, 7]. Turuhoone keldri seinad ehitati pölli- ja tsementkividest, maapealsed seinad pöletatud savitelliskividest [2]. Keldriruumide põrandad ja lagi ning kandepostid ehitati raudbetoonist [2, 8]. Põhhalli lael on kolm tasapinda: kõige madalam hoone välisperimeetril eenduvate müügiruumide kohal 3,4 meetrit, keskmise vaba osa kõrgus oli algsest 9,9 meetrit ja valgusavade kohal 14,1 meetrit. Algseteks katusekandjateks olid puust fermid ning katusekatte materjaliks plekk.[1] Kalaosakonna ruumid projekteeriti vastavalt 4,7 ja keldriruumid 2,6 m kõrged [1, 6]. Kalaosakonnas ehitati harilik puust lagi ja katus kaeti samuti plekiga.[1]

Põhi- ja kalahalli interjööris kaeti põrandad käikude osas metlahhplaatidega, kauplus- ning kõrvalruumides tsementkiviplaatidega [1, 5]. Puulagi põhhallis värviti õlivärviga ja kalahalli krohvitud lagi lubivärviga. Kauplemisruumide krohvitud seinad kaeti toon-õlivärviga. Kalahallis oli neli läbijooksva veega basseini eluskalade jaoks, kuhu saadi vett Emajõest automaatselt töötavate elektripumpade abil.[1]

Turuhoone keldrikorrasel asusid panipaigad kauplejatele kauba hoiustamiseks, elektritransformaatori-, pumba- ja jahutus- ning külmutusruumid. Jahutusruume oli kaks põhi- ning lihasaaduste hoidmiseks, üks ruum kala ning kalasaaduste hoidmiseks ja üks ruum või tagavarade hoidmiseks. Külmutusruume oli kokku kaks - üks külmutatud liha- ja teine kalasaaduste säilitamiseks.[1, 6] Jahutus- ja külmutusruumide seinad ja laed (alla 0° C temperatuuriga ruumides ka põrandad) isoleeriti surve all ekspandeeritud asfalt-korkplaatidega. Kõik keldriruumide seinad krohvititi ja värviti lubivärviga.[1]

Hoone põles osaliselt 1941. aastal sõjategevuse tagajärvel ja taastati aastatel 1942-1943 [10].

Teistkordsest sai hoone sõjategevuses kahjustada 1944. aastal. Kõige suuremad olid kahjustused katusekonstruktsioonidele ja avatäidetele. Kahjustuste ekspertiisi tegid insenerid N. Oll, H. Laul ja H. Oengo.[10, 11]

1960ndatel aastatel remonditi vee ja kanalisatsioonitorustikke ning paigaldati põhhalli keldrikorrusega ühendav kaubalift [12]. Järgmised suuremad remonttööd toimusid 1980ndatel

aastatel, mil vahetati keskküttesüsteem, vee ja kanalisatsiooni elemendid, uuendati elektri-süsteem, tehti uus sisekujundus. Viimase projekt tehti ENSV Kaubandusministeeriumi Projekteerimis- ja Tehnoloogia Instituudis, seal käsitletakse peaasjalikult viimistlusmaterjale. Sellest ajast pärineb ka praegune, algupärasele viitav müügilettide kujundus.[11]

Terve katusekonstruktsioon vahetati terasfermide vastu 2000. aastal [13]. Restaureeritud on fassaadid ja paigaldatud uued aknad ja uksed. Viimastel aastatel on põhihallis välja vahetud külmletid ja külmkapid. Kalahallis vahetati kommunikatsioonid ja tehti viimistlusremont 2009.[11]

### 1.3 Olemasoleva olukorra kirjeldus

Ühekorruseline kahest müügihallist koosnev hoone on valdavalt säilinud oma ehitusaegses mahus ning ehitusaegse välisilmega. Teise maailmasõja käigus sai hoone küll kõvasti kannatada, kuid taastati peale sõda ehitusaegsele kujule.

Katusekonstruktsioonide vahetuse käigus on muutunud põhihalli lae kujundus sõjakärgsega võrreldes (vt Lisa 1.2 joonis 17 ja Lisa 1.4 foto 1).

Viimase paarikümne aasta jooksul on turuhoone interjööre etapiliselt remonditud-restaureeritud ning siseviimistlus on nii kala- kui põhihallis heal tasemel. Samas puudub mõlemas müügihallis ühtne algupärasest lähtuv sisekujunduse kontseptsioon. Säilinud on algupäarane müügikohtade paigutus ning müügisaared põhihallis. Aegade jooksul on keldrikorruse kasutamise asemel hakatud põhihallis kaupa ladustama suurtes külmikutes ning põhihalli jõepoolsesse külge ehitatud külmkambris, mis osaliselt katab kauplemisruumi. Spetsiaalselt külmkambriteks ja kauba ladustamiseks mõeldud keldrikorras ei vasta tänapäeva tingimustele ning on suuremas osas kasutuseteta.

Keldrikorrasel on osaliselt säilinud algne ruumijaotus keskse külmkambriteks jaotatud saare ning seda ümbritseva ringkoridori näol. Keldri välisperimeetril algsest puidust ettenähtud hoiuruumide seinad on hetkel laotud tellistest. Keldri põrandad on peaaegu täielikult kaetud raudbetooniga, vaid üksikutes ruumides on kasutatud ka keraamilist platti või puitlaudist. Ringkoridoris on betoonpõrandale mitmes etapis üritatud anda kaldeid vee juhtimiseks ära-vooultrappidesse, mille tulemusena on põranda tasapind väga ebaühlane.

Keldri avatäidetest on säilinud 7 algsete külmkambrite ja hoiuruumide ust (uksed number 8, 32, 34, 35, 38-40; vt Lisa 1.4 fotod 33-36). Olemasolevate välisperimeetril paiknevate hoiuruumide uksed on kõik hilisemast perioodist, kuna algsetel plaanidel antud hoiuruumid puuduvad. Hilisematest laoruumide ustest on kõige enam säilinud kahte tüüpi siseuksi (vt Lisa 1.4 fotod 37-39).

Hoone algupärastes raudbetoonist vahelae konstruktsioonides on visuaalsel vaatlusel märgata vajumispragusid hoone nurkades talade liitumiskohtades ja ühte pragu kõrge välisseina aluses talas keldrikorruse ruumi 006 juures.

Halvas seisukorras on kalahalli Vabaduse puiestee poolne trepikoda, kus trepi viimistlus on hakanud pragunema ja varisema, samuti on halvas seisukorras trepi käsipuu (vt Lisa 1.4 foto 15).

Väärtuslike detailidena on säilinud kõik trepikäsipuud põhikorruse ja keldri vahelistes trepikodades (vt Lisa 1.4 fotod 17-19). Säilinud käsipuudest kolm on head seisukorras ja üks väga halvas seisukorras (vt Lisa 1.5 põhikorruse plaanil ruum nr 124). Säilinud on ka käsipuud põhi- ja kalahalli vahelisel trepil (vt Lisa 1.4 fotod 10, 11). Samuti on säilinud kala- ja põhhiali vahelises käigus (vt Lisa 1.4 foto 9) ning kahes vähem kasutatud trepikojas vuukideta paigaldatud metlahhplaatidest keraamilised põrandad (vt Lisa 1.4 foto 16, 18).

Tervikuna jätab turuhoone interjöör isikupäratu ja eklektilise mulje, kus eeskätt on lähtutud pragmaatisusest.

Hoone kütte- ja ventilatsioonisüsteemid on tehniliselt amortiseerunud ning vajavad tervikuna väljavahetamist.

#### **1.4 Väärtushinnang hoonele, selle konstruktsioonidele ja detailidele ning kavandata-vatele muudatustele**

Eestis ainulaadne Tartu turuhoone on suure tähtsusega mälestis, mis ilmestab Tartu kesklinna piirkonna arhitektuuri kui esinduslik näide 1930ndate aastate ühiskondlikest hoonetest.

Turuhoone sisearhitektuuris plaanitavate muudatuste eesmärgiks on sisekujunduses ühtse terviku loomine ning tehnosüsteemide uuendamine. Kavandatavate tööde käigus hoone funktsiooni ei muudeta.

Põhikorrusel luuakse uus sisekujunduslahendus eritellimusmööbli ning valgustuslahendusega. Olemasolevat müügipinda suurendatakse praeguste abipindade võrra, mis kolitakse ümber keldrikorrusele. Säilitamisele kuuluvad kõik välisuksed ning tuulekodade uksed ja kalahalli pääs. Põhihallis on lubatud lammutada juba praegu osaliselt suletud ning kasutuna seisev trepikoda. Samuti on lubatud eemaldada välistrepp põhihalli Emajõe ning Riia mnt poolsest nurgast (vt Lisa 1.4 fotod 40, 41). Välisuks VU 109 tuleb säilitada.

Hetkel suures osas kasutama keldrikorrusel on lubatud muuta olemasolevat ruumijaotust, et võimaldada pinna tõhusam ning mugavam kasutamine. Keldrikorrusele plaanitakse rajada tänapäeva tingimustele vastavad töötajate riietusruum, laoruumid ja külmuurid kauba hoiustamiseks ning ruumid kauba töötlemiseks (lihatöötlusruum). Lubatud on ka keldrikorruse osaline kasutuselevõtt äripinnana (toitlustusasutus). Uute ruumiprogrammi saavutamiseks on lubatud lammutada olemasolevaid kergvaheseinasid ning ehitada uusi, tingimusel, et säilib ringkoridori idee.

Kõik keldrikorrusel säilinud algupärased uksed tuleb säilitada ja restaureerida. Samuti kuuluvad säilitamisele ja restaureerimisele kuus hilisemat kultuuriväärtuslikku ust. Kui ruumide uued funktsioonid ei võimalda algupärase ukse kasutamist võib säilinud uksi paigutada keldrikorrusel mõne teise ava ette või säilitada fikseeritult avatud olukorras ning ehitada samasse avasse uus, tänapäevastele nõuetele vastav uks.

Kolmes keldrikorruse algses külmkambris on säilinud metallist lihariputuskonstruktsioonid. Kuna tänapäeva tingimustes ei ole algupäraseid konkse enam võimalik kasutada, on kahes tulevases uues külmkambris lubatud konksud eemaldada. Säilitamisele kuuluvad lihariputuskonstruktsioonid keldrikorruse ruumis 040.

Keldriruumide kasutusele võtmiseks on uue ventilatsioonilahenduse loomine hä davajalik. Uute ventilatsioonitorude ja teiste tehnosüsteemide kinnitamine keldriruumide lakke on lubatud tingimusel, et ei kahjustata olemasolevaid raudbetoonist kandekonstruktsioone.

Turuhoone keldrikorruse kasutamine laopinnana on aastate jooksul vaibunud, sest selleks puudub kauplejatele mugav ja läbimõeldud lahendus. Kauba kandmine keldrist mööda treppे on ajakulukas ja füüsiliselt raske. Põhihallis olemasolev lift on amortiseerunud ja suuda teenindada kogu hoone vajadusi. Keldrikorruse sihipärasema kasutamise võimaldamiseks tulevikus on põhihalli ja keldrikorruse vaheline on lubatud projekteerida kolm uut kauabalifti ning üks lift, mis suudaks transportida nii kaupa kui ka töötajaid. Kauba paremaks transpordiks keldris paiknevatesse laoruumidesse on lubatud lammutada hoone jõepoolne keldrisse viiv kaldtee ning asendada see tõstukiga tingimusel, et säilib hoone eksterjööri praegune ilme.

Põhihalli lõunapoolses nurgas asuv olemasolev lift on hilisem juurdeehitus ja see on lubatud lammutada koos teenindusruumiga rödu tasapinnas ja rödu laiendusega.

Kalahallis on lubatud lammutada praegused töötajatele mõeldud tualettruumid, kuhu pääseb tänavalt, ning viia need ümber keldrikorrusele. Tualettruumide asemele võib projekteerida abiruumid kauplejatele. Kalahalli fassaadilahendus koos sissepääsudega peab säilima.

Tervikuna vahetatakse välja hoone ventilatsiooni- ja küttessüsteemid. Tehnosüsteemide rajamisel tuleb nii palju kui võimalik ära kasutada olemasolevaid läbiviike. Uued ventilatsiooniseadmed on lubatud paigutada põhi- ja kalahalli pööningutele nii, et kogu seadmete maht jäääb olemasolevasse hoone mahtu. Sellise lahenduse puhul lisandub müügihallidesse kõige vähem uusi torusid, mis rikuksid interjöörile taastatavat ajaloolist ilmet. Põhihallis on ventilatsionitorude jaoks lubatud teha läbiviigud olemasolevasse rödutasapinda ning viia ventilatsionitorud üles halli pööningule mööda hoone nurkasid. Põhihallis olemasolevad radiatorid ei ole algupärased ning need on lubatud eemaldada. Lettide tagune seinapind on hea jäätta vabaks müügipindandeks ja abipindade jaoks, mistõttu on kõige otstarbekam paigaldada ruumi põrandakütte. Põrandakütte on vajalik ka kauplejate töötingimuste parandamiseks. Põrandakütte paigaldamiseks on lubatud tõsta põrandatasapinda nii palju, kui olemasolevad uksed seda võimaldavad.

## **1.5 Muinsuskaitse eritingimused**

1. Kavandatavate tööde käigus ei tohi muuta hoone arhitektuurilist välisilmet ega katusekuju. Juurde- ja pealeehitused ei ole lubatud.
2. Säilitada algsed kandekonstruktsioonid.
3. Säilitada algne kapitaalseintega antud ruumilahendus. Sekundaarsete vaheseinte lammutamine on lubatud. Lubatud on uute kergovaheseinte ehitamine põhihalli postidetagusele välisperimeetrile. Lubatud on uute vaheseinte ehitamine keldrikorru- sele nii, et säilib praegune liikumisskeem ringkoridori kujul.
4. Restaureerida kalahalli Vabaduse puiestee poolne trepp (vt Lisa 1.5 keldrikorrusel trepp ruumis 009 ja põhikorrusel ruum 124).
5. Kontrollida vahelae talade kandevõimet ja tehnalist seisundit, vajadusel restaureerida või asendada algupärastega identsete taladega.
6. Sisekujunduse uuendamisel säilitada algupärane müügikohtade paigutus nelja müügisaare ja välisperimeetril paiknevate müügipindade näol.
7. Siseruumide viimistlemisel lähtuda ajaloolisest arhitektuurist ja ajastukohasest stiilunnetusest. Kasutada tuleb sobilikke ajastukohased materjale. Kala- ja põhihalli mööbli kujunduses tuleb eeskuju võtta turuhoone esmasest avamisajast säilinud fotodest ning sisustuse joonistest.
8. Põhikorruse põrandakujunduses tuleb järgida säilinud erinevatoonilistest metallplaatidest põrandate tööjoonistest (vt Lisa 1.3 joonised 21 ja 26). Müügihallide põrandad katta kahes toonis keraamiliste plaatidega. Kasutada tuleb täiskiviplaatide mõõtmetega 15 x 15 cm, värvitoonides elevandiluu valge ja bordoo punane. Müügihallide põrandatel on bordoopunases toonis plaadiriba sammaste ees. Põhihallis võib müügisaari ümbritsevate tumedamate plaatide vöö asukohta ja mõõtmeid muuta vastavalt uute letipindade mõõtudele. Kalahalli põrandal tuleb bordoopunaste plaatidega markeerida ka endiste värske kala basseinide asukohad. Trepikodade põrandad tuleb plaatida maleruudu mustris. Kõik põrandaplaatide vuugi maksimaalne laius võib olla kuni 2 mm.

9. Lubatud on lammutada olemasolev liftišaht ja teenindusruum põhihalli rõdu tasapinnas.
10. Lubatud on laiendada põhihalli rõdu kas kirde või edela küljel kohvikupinna loomiseks.
11. Lubatud on projekteerida kolmel müügsaarel kaubaliftid kauba transportimiseks keldris paiknevatest hoiuruumidest põhihalli müügsaali.
12. Põhihalli idapoolses nurgas (vt Lisa 1.5 põhihalli plaan ruum 102) on hoone sees lubatud lammutada trepp ning asendada see uue liftiga töötajate teenindamiseks põhihalli ja keldrikorruse vahel ja tualettruumidega turuhoone klientide teenindamiseks.
13. Hoone idapoolses välisnurgas on lubatud lammutada betoonist välistrepp.
14. Hoone idapoolsesse välisnurka on lubatud paigutada külmaseadme väline agregaat, mis tuleb varjesta metallist ribipiirdega.
15. Välisuks VU109 ja VU104 tuleb säilitada, kuid on lubatud seestpoolt kinni ehitada. Kinni ehitamise korral tuleb uksed seestpoolt soojustada.
16. Keldrikorruse suitsuärastuse lahendamiseks on lubatud hoone kirdefassaadile (Emajõe poolne fassaad) soklisse rajada restiga kaetud ava, suurendades minimaalselt olemasolevate keldriruumide ventilatsiooniks ette nähtud algset ventilatsiooniava.
17. Lubatud on ventilatsioonikambrite rajamine põhi- ja kalahalli pööningule selliselt, et kõik tehnilised seadmed jäavad hoone mahtu. Lubatud on valgustusavade kohal kahte aknaava kasutada ventilatsiooniseadmete sissetõmbe ja väljapuhke ühendamiseks välisruumiga.
18. Lubatud on rajada ventilatsioonisüsteemile uusi tehnilisi läbiviike põhihalli rõdukonstruktsiooni.

19. Põhihallis on lubatud paigaldada ventilatsioonistüsteemi torud ringrõdu alla ja katta need parema üldilme saavutamiseks kergkonstruktsioonis kipskarkassiga või värvida valgeks. Torude ette võib kinnitada kogu muu sise- ja letikujundusega ühtivad vertikaalsed reklaampinnad.
20. Olemasolevad radiaatorid on lubatud eemaldada. Mõlemas müügihallis on lubatud paigaldada põrandaküte ning selle jaoks tõsta olemasolevat põrandapinda nii palju, kui olemasolevad uksed seda võimaldavad.
21. Säilitada ja restaureerida hoone keldris säilinud originaaluksed (uksed numbritega U008, U032, U034, U035, U038, U039, U040) ja hilisemad kultuuriväärtuslikud uksed (uksed number U011, U019- U022, U024). Keskmise saare osa külmkambrite uksed peavad jäÄva oma algsetesse kohtadesse, kultuuriväärtuslikud uksed võib keldri piires ümber paigutada teistesse avadesse. Uste paiknemine on toodud lisas 5 keldrikorruse plaanil. Kõik keldrikorrasel ringkoridori avanevad uued uksed valmistada säilitatavate uste eeskujul.
22. Säilitada ja vajadusel restaureerida algupärased trepikäsipuud (Lisa 1.5 põhikorruse plaanil ruumid: 104, 118, 124, 125 ja põhi- ja kalahalli vaheline trepp).
23. Põhihalli müügsaali ehitatud külmkamber eemaldada kui sobimatu element. Uued külmkambrid rajada keldrikorraselle.
24. Kalahallis on lubatud lammutada tualettruumid (Lisa 1.5 põhikorruse plaanil ruumid numbritega 120, 121) kalahalli välisnurkades sissepääsuga tänavalt ning asendada need kauba töötlemiseks vajalike ruumidega. Kalahalli fassaadilahendus koos sissepääsudega peab säilima.
25. Lubatud on süvendada hoone Emajõe poolset kaldteed ning asendada see trepi ja tõstukiga. Säilima peab hoone praegune välisilme.
26. Ajaloolised lihariputuskonksud ruumis number 040 säilitada ja eksponeerida.
27. Kultuuriväärtuslike tarindite ja detailide loetelu:
  - Raudbetoonist kandekonstruktsioonid
  - Algupärased uksed keldris (uksed number 008, 032, 034, 035, 038, 039, 040)

- Kultuuriväärtuslikud uksed keldris (uksed number 003, 005, 011, 019- 022, 024)
- Säilitamisele kuuluvad trepikäsipuud (ruumid: 104, 118, 124, 125 ja põhi- ja kalaahalli vaheline trepp)
- Metlahhplaatidest põrandad ruumides 118, 124
- Lihariputuskonksud keldrikorruse ruumis 040

(väärtuslikud detailid on märgitud plaanidele Lisas 1.5)

## **2 SELETUSKIRI**

### **2.1 Üldosa**

#### **2.1.1 Sissejuhatus**

Seletuskiri koostatakse vastavalt standardile EVS 865-1:2013 „Ehitusprojekti kirjeldus. Osa 1: Eelprojekti seletuskiri“. Projekt käsitleb turuhoone siseruumide restaureerimist. Kinnistul paikneb kaitsealune turuhoone (ajaloo- ja ehitismälestis KMR, reg. Nr. 6995).

#### **2.1.2 Üldandmed**

- Objekt: Tartu turuhoone
- Aadress: Vabaduse pst 1, Tartu linn, Tartu maakond
- Tüüp: turuhall

### **2.2 Alusdokumendid**

#### **2.2.1 Lähteandmed**

- Tellija lähteülesanne
- Muinsuskaitse eritingimused Tartu turuhoone siseruumide restaureerimiseks ja remondiks ning tehnosüsteemide uuendamiseks – esitatud käesoleva töö peatükis 1.

#### **2.2.2 Mõõtmised**

- Käesolevas töös on aluseks võetud töö autoril ja A. Soonseina poolt teostatud ülemõõtmised.

#### **2.2.3 Normdokumendid**

- Eesti Vabariigi Ehitusseadustik (vastu võetud 11.02.2015, muudetud, täiendatud, viimati jõustunud 01.03.2017) [14]
- Eesti Vabariigi Muinsuskaitseeadus (vastu võetud 27.02.2002, muudetud, täiendatud, viimati jõustunud 01.07.2015) [15]

- Majandus- ja taristuministri määrus 05.06.2015 nr 57 „Ehitise tehniliste andmete loetelu ja arvestamise alused“ [16]
- Majandus- ja taristuministri 17.07.2015 vastuvõetud määrus nr 97 „Nõuded ehitusprojektile“ [17]
- EVS 865-1:2013 „Ehitusprojekti kirjeldus. Osa 1: Eelprojekti seletuskiri“ [18]
- Siseministri 30.03.2017 määrus nr 17 „Ehitisele esitatavad tuleohutusnõuded ja nõuded tuletörje veevarustusele“ [19]
- EVS 812-7:2008 „Ehitiste tuleohutus. Osa 7: Ehitistele esitatava põhinõude, tuleohutusnõude tagamine projekteerimise ja ehitamise käigus“ [20]
- EVS-812-6:2012 „Ehitise tuleohutus. Osa 6: Tuletörje veevarustus“ [21]
- EVS-EN-50172:2005 „Evakuatsiooni hädavalgustussüsteemid“ [22]

## 2.3 Asendiplaan

### 2.3.1 Projekteerimistöö piiritus

Antud objekt asub Tartu linnas, Vabaduse puiestee 1 kinnistul (katastriüksuse number 79507:027:0003). Käesolev projekt käsitleb antud kinnistul paikneva turuhoone siseruumide restaureerimist, remonti ja tehnosüsteemide uuendamist. Kinnistu haljastust, krundisseste teede ja platside projekteerimist ja vertikaalplaneerimist antud projektis ei käsitleta.

### 2.3.2 Olemasolev olukord

Kinnistu aadressiga Vabaduse puiestee 1, Tartu linn, asub Tartu kesklinnas Emajõe kaldal. Ainsa olemasoleva hoonestusena paikneb kinnistul Tartu turuhoone (ajaloo- ja ehitismälestis KMR, reg. nr. 6995).

Kinnistu piirneb kagust roheala ja Riia maanteega, edelast Vabaduse puiesteega, loodest parklaga, kirdest jõeäärase rohealaga ning Emajõega. Hoone ümbruse planeering on tasane, pinnas langeb Vabaduse puiesteelt Emajõe suunas. Kinnistul puudub kõrghaljastus ja kinnistut katab täies ulatuses asfaltkate. Põhisissepääs kinnistule on Vabaduse puiesteelt läbi Vabaduse puiestee 1a kinnistul paikneva parkimisplatsi.

### **2.3.3 Heakorrastus**

Projekteeritavad jäätmete kogumismahutid hakkavad paiknema turuhoone idanurgas. Paiknemine on toodud asendiplaanil. Ligipääs on tagatud jäätmekäitusfirma teenindussõidukitele.

### **2.3.4 Maa-ala tehnilised andmed**

Krundi pindala ja sihtotstarve	4370 m <sup>2</sup> , ühiskondlike ehitiste maa 100%
Ehitusealune pind	1928 m <sup>2</sup>
Täisehitusprotsent	44%
Hoone tuleohuklass	
Turuhoone tulepüsivus	TP-2
Hoone nurgapunktide koordinaadid	vt. asendiplaani joonis

## **2.4 Arhitektuur**

### **2.4.1 Üldandmed**

Käesolev projekt käsitteb olemasoleva hoone – Tartu turuhoone interjööri restaureerimist ja remonti. Projekti eesmärgiks on luua hoonele terviklik sisekujunduslahendus ja parandada hoone funktsionaalsust turuhoonena.

### **2.4.2 Olemasolev olukord**

Kirjeldatud käesoleva töö peatükis 1. Muinsuskaitse eritingimused.

### **2.4.3 Arhitektuuri üldlahendus**

#### **Hoone paiknemine, planeeringu piirangud**

Turuhoone asub Tartu kesklinnas Vabaduse puiestee ja Riia maantee ristmiku ääres ning Emajõe kaldal. Hoone kinnistul on lauge kallak Emajõe suunas, kogu kinnistu on täidetud parklaga ning puudub haljustus. Jalakäijatel on hoonele ligipääs kõigi nelja fassaadi suunast, parkklasse pääseb läbi kõrvaloleva kinnistu, mis on sammuti parkla.

Kõrgemast põhihalli mahust ja madalamast kalahallist koosnev hoone on ehitatud 1930ndate teises pooles. Põhi- ja kalahalli ühendavad põhihalli all paikneva keldrikorrusega neli algset trepikoda. Hoone peasissepääs asub loodepoolsel fassaadil. Lisaks on hoonel sissepääsud ka kõikidel teistel fassaadidel.

### **Hoone ehitusetapid ja laiendamise võimalused**

Turuhoone interjööri restaureerimine toimub ühes etapis. Tellija soovib tulevikus laiendada äripinda ka hoone keldrikorrusele avades seal toitlustusasutuse. Teise võimaliku edasiarendusena näeb tellija olemasoleva põhihalli ringrõdu laiendamist kohvikupinna loomiseks.

### **Hoone arhitektuuri üldkontseptsioon**

Turuhoone kannab edasi oma algupärast funktsiooni. Hoone interjööri üldilme parandamiseks ning keldrikorruse sihtotstarbelisemaks kasutamiseks on vaja teha mõningaid muudatusi, mille teostamise aluseks on koostatud Muinsuskaitse eritingimused – käesoleva töö peatükk 1.

Käesoleva projektiga on kavandatud osaliselt muuta ruumide planeeringut ning parandada ühendust põhikorruse ja keldrikorruse vahel. Projekteerimisel on arvestatud olemasolevate ajalooliste põhikonstruktsioonide säilitamisega ja uue ruumiprogrammi mahutamisega nendesse.

Tellija soovidest ja vajadustest lähtuvalt on vaheseinte eemaldamise või lisamisega muudetud väikeses mahus olemasolevate ruumide planeeringut. Kõige suuremad muudatused planeeringus toimuvad keldrikorrasel, kuhu projekteeritakse uued kauba hoiuruumid, abi- ja tehnilised ruumid ning töötajate garderoobid ja puhkeruum. Kauba paremaks transpordiks uutesse hoiuruumidesse projekteeritakse ümber turuhoone idapoolne kaldtee, mis asendatakse kaubatõstukiga.

Põhikorrasel müügihalli idanurgas lammutatakse trepikoda ja asendatakse see klientide tualettruumidega. Olemasolev lift lammutatakse koos ringrõdu laiendusena ehitatud lifti teenindusruumiga. Ringrõdu taastatakse hoone valmimisaegsele kujule. Põhihalli projekteeritakse uus personali teenindav lift ning kolm kaubatõstukit keldrikorruse ja põhihalli müügi-saarte vahel.

Kalahallis lammutatakse tänavalt sissepääsuga töötajate tualettruumid ja asendatakse need kauplejatele vajalike abipindadega.

#### **2.4.4 Hoone ruumid**

Turuhoone jaguneb funktsionaalseteks tsoonideks: põhikorruse avalik müügitsoon põhi- ja kalahallis ning kauba töötlemis- ja hoiuruumid ning töötajate garderoobid keldrikorrasel.

Põhihallis lammutatakse olemasolevad hilisemad kergvaheseinad, et suurendada müügipinda. Uute ruumidena projekteeritakse administratsiooniruum halli põhjanurgas ning toitlustaja köök läänenurgas. Põhihalli idanurgas lammutatakse trepikoda ning asendatakse see kolme klientidele mõeldud tualettruumiga, millest üks vastab ka puudega inimeste erivajadustest tulenevatele nõuetele.

Kalahallis lammutatakse kaks sümmeetriliselt hooneosa tänavapoolsetes nurkades asuvat tänavapoolse sissepääsuga töötajate tualettruumi ning asendatakse need kauplejatele mõeldud abiruumidega.

Hetkel suures osas kasutuseta seisvale keldrikorraselle projekteeritakse tänapäeva tingimustele vastavad kauba külmkambrid ja hoiuruumid ning lihatöötlemisruum, samuti töötajate garderoobid, puhkeruum ja muud tehnilised ja abiruumid. Suures osas säilib keldrikorruse praegune ruumijaotus. Külmkambrid, kaubaliftid ja lihatöötlemisruum hakkavad paiknema keskmises osas, kus ruumi liigendatakse kergvaheseinte ja uute avade abil. Keldrikorruse kirdeküljel lammutatakse olemasolevad vaheseinad ning sinna projekteeritakse uus prügiruum, koristajaruum ning töötajate tualettruumid, puhkeruum ja duširuum. Kagupool hakkab paiknema töötajate garderoob, keldrikorruse edelaküljele luuakse tehniline valmisolek hilisemaks õllekeldri või muu toitlustusasutuse planeerimiseks. Ülejäänud keldrikorrus jaguneb kauplejate panikaikade ning tehniliste ruumide vahel.

Pääs keldrikorraslele toimub lihahalli lõunanurgast trepikoja kaudu või idanurgast lifti abil, läbi kahe kalahallis paikneva trepikoja või otse tänavalt kaldtee või trepi kaudu.

## **2.5 Hoone restaureerimine**

Vastavalt ajaloolise hoone kohta koostatud muinsuskaitse eritingimustele säilitatakse olemasoleva hoone põhigabariidid ja põhikonstruktsioonid, katuse kuju ja säilinud algupärased konstruktsioonid. Säilitatakse akna- ja välisukseavade asetus ja suurus ning olemasolevad avatäited. Interjööris säilitatakse enamjaolt algupärane ruumiplaan. Keldrikorruse algupärased siseuksed on ette nähtud restaureerida ja paigaldada algsesse või projekteerija poolt valitud sobivasse asukohta. Muinsuskaitse eritingimustes määratud trepid koos piiretega restaureeritakse. Säilitatakse algupärased põrandaplaadid liha- ja müügihalli vahelises käigus. Keldrikorru sel säilitatakse ja eksponeeritakse ajaloolised lihariputuskonksud ühes ruumis.

Hoone peafassaadil restaureeritakse kaks purskkaevu ja paigaldatakse vanade fotode eeskujul valmistatud kell ajaloolisele kohale keskmise kõrge akna ruudustikku.

Restaureerimistööde käigus tehtavad kultuuriväärtuslikud avastused tuleb täiendavalt inventariseerida. Hoone restaureerimistöid teostades tuleb kasutada traditsioonilisi, hoone ehitamise ajal kasutuses olnud materjale.

Restaureerimistöödega saavutata tav tulemus peab pakkuma nii autentset visuaalset ja ajaloolast informatsiooni kui andma võimaluse turuhoone tänapäevaseks toimimiseks.

## **2.6 Konstruktsioonid**

### **2.6.1 Vundament**

Kõik hoone olemasolevad vundamendid säilitatakse. Kalahalli idapoolse kaldtee ümberehitamise käigus rajatakse vaivundamendil tugi olemasolevale kaldtee välisseinale.

### **2.6.2 Põrand pinnasel**

Olemasolev kalahalli põrand demonteeritakse ning rajatakse uus pinnasele toetuv betoonpõrand. Tihendatud pinnasele rajatakse tihendatud killustikalus umbes 100 mm, mille peale paigaldatakse soojustusplaadid EPS 50+100 mm. Soojustuse peale pannakse ehituskile, armatuurvõrk, põrandaküttetorud ja valatakse betoon. Kalahalli põrand viimistletakse keramiliste plaatidega.

Keldrikorrusel eemaldatud raudbetoonpõrandalt hilisemad täiendavad kihid ja valatakse uus raudbetoonkiht koos ärvooluks vajalike kalletega. Keldrikorrusel paiknevas töötajate puhkeruumis paigaldatud algsele põrandale põrandaküte – algsele raudbetoonpõrandale paigaldatud soojustus 100 mm, armatuurvõrk, põrandaküttetorud ja valatakse betoon.

### **2.6.3 Trepid**

Hoones on neli treppi, mis ühendavad keldrikorrust kala- ja põhihalliga. Põhihalli idapoolne trepp lammutatakse. Kalahalli Vabaduse puiestee poolne trepp restaureeritakse. Kalahalli idapoolse kaldtee asemele ehitatakse osaliselt uus teraskonstruktsioonist trepp raudbetoonist astmetega.

### **2.6.4 Vahelaed**

Restaureeritaval turuhoonel on üks vahelagi VL-1, mis on valatud raudbetoonist. Põhihalli põrandaküte paigaldamiseks eemaldatud vahelaelt olemasolevad viimistluskihid ning paigaldatud soojustus 100 mm, armatuurvõrk ja põrandaküttetorud ning valatakse täiendav raudbetooni kiht. Põrand viimistletakse keraamiliste plaatidega maksimaalse vuugi laiusega 2 mm.

Restaureerimistööde käigus taastatakse raudbetoon vahelagi praeguse müügihalli lifti kohal ja valatakse uus raudbetoon vahelagi müügihalli idapoolse trepikoja asemele.

Uus vahelagi, VL-2 ehitatakse põhihalli pööningule projekteeritud uuele ventilatsioonikambrile. Põhihallis säilitatakse olemasolev laelaud. Põranda kandetaladena kasutatakse IPE 200 terasprofiile, mille vahele kinnitatakse risti puittalad ristilõikega 100x200 mm ja sammuga 600 mm. Talade vahele paigaldatud soojustuseks mineraalvill 200 mm. Puittaladele kinnitatakse OSB plaat 22 mm. Põrandakatteks paigaldatud PVC kate.

### **2.6.5 Katus, katuslagi**

Hoonel olemasolevaks katusekatteks on valtsplekk.

Uuele ventilatsioonikambrile projekteeritakse soojustatud katuslagi KL-1. Olemasolev valtsplekk eemaldatud katuselt projekteeritava ventilatsioonikamibri kohalt. Olemasolevate katusesarikate alla kinnitatakse puittalad ristilõikega 50x200 mm sammuga 600 mm, mille vahele paigaldatud soojustusena mineraalvill 200 mm. Mineraalvillast ruumi sisse-

poole paigaldatakse aurutõke ja metallkarkassil kipslagi. Olemasolevate katusesarikate külgedele kinnitatakse puitliistude abil tuuletökkeplaat Isover VKL 13 mm ja mineraalvill 50 mm. Sarikatele kinnitatakse aluskate, pleki aluslaudis ning uus peale uus, olemasoleva katuseplekiga samasugune valtsitud katuseplekk.

#### **2.6.6 Välisseinad**

Hoone välisseinad säilitatakse olemasoleval kujul.

#### **2.6.7 Siseseinad**

Hoone algsed siseseinad on laotud savitellistest, olemasolevad hilisemad siseseinad silikaattellistest.

Uued mittekandvad siseseinad SS-1 laotakse kergplokkidest FIBO 150 mm ja krohvitakse ning viimistletakse kas värvi või keraamiliste plaatidega. Uued mittekandvad siseseinad SS-2, SS-3 ja SS-4 on metallkarkassil kipsseinad paksustega vastavalt 125 mm, 140 mm ja 152 mm. Kõikide metallkarkassil kipsseinte viimistletakse värviga.

#### **2.6.8 Avatäited**

Säilitatakse olemasolevad aknad ja välisuksed. Restaureeritakse muinsuskaitse eritingimus-tes määratud algupärased ja kultuuriväärtuslikud siseuksed. Uued ja asendatavad siseuksed valmistatakse vastavalt avadele kultuuriväärtuslike uste eeskujul.

Uute uksetüüpide valikul on lähtutud nii esteetilisusest, ruumi nõuetest (tulepüsivus, helipidavus) kui ka ukse vastupidavusest antud ekspluatatsioonitingimustes. Vastavalt ruumi kasutusotstarbele kasutatakse kas puitkonstruktsioonis uksi, metalluki või kombineeritud materjaliga uksi.

#### **2.6.9 Liftid, tõstukid**

Põhihalli idanurka on projekteeritud lift töötajate keldri ning peakorruse vahel. Põhihalli keskel on kolmele müügisaarele neljast projekteeritud kaubaliftid kauba transportimiseks keldrisse projekteeritud jahekambritest.

Kaubamaks transpordiks keldris paiknevatesse laoruumidesse asendatakse idapoolne kaldtee kaubatõstukiga.

### **2.6.10 Hoone tehnilised andmed**

- Otstarve: 12317 oksjoni-, turu- või näitusehall
- Gabariitmõõtmned:
  - Pikkus 47,4 m
  - Laius 44,8 m
  - Kõrgus 15,6 m
- Tuleohutusklass: TP-2
- Korruselisus: 2 (keldrikorras + põhikorras)
- Hoonealune pindala: 1928 m<sup>2</sup>
- Suletud netopind: 3424,7 m<sup>2</sup>
- Köetav pind: 3230,5 m<sup>2</sup>
- Hoone maht : 22298 m<sup>3</sup>
- Hoone kasutusiga: käesoleva tööga ei määratleta, kuna tegemist on unikaalse muinsuskaitsealuse hoonega.

### **2.7 Küte ja ventilatsioon**

Hoone küte ja ventilatsioon lahendatakse eraldi projektiga. Müügihallidesse paigaldatakse põrandaküte ja põhiahalli ventilatsiooni kaasajastamiseks projekteeritakse uus, olemasolevate katusefermidele toetuv ventilatsionikamber.

### **2.8 Veevarustus ja kanalisatsioon**

Veevarustuse ja kanalisatsiooni osa lahendatakse eraldi projektiga.

## **2.9 Tuleohhtus**

### **2.9.1 Tuleohutusklass, kasutusviis ja kasutusotstarve**

- Hoone tuleohutusklass TP-2
- Hoone kasutusviis IV – kogunemisruumid
- Hoone kasutusotstarve – turuhoone

### **2.9.2 Tuleohutuskjad**

Normidega ettenähtud tuletõrjekujad naaberkinnistute hooneteni on tagatud.

### **2.9.3 Kande- ja tuletõkkekonstruktsioonide tulepüsivusajad**

Kandekonstruktsioonide tulepüsivused – R30

Välisseinte tuletundlikkus – B-s1,d0

Siseseinte ja lagede tuletundlikus – B-s1,d0

Põrandate tuletundlikus – DFL-s1

Keldri tuletundlikkus – keldri siseseinad, laed B-s1,d0; keldri põrandad DFL-s1

Tehniliste ruumide (ventilatsiooniruum) tuletundlikkus – seinad, laed B-s1,d0 põrand DFL-s1

Põlemiskoorimus 600-1200 MJ/m<sup>2</sup>

### **2.9.4 Tuletõkkeseksioonid, tulepüsivus**

Tule ja suitsu levimise takistamiseks, päastetööde kergendamiseks ning varakahjude piiramiseks moodustatakse tuletõkkeseksioonid ruumide otstarbe ja korruste kaupa.

Tuletõkkeseksioonid on korrused, evakuatsioonitrepikojad, ventilatsiooniruumid, tehniliised ruumid, saun, liftisahtid.

Hoone on ühekorruseline, lisaks on kasutuses kelder, kommunikatsioonide šahtid.

TP-2 klassi IV kasutusviisiga hoonetes moodustatav tuletõkkeseksiooni piirpindala on 1600 m<sup>2</sup>.

Tuletõkkeseksioonide tulepüsivus:

- Kelder EI-60
- I korrus EI-30
- Ventilatsiooniruumid EI-30
- Evakuatsioonitrepikojad EI-30
- Elektrikilbi ruum EI-60
- Keldrikorruse suitsuärastuse generaatoriruum EI-60
- Saun keldrikorrasel EI-60

Tuletõkketarindites paiknevate uste ja luukide tulepüsivusaeg peab olema pool piirdele esitatud nõudest.

Kõik läbiviigud tuletõkketarinditest teostatakse selliselt, et oleks tagatud tuletõkestus EI-60.

Tuletõkkesektsiooni piirid on näidatud korruste plaanidel ja lõigetel.

#### **2.9.5 Suitsutsoonid**

Suitsutsoonid moodustuvad hoones korruste kaupa. Suitsu eemaldamine hoone maapealsest osast on korraldatud loomuliku tömbega juhitavalt, avatavate uste ja akende kaudu. Keldrikorruse tuletõkkesektsioonide suitsuärastuseks paigaldatakse vastavad ventilatsioonisüsteemid, mis lahendatakse eraldi ventilatsiooni projektis.

#### **2.9.6 Tuletundlikkus**

- Siseseinad – B-s1,d0
- Laed – B-s1,d0
- Põrandad – DFL-s1
- Välisseinad – B-s1,d0
- Katusekatte tähis – BROOF
- Evakuatsioonitrepikojad – seinad, laed B-s1,D0, põrand DFL-s1
- Tehnilised ruumid – seinad, laed B-s1,d0, põrand DFL-s1
- Saun D-s2,d2

## **2.9.7 Evakuatsioonilahendus**

### **Evakuatsiooniteed**

Turuhoone ruumidest evakueerumine toimub välisuste kaudu läbi evakuatsioonitrepikodade ja läbi välisuste õue. Evakuatsioonitee on lühem kui 45 m, evakuatsioonipääsude minimaalsed gabariigid on lubatud piirides – põhiväljapääs min 1200 x 2100 mm, varuväljapääs 900 x 2100 mm.

### **Juurdepääs keldrisse, pööningule ja katusele**

Keldrisse pääseb lihahallist ühe evakuatsioonitrepikoja ja ühe lifti kaudu, kalahallist kahe trepikoja kaudu ja otse tänavalt hoone kagufassaadil kahel pool kalahalli paiknevate pääsude kaudu.

Turuhoone põhihalli pööningule pääseb põhihalli idanurgast redeli ja luugi kaudu. Kalahalli kahele pööningule pääseb kalahalli ja keldrikorruse vahelistest trepikodadest pööninguluukide kaudu.

Põhihalli katusele pääseb põhihalli pööningult luugi kaudu ja kalahalli katusele pääseb tänavalt redeli abil.

### **Ohutusabinõud**

Vastavalt nõuetele varustatakse hoone turva- ja evakuatsioonivalgustusega.

### **Tuleohutuspaigaldised**

Hoonesse paigaldatakse automaatne tulekahjusignalisatsioonisüsteem (ATS).

Evakuatsiooniteedel ja –väljapääsudel tagatakse nõuetekohane turvalgustus ning väljapääsude märgistus akutoitel min 60 minutit.

Esmased tulekustutusvahendid paigaldatakse hoonesse koridoridesse.

### **Muud tuleohutusabinõud ehitises**

Evakuatsiooniteedele paigaldatakse evakuatsioonivalgusti märgid ja hoone varustatakse evakuatsiooniplaanidega.

### **Päästemeeskonna juurdepääs ehitisele**

Tõketeta juurdepääs hoonele on tagatud kõigist külgedest – Vabaduse puiesteelt tänavalt sissesõiduga läbi parkla.

### **Väliline tulekustutusvesi**

Vajalik väliskustutusvee normvooluhulk  $Q_o=25$  l/s. Tulekustutusvesi tagatakse olemasolevast hüdrandist Vabaduse puiesteel.

### **3 TUGEVUSARVUTUSED**

#### **3.1 Üldosa**

Käesolevas magistritöös kontrollitakse turuhoone ühe olemasoleva katusefermi kandevõimmet hoone põhihalli pööningule projekteeritavast ventilatsioonikambrist tulenevatele lisakoormustele. Kõigepealt leitakse koormused fermile ja seejärel teostatakse tugevuskontroll kande- ja kasutuspiirseisundis. Tugevuskontrollis käsitletakse fermi varraste sisejõude, võrguvarraste ja vöö liiteid ja kontrollitakse fermi alumise vöö tõmbejätku kandevõimet. Kontrollitav katuseferm F-1 paikneb hoone teljel 4 (vt Lisa 3 joonis lehel 5).

##### **3.1.1 Kasutatud projektid, abimaterjalid, normdokumendid ja arvutiprogrammid**

###### **Projektid**

- AS TARI projekt „Tartu turuhoone lihahalli katus“ töö number TR-030-00, mai 2000 [13]

###### **Standardid**

- EVS-EN 1990:2002+NA:2002 „Eurokoodeks. Ehituskonstruksioonide projekteerimise alused“ [24]
- EVS-EN-1-1:2002+NA:2002 „Eurokoodeks 1: Ehituskonstruksioonide koormused. Osa 1-1:Üldkoormused. Mahukaalud, omakaalud, hoonete kasuskoormused“ [25]
- EVS-EN 1991-1-3:2006 „Eurokoodeks 1: Ehituskonstruksioonide koormused. Osa 1-3: Üldkoormused. Lumekoormus“ [26]
- EVS-EN 1991-1-4:2007 „Eurokoodeks 1: Ehituskonstruksioonide koormused. Osa 1-4: Üldkoormused. Tuulekoormus“ [27]
- EVS-NE 1993-1-1:2005+A1:2014+NA:2015 „Eurokoodeks 3: Teraskonstruktsioonide projekteerimine. Osa 1-1: Üldreeglid ja reeglid hoonete projekteerimiseks“ [28]
- EVS-EN 1993-1-8:2006 „Eurokoodeks 3: Teraskonstruktsioonide projekteerimine. Osa 1-8: Liidete projekteerimine“ [29]

###### **Abimaterjalid**

- Masso, T. Ehituskonstruktori käsiraamat. Tallinn : Ehitame, 2014. [23]

## Arvutiprogrammid

- Autodesk AutoCAD 2018
- Autodesk Robot Structural Analysis Professional 2017 (ARSAP2017)
- Microsoft Excel 2016
- Microsoft Word 2016
- SMath Studio

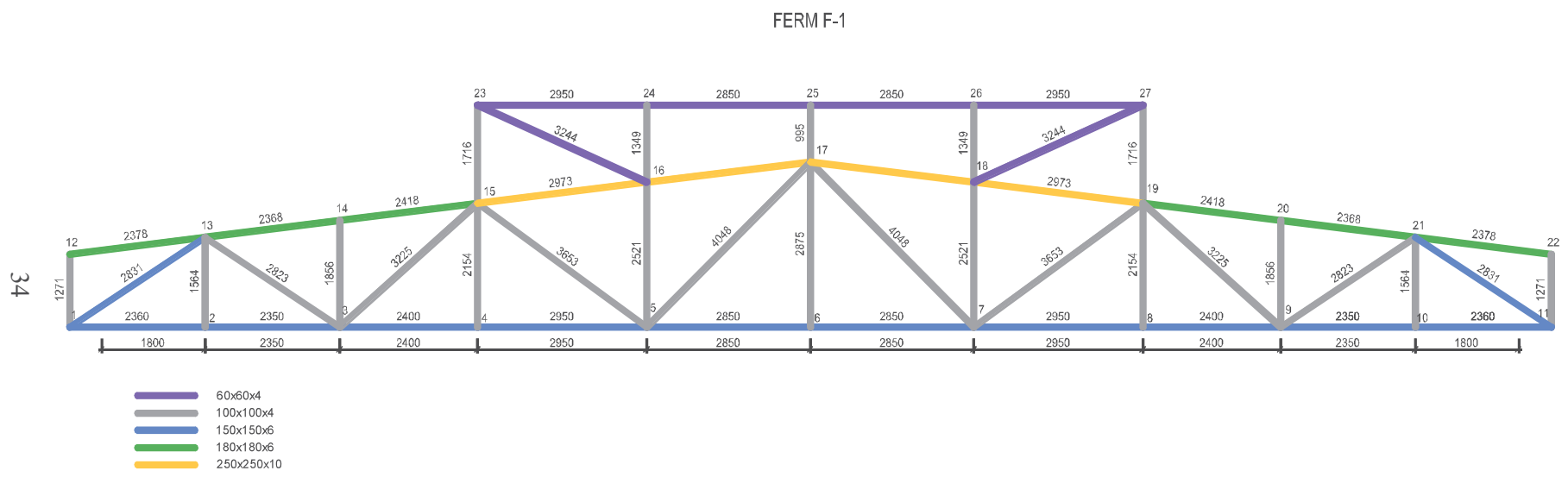
### 3.1.2 Kontrollitav katusekonstruktsioon

Turuhoone põhihalli kõrgema katuseosa kandjaks on 2000. aastal AS Tari poolt projekteeritud teraskonstruktsioonid. Uue ventilatsioonikambri projekteerimisel lisanduvad täiendavad koormused kolmele AS Tari projektis ja ka käesolevas magistritöös fermiks F-1 nimestatud katusefermile. Fermi F-1 koosneb 52 vardast. Vardad ja kinnituselemendid on valmistatud terasest norm-voolavuspiiriga  $f_y = 355 \text{ N/mm}^2$  ja norm-tõmbetugevusega  $f_u = 510 \text{ N / mm}^2$ . Fermi moodustavate varraste arvutusteks vajalikud karakteristikud on toodud järgnevas tabelis 3.1. ja fermi arvutusskeemi kuju ja sõlmpunktide nummerdus on esitatud graafiliselt joonisel 3.1.

Fermi F-1 alumises vöös on kaks sümmeetrilise asetusega tõmbejätku (varrastes numbritega 3 ja 8).

**Tabel 3.1.** Fermi F-1 varraste karakteristikud

Nimetus	Ristlõikeparameetrid					Voolavuspiir $f_y$	Arv
	Mõõtmned			Brutopindala	Inertsiraadius		
	b	h	t	A	i		
	mm	mm	mm	cm <sup>2</sup>	cm		
Kanttoru	250	250	10	92,57	9,7	355	4
Kanttoru	180	180	6	40,83	7,06		6
Kanttoru	150	150	6	33,63	5,84		12
Kanttoru	100	100	4	14,95	3,89		24
Kanttoru	60	60	4	8,55	2,26		6
						Kokku	52



Joonis 3.1. Ferm F-1 arvutusskeem, varraste ristlõikid ja sõlmede nummerdus

### 3.2 Koormused

Koormused liigitatakse ajalise kestuse alusel järgmiselt:

- alalised ehk püsikoormused (G), (mille käesolevas töös moodustavad konstruktioonide omakaal ja püsiv tehnoloogiline sisseseade);
- muutuvkoormused (Q), (mille käesolevas töös moodustavad tuule- ja lumekoormused). [23]

Arvutuses kasutatakse arvutusväärtsusi, mis saadakse normväärtsuse korrutamisel osavarutegiga. Osavarutegur võtab arvesse koormuse võimalikku hälvet normväärtsusest ebasoodasmas suunas. Koormuste rakendamiseks arvutustes kasutatakse koormuskombinatsioone vastavalt valitud piirulukordadele ja koormusuhtudele. Koormuskombinatsioonis korrutatakse muutuvkoormuse arvutusväärtsus kombinatsioniteguriga, et arvestada samaaegselt mõjuvate muutuvkoormuste kõige ebasoodsamate väärustete samaaegse mõjumise tõenäosust. [23]

Üldvalemid koormuskombinatsioonide ja arvutusväärtsuste kohta on saadud Ehituskonstruktori käsiraamatust [23].

Kandepiirseisundi alaliste või ajutiste arvutusolukordade koormuskombinatsioon

$$\sum_{j \geq 1} \gamma_{G,j} \cdot G_{k,j} + \gamma_P \cdot P + \gamma_{Q,1} \cdot Q_{k,1} + \sum_{i > 1} \gamma_{Q,i} \cdot \psi_{0,i} \cdot Q_{k,i}, \quad (1)$$

kus	$\gamma$	– koormuse osavarutegur vastavalt indeksile,
	$G$	– alaliskoormus,
	$P$	– eelpingekoormus,
	$Q_{k,1}$	– domineeriv muutuvkoormus,
	$Q_{k,i}$	– muu muutuvkoormus,
	$\psi$	– koormuse kombinatsionitegur.

Kasutuspiirseisundi normatiivne koormuskombinatsioon

$$\sum_{j \geq 1} G_{k,j} + P + Q_{k,1} + \sum_{i \geq 1} \psi_{0,i} \cdot Q_{k,i}, \quad (2)$$

kus	$G$	– alaliskoormus,
	$P$	– eelpingekoormus,

- $Q_{k,1}$  – domineeriv muutuvkoormus,  
 $Q_{k,i}$  – muu muutuvkoormus,  
 $\psi$  – koormuse kombinatsioonitegur.

Koormuste osavarutegurid standardi EVS-NE 1990:2002+NA:2002 tabelist NA.1.2(B) [2]:

- ainult alaliskoormuse ebasoodne mõju  $\gamma_{g,sup} = 1,35$ ,
- alaliskoormuse ebasoodne mõju  $\gamma_{g,sup} = 1,20$ ,
- alaliskoormuse soodne mõju  $\gamma_{g,inf} = 1,00$ ,
- muutuvkoormuse ebasoodne mõju  $\gamma_{q,sup} = 1,50$ ,
- muutuvkoormuse soodne mõju  $\gamma_{q,inf} = 0,00$ .

Koormuste kombinatsioonitegurid standardi EVS-NE 1990:2002+NA:2002 tabelist NA.1.1 [24] on toodud järgnevas tabelis 1.2:

**Tabel 3.2.** Kombinatsoonitegurid

Koormuse liik	$\psi_0$	$\psi_1$	$\psi_2$
Lumekoormus	0,5	0,2	0
Tuulekoormus	0,6	0,2	0

Konstruktsiooni sisejõud leitakse arvutusskeemi sisestamisel arvutiprogrammi ARSAP 2015.

### 3.2.1 Omakaalukoormused

Antud töös moodustavad püsikoormused konstruktsioonide omakaalud ja projekteeritavasse ventilatsioonikambris paigaldatava seadme omakaal. Omakaalude leidmisel on arvestatud olemasoleva katuse, laeviimistluse ja projekteeritava ventilatsioonikambri uue katuslae, siseseinte ja põranda projektmõõtmeid ja mahukaalusid.

AS Tari poolt 2000. aastal projekteeritud katusefermid on disainitud vastu võtma koormusi punktkoormustena fermi sõlmpunktidesse, mistõttu leitakse ka käesolevas töös kõik koormused punktkoormustena. Eraldi ei ole välja toodud terasfermide omakaalu, kuna programm ARSAP 2017 arvestab sisejõudude leidmisel elementide omakaalu automaatselt ise.

Konstruktsioonide omakaalud on leitud vastavalt standardile EVS-EN 1991-1-1:2002+NA:2002 „Eurokoodeks 1: Ehituskonstruktsioonide koormused. Osa 1-1: Üldkoormused. Mahukaalud, omakaalid, hoonete kasuskoormused“ [25]. Materjalide mahukaalud on võetud Ehituskonstruktori käsiraamatust [23]. Olemasolevate tarindite lõigete kirjeldused pärsinevad AS Tari katuseprojektist [13]. Materjalide mahukaalud ja konstruktsioonide omakaalud on toodud järgnevates tabelites numbritega 3.3. kuni 3.9.

**Tabel 3.3.** Ventilatsioonikambri seina S-2 materjalid ja omakaalukoormused

Materjalikiht	Paksus	Laius	Samm	Mahukaal	Normkoormus
	h	b	s	$\gamma$	$g_k$
	m	m	m	kN/m <sup>3</sup>	kN/m <sup>2</sup>
Metallkarkassvahesein KNAUF W112	-	-	-	-	0,450
	Kokku				0,450

**Tabel 3.4.** Katuse K-1 materjalid ja omakaalukoormused

Materjalikiht	Paksus	Laius	Samm	Mahukaal	Normkoormus
	h	b	s	$\gamma$	$g_k$
	m	m	m	kN/m <sup>3</sup>	kN/m <sup>2</sup>
Valtsplekk	-	-	-	-	0,075
Aluslaudis	0,025	0,100	0,200	5,00	0,063
Sarikad	0,050	0,150	0,800	5,00	0,047
	Kokku				0,184

**Tabel 3.5.** Müügihalli lae L-1 materjalid ja omakaalukoormused

Materjalikiht	Paksus	Laius	Samm	Mahukaal	Normkoormus
	h	b	s	$\gamma$	$g_k$
	m	m	m	kN/m <sup>3</sup>	kN/m <sup>2</sup>
Tuuletökkeplaat	0,030	-	-	1,18	0,035
Soojustus	0,100	-	-	0,50	0,050
Roov	0,100	0,050	0,600	5,00	0,042
Roovide vahel soojustus	0,100	-	-	0,50	0,050
Kattelaudis	0,020	-	-	5,00	0,100
	Kokku				0,277

**Tabel 3.6.** Valgmiku seina S-1 materjalid ja omakaalukoormused

Materjalikiht	Paksus	Laius	Samm	Mahukaal	Normkoormus
	h	b	s	$\gamma$	$g_k$
	m	m	m	kN/m <sup>3</sup>	kN/m <sup>2</sup>
Kattelaudis	0,020	-	-	5,00	0,100

Materjalikiht	Paksus	Laius	Samm	Mahukaal	Normkoormus
	h	b	s	$\gamma$	$g_k$
	m	m	m	$\text{kN/m}^3$	$\text{kN/m}^2$
Vertikaalroovitis	0,050	0,050	0,600	5,00	0,021
Soojustus	0,050	-	-	0,50	0,025
Horisontaal- ja kaldkarkass	0,150	0,050	0,600	5,00	0,063
Soojustus	0,150	-	-	0,50	0,075
Tuuletökkeplaat	0,030	-	-	1,18	0,035
				Kokku	0,319

**Tabel 3.7.** Projekteeritava ventilatsioonikambri katuslae KL-1 materjalid ja omakaalukoormused

Materjalikiht	Paksus	Laius	Samm	Mahukaal	Normkoormus
	h	b	s	$\gamma$	$g_k$
	m	m	m	$\text{kN/m}^3$	$\text{kN/m}^2$
Valtsplekk	-	-	-	-	0,075
Aluslaudis	0,025	0,100	0,200	5,00	0,063
Sarikad	0,050	0,150	0,800	5,00	0,047
2 x puitliist iga sarika küljes	0,020	0,030	0,800	5,00	0,008
Tuuletökkeplaat VKL 13mm	0,013	-	-	1,18	0,015
Soojustus	0,050	-	-	0,50	0,025
Puittalad	0,050	0,200	0,450	5,00	0,111
Soojustus	0,200	-	-	0,50	0,100
Kipskarkasslagi	-	-	-	-	0,280
				Kokku	0,723

**Tabel 3.8.** Ventilatsioonikambri põrand VL-1 materjalid ja omakaalukoormused

Materjalikiht	Paksus	Laius	Samm	Mahukaal	Normkoormus
	h	b	s	$\gamma$	$g_k$
	m	m	m	$\text{kN/m}^3$	$\text{kN/m}^2$
PVC põrandakate	0,002	-	-	18,00	0,036
OSB plaat	0,022	-	-	6,00	0,132
Puittalad	0,200	0,050	0,600	5,00	0,083
Soojustus	0,200	-	-	0,50	0,100
Puitlaudis	0,030	0,045	0,400	5,00	0,017
Laelaudis	0,020	-	-	5,00	0,100
				Kokku	0,468

**Tabel 3.9.** Muude fermile toetuvate puit- ja terasosade, seadmete ning kinnituselementide omakaalu- koormused

Nimetus	Ristlõige	Tähis	Normkoormus	Ühik
Toepruss	100x100	TP-1	0,050	$\text{kN/m}$

Nimetus	Ristlõige	Tähis	Normkoormus	Ühik
Toepruess	75x100	TP-2	0,038	kN/m
Servalaud	50x100	SL	0,025	kN/m
Toolvärk	-	TV-1	0,168	kN/m
Toolvärk	-	TV-2	0,104	kN/m
Katusetala	kanttoru 200x120x6	KT-1	1,510	kN
Katusetala	kanttoru 200x100x5	KT-6	1,180	kN
Katusetala	kanttoru 220x120x6	KT-11	1,677	kN
Katusetala	kanttoru 100x100x4	KT-14	0,839	kN
Laetala	z-roov Z250x3	LT-1	0,500	kN
Laetala	z-roov Z250x2	LT-2	0,334	kN
Vahelae tala	IPE200	IPE	0,228	kN/m
Terasest kinnituselement	-	FT-1	0,025	kN
Terasest kinnituselement	-	FT-1-1	0,024	kN
Terasest kinnituselement	-	FT-7	0,030	kN
Terasest kinnituselement	-	FT-8	0,048	kN
Terasest kinnituselement	-	FT-14	0,035	kN
Ventilatsiooniseadmed	-	VS	2,000	kN/m <sup>2</sup>

#### Normatiivsed koormused fermi F-1 sõlmedesse teljel 4

$$G_{k,1} = (g_{k,VL-1} \cdot 1,00 \text{ m} + g_{k,IPE}) \cdot 5,45 \text{ m} + g_{k,FT-14} = \\ = (0,468 \cdot 1,00 + 0,228) \cdot 5,45 + 0,035 = 3,78 \text{ kN}$$

$$G_{k,2} = (g_{k,VL-1} \cdot 2,40 \text{ m} + g_{k,S-2} \cdot 1,62 \text{ m} + g_{k,IPE}) \cdot 5,45 \text{ m} + g_{k,FT-14} + g_{k,VS} \cdot \\ \cdot 1,20 \text{ m} \cdot 5,45 \text{ m} = \\ = (0,468 \cdot 2,40 + 0,450 \cdot 1,62 + 0,228) \cdot 5,45 + 0,035 + 2,00 \cdot 1,2 \cdot \\ \cdot 5,45 = 24,35 \text{ kN}$$

$$G_{k,3} = (g_{k,VL-1} \cdot 2,40 \text{ m} + g_{k,IPE}) \cdot 5,45 \text{ m} + g_{k,FT-14} + g_{k,VS} \cdot 2,40 \text{ m} \cdot 5,45 \text{ m} = \\ = (0,468 \cdot 2,40 + 0,228) \cdot 5,45 + 0,035 + 2,00 \cdot 2,40 \cdot 5,45 = 33,45 \text{ kN}$$

$$G_{k,4} = (g_{k,VL-1} \cdot 1,00 \text{ m} + g_{k,S-1} \cdot 2,50 \text{ m} + g_{k,IPE}) \cdot 5,45 \text{ m} + g_{k,FT-14} + g_{k,VS} \cdot \\ \cdot 1,30 \text{ m} \cdot 5,45 \text{ m} = \\ = (0,468 \cdot 1,00 + 0,319 \cdot 2,50 + 0,228) \cdot 5,45 + 0,035 + 2,00 \cdot 1,30 \cdot \\ \cdot 5,45 = 22,80 \text{ kN}$$

$$G_{k,8} = (g_{k,S-1} \cdot 2,50 \text{ m} + g_{k,L-1} \cdot 1,20 \text{ m}) \cdot 5,45 \text{ m} + g_{k,LT-2} + g_{k,FT-14} = \\ = (0,319 \cdot 2,50 + 0,277 \cdot 1,20) \cdot 5,45 + 0,334 + 0,035 = 6,52 \text{ kN}$$

$$G_{k,9} = g_{k,L-1} \cdot 2,40 \text{ m} \cdot 5,45 \text{ m} + g_{k,LT-1} + g_{k,FT-14} = \\ = 0,277 \cdot 2,40 \cdot 5,45 + 0,500 + 0,035 = 4,16 \text{ kN}$$

$$G_{k,10} = g_{k,L-1} \cdot 2,10 \text{ m} \cdot 5,45 \text{ m} + g_{k,LT-1} + g_{k,FT-14} = \\ = 0,277 \cdot 2,10 \cdot 5,45 + 0,500 + 0,035 = 3,71 \text{ kN}$$

$$G_{k,11} = g_{k,L-1} \cdot 1,00 \text{ m} \cdot 5,45 \text{ m} + g_{k,LT-1} + g_{k,FT-14} = \\ = 0,277 \cdot 1,00 \cdot 5,45 + 0,500 + 0,035 = 1,88 \text{ kN}$$

$$G_{k,12} = (g_{k,KL-1} \cdot 1,40 \text{ m} + g_{k,SL}) \cdot 5,45 \text{ m} = (0,723 \cdot 1,40 + 0,025) \cdot 5,45 = 5,68 \text{ kN}$$

$$G_{k,13} = (g_{k,KL-1} \cdot 2,40 \text{ m} + g_{k,TP-2}) \cdot 5,45 \text{ m} + g_{k,KT-6} + g_{k,FT-1-1} = \\ = (0,723 \cdot 2,40 + 0,038) \cdot 5,45 + 1,180 + 0,024 = 10,91 \text{ kN}$$

$$G_{k,14} = (g_{k,KL-1} \cdot 2,40 \text{ m} + g_{k,TP-2}) \cdot 5,45 \text{ m} + g_{k,KT-1} + g_{k,FT-1} = \\ = (0,723 \cdot 2,40 + 0,038) \cdot 5,45 + 1,510 + 0,025 = 11,24 \text{ kN}$$

$$G_{k,15} = (g_{k,KL-1} \cdot 1,20 \text{ m} + g_{k,TP-1} + g_{k,S-1} \cdot 1,80 \text{ m}) \cdot 5,45 \text{ m} + g_{k,KT-14} = \\ = (0,723 \cdot 1,20 + 0,050 + 0,319 \cdot 1,80) \cdot 5,45 + 0,839 = 8,99 \text{ kN}$$

$$G_{k,19} = (g_{k,S-1} \cdot 1,80 \text{ m} + g_{k,K-1} \cdot 1,20 \text{ m} + g_{k,TP-1}) \cdot 5,45 \text{ m} + g_{k,KT-14} = \\ = (0,319 \cdot 1,80 + 0,184 \cdot 1,20 + 0,050) \cdot 5,45 + 0,839 = 5,44 \text{ kN}$$

$$G_{k,20} = (g_{k,K-1} \cdot 2,40 \text{ m} + g_{k,TP-2}) \cdot 5,45 \text{ m} + g_{k,KT-1} + g_{k,FT-1} = \\ = (0,184 \cdot 2,40 + 0,038) \cdot 5,45 + 1,510 + 0,025 = 4,15 \text{ kN}$$

$$G_{k,21} = (g_{k,K-1} \cdot 2,40 \text{ m} + g_{k,TP-2}) \cdot 5,45 \text{ m} + g_{k,KT-6} + g_{k,FT-1-1} = \\ = (0,184 \cdot 2,40 + 0,038) \cdot 5,45 + 1,180 + 0,024 = 3,82 \text{ kN}$$

$$G_{k,22} = (g_{k,K-1} \cdot 1,40 \text{ m} + g_{k,SL}) \cdot 5,45 \text{ m} = (0,184 \cdot 1,40 + 0,025) \cdot 5,45 = 1,54 \text{ kN}$$

$$G_{k,23} = (g_{k,K-1} \cdot 1,95 \text{ m} + g_{k,TP-1} + g_{k,L-1} \cdot 1,50 \text{ m}) \cdot 5,45 \text{ m} + g_{k,KT-14} + g_{k,FT-7} = \\ = (0,184 \cdot 1,95 + 0,050 + 0,277 \cdot 1,50) \cdot 5,45 + 0,839 + 0,030 = \\ = 5,37 \text{ kN}$$

$$G_{k,24} = (g_{k,K-1} \cdot 2,95 \text{ m} + g_{k,TV-2} + g_{k,L-1} \cdot 2,95 \text{ m}) \cdot 5,45 \text{ m} + g_{k,KT-1} + g_{k,FT-8} = \\ = (0,184 \cdot 2,95 + 0,104 + 0,277 \cdot 2,95) \cdot 5,45 + 1,510 + 0,048 = \\ = 9,67 \text{ kN}$$

$$G_{k,25} = (g_{k,K-1} \cdot 2,85 \text{ m} + g_{k,TV-1} + g_{k,L-1} \cdot 2,85 \text{ m}) \cdot 5,45 \text{ m} + g_{k,KT-11} + g_{k,FT-8} = \\ = (0,184 \cdot 2,85 + 0,168 + 0,277 \cdot 2,85) \cdot 5,45 + 1,677 + 0,048 = \\ = 9,80 \text{ kN}$$

$$G_{k,26} = G_{k,24} = 9,67 \text{ kN}$$

$$G_{k,27} = G_{k,23} = 5,37 \text{ kN}$$

### 3.2.2 Lumekoormus

Lumekoormus on muutuvkoormus. Lumekoormuse arvutused on teostatud vastavalt standardile EVS-EN 1991-1-3:2006+NA:2006 "Eurokoodeks 1: Ehituskonstruktsioonide kormused. Osa 1-3: Üldkoormused. Lumekoormus".[26]

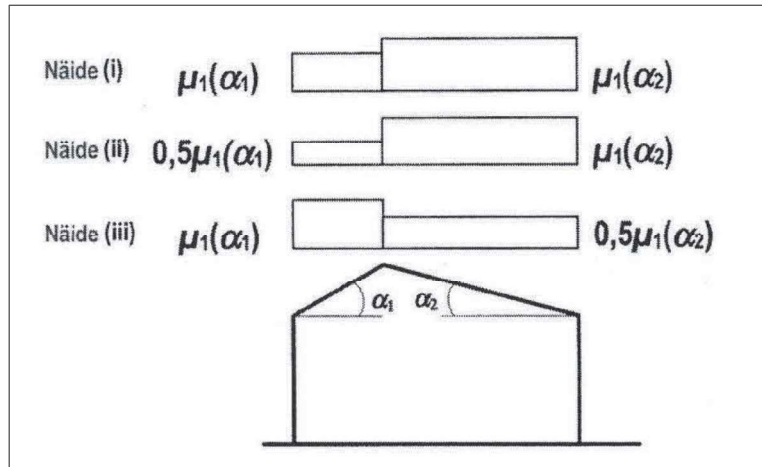
Turuhoone põhihalli terasfermidest katusel on kaks tasapinda. Ülemine, valgmiku katus, mis moodustab sümmeetrilise kahekaldelise katuse ja seda ümbritsev madalam katuseosa, mis moodustab ühekaldelise katuse. Lumel on võimalik kuhjuda madalamale katuseastmele.

Katuse lumekoormuse normsuurus  $s$  ( $\text{kN}/\text{m}^2$ ) leitakse valemiga

$$s = \mu_i \cdot C_e \cdot C_1 \cdot s_k, \quad (3)$$

kus  $s$  – katuse lumekoormuse normsuurus  $\text{kN}/\text{m}^2$ ,  
 $\mu_i$  – lumekoormuse kujutegur,  
 $s_k$  – lumekoormuse normsuurus maapinnal  $\text{kN}/\text{m}^2$ ,  
 $C_e$  – avatustegur, Eesti tingimustes  $C_e=1,0$ ,  
 $C_t$  – soojustegur, mille soovituslik väärthus on soojust tugevasti mitteedastavate katuste puhul 1,0.

Kahekaldelise katuse koormusvariandid ja kujutegurid standardi EVS-EN 1991-1-3:2006+NA:2006 joonise 5.3 järgi (käesoleva töö joonis 3.2.).



**Joonis 3.2.** Viilkatuse lumekoormuse kujutegurid (EVS-EN 1991-1-3:2006+NA:2006 joonis 5.3)

Astmetega katuste või kõrgemate ehitistega katuste lumekoormuse kujutegurid  $\mu_1$  ja  $\mu_2$  saadakse järgnevate valemite abil:

$$\mu_1 = 0,8, \quad (4)$$

$$\mu_2 = \mu_s + \mu_w, \quad (5)$$

kus  $\mu_s$  – ülemiselt katuselt lume alla libisemisest tekkiva hange kujutegur, kui  $\alpha \leq 15^\circ$  siis  $\mu_s = 0$ ;

$\mu_w$  – tuulest kantud lumehange kujutegur, mis leitakse valemiga

$$\mu_w = \frac{(b_1+b_2)}{2h} \leq \frac{\gamma \cdot h}{s_k}, \quad (6)$$

kus  $\gamma$  – lume puistemahukaal  $\gamma = 2 \text{ kN/m}^3$ .

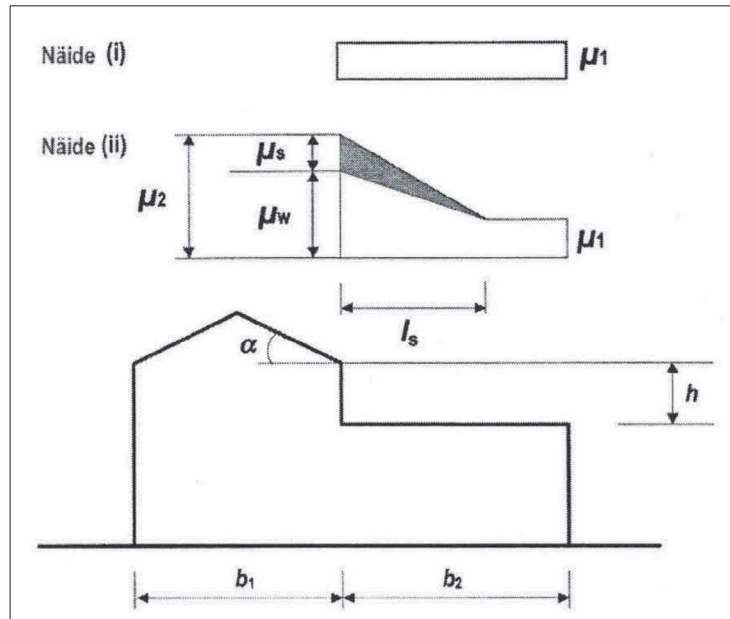
Hange pikkus  $l_s$  (m) arvutatakse valemiga

$$l_s = 2h, \quad (7)$$

kus  $h$  – katuseastme kõrgus m.

Vastavalt standardi EVS-NE 1991-1-3:2006+NA:2006 Eesti rahvuslikule lisale on kujuteguri  $\mu_w$  piirideks  $0,8 \leq \mu_w \leq 2,5$  ja hange pikkuse  $l_s$  vahemikuks  $2 \text{ m} \leq l_s \leq 6 \text{ m}$ .

Ühtlase ja kuhjunud lume koormusvariandid on esitatud standardis EVS-NE 1991-1-3:2006+NA:2006 joonisel 5.7, mis on toodud käesoleva töö joonisel 3.3.



Joonis 3.3. Lumekoormuse kujutegurid katuseastme juures (EVS-NE 1991-1-3:2006+NA:2006 joonisel 5.7)

Tartu linnas on vastavalt standardile EVS-NE 1991-1-3:2006+NA:2006 lumekoormuse normsuurus maapinnal  $s_k = 1,5 \text{ kN/m}^2$ .

Turuhoone katuse kaldenurk  $\alpha = 7^\circ$ . Vastavalt kriteeriumile  $0^\circ < \alpha < 30^\circ$  on turuhoone katuse lumekoormuse kujutegur  $\mu_1 = 0,8$ .

Normatiivne lumekoormus katusele ühtlase lume korral on vastavalt valemile 3

$$s_1 = \mu_1 \cdot C_e \cdot C_1 \cdot s_k = 0,8 \cdot 1,0 \cdot 1,0 \cdot 1,5 = 1,20 \text{ kN/m}^2$$

### Kõrgem katuseaste

Lumekoormusest tingitud punktkoormused fermi sõlmpunktidesse kõrgemal katuseosal

$$Q_{lumi,23} = s_1 \cdot 5,450 \text{ m} \cdot 1,725 \text{ m} = 1,20 \cdot 5,450 \cdot 1,725 = 11,28 \text{ kN}$$

$$Q_{lumi,24} = s_1 \cdot 5,450 \text{ m} \cdot 3,150 \text{ m} = 1,20 \cdot 5,450 \cdot 3,150 = 20,60 \text{ kN}$$

$$Q_{lumi,25} = s_1 \cdot 5,450 \text{ m} \cdot 2,850 \text{ m} = 1,20 \cdot 5,450 \cdot 2,850 = 18,64 \text{ kN}$$

$$Q_{lumi,26} = Q_{lumi,24} = 20,60 \text{ kN}$$

$$Q_{lumi,27} = Q_{lumi,23} = 11,28 \text{ kN}$$

### Madalam katuseaste

Kahe katuseastme vahel on  $h = 1,750 \text{ m}$ .

$$\alpha \leq 15^\circ \text{ järelikult } \mu_s = 0$$

Tuulest kantud hange kujuteguri leidmine valem 6 järgi

$$\frac{(b_1+b_2)}{2h} = \frac{(12,600+6,850)}{2 \cdot 1,750} = 5,56 > \frac{\gamma_h}{s_k} = \frac{2 \cdot 1,750}{1,5} = 2,33 \rightarrow \mu_w = 2,33$$

Madalama katuseastme lumekoormuse kujutegurid vastavalt valemitele 4 ja 5

$$\mu_1 = 0,8$$

$$\mu_2 = \mu_s + \mu_w = 0 + 2,33 = 2,33$$

Normatiivne lumekoormus katusele vastavalt valemile 3

- ühtlase lume korral  $s_1 = \mu_1 \cdot C_e \cdot C_1 \cdot s_k = 0,8 \cdot 1,0 \cdot 1,0 \cdot 1,5 = 1,20 \text{ kN/m}^2$
- kuhjunud lume korral  $s_2 = \mu_2 \cdot C_e \cdot C_1 \cdot s_k = 2,33 \cdot 1,0 \cdot 1,0 \cdot 1,5 = 3,50 \text{ kN/m}^2$

Hange pikkus vastavalt valemile 7

$$l_s = 2h = 2 \cdot 1,75 \text{ m} = 3,50 \text{ m}$$

Ühtlase lume koormusvariandil fermi sõlmpunktidesse madalamal katuseastmel kanduvad koormused

$$Q_{\text{lumi},15} = Q_{\text{lumi},19} = s_2 \cdot 5,450 \text{ m} \cdot 1,110 \text{ m} = 1,20 \cdot 5,450 \cdot 1,110 = 7,26 \text{ kN}$$

$$Q_{\text{lumi},14} = Q_{\text{lumi},20} = s_2 \cdot 5,450 \text{ m} \cdot 2,290 \text{ m} = 1,20 \cdot 5,450 \cdot 2,290 = 14,98 \text{ kN}$$

$$Q_{\text{lumi},13} = Q_{\text{lumi},21} = s_1 \cdot 5,450 \text{ m} \cdot 2,475 \text{ m} = 1,20 \cdot 5,450 \cdot 2,475 = 16,19 \text{ kN}$$

Lume kuhjumisest tingitud punktkoormused fermi sõlmpunktidesse katuse madalamal astmel

$$Q_{\text{lumi},15} = Q_{\text{lumi},19} = s_2 \cdot 5,450 \text{ m} \cdot 1,110 \text{ m} = 3,50 \cdot 5,450 \cdot 1,110 = 21,17 \text{ kN}$$

$$Q_{\text{lumi},14} = Q_{\text{lumi},20} = s_2 \cdot 5,450 \text{ m} \cdot 2,290 \text{ m} = 3,50 \cdot 5,450 \cdot 2,290 = 43,68 \text{ kN}$$

$$\begin{aligned} Q_{\text{lumi},13} &= Q_{\text{lumi},21} = s_2 \cdot 5,450 \text{ m} \cdot 0,425 \text{ m} + s_1 \cdot 5,450 \text{ m} \cdot 2,050 \text{ m} = \\ &= 3,50 \cdot 5,450 \cdot 0,425 + 1,2 \cdot 5,450 \cdot 2,050 = 21,51 \text{ kN} \end{aligned}$$

### 3.2.3 Tuulekoormus

Tuulekoormus on muutuvkoormus. Konstruktsioonidele mõjuvad tuulekoormused arvatakse vastavalt standardile EVS-NE 1991-1-4:2005+NA:2007 „Eurokoodeks 1: Ehituskonstruktsioonide koormused. Osa 1-4: Üldkoormused. Tuulekoormus“ ja Ehituskonstruktori käsiraamatule. [23, 27]

Käesoleva töö tuulekoormuse arvutus käitleb vaid teljel 4 paiknevale fermile F-1 koormust avaldavaid tuulejõude ning tabelites ja joonistel on välja toodud vaid tuuletsoonid, kus mõjuv tuul avaldab koormust fermile F-1 teljel 4.

Konstruktsiooni välispindadele mõjuv tuulerõhk  $w_e$  ( $\text{kN/m}^2$ ) arvutatakse valemiga

$$w_e = q_p(z_e) \cdot c_{pe}, \quad (8)$$

kus  $q_p(z_e)$  – tippkiirusrõhk  $\text{kN/m}^2$ ,

$z_e$  – välisrõhu arvutuskõrgus  $\text{m}$ ,

$c_{pe}$  – välisrõhu rõhutegur.

Konstruktsiooni sisepindadele mõjuv tuulerõhk  $w_i$  ( $\text{kN/m}^2$ ) arvutatakse valemiga

$$w_i = q_p(z_i) \cdot c_{pi}, \quad (9)$$

kus  $q_p(z_i)$  – tippkiirusrõhk  $\text{kN/m}^2$ ,

- $z_i$  – arvutuskõrgus siserõhu määramisel m,  
 $c_{pi}$  – siserõhu röhutegur.

Konstruktsioonile või selle osale mõjuva tuulejõu  $F_w$  (kN) võib vastavalt Ehituskonstruktori käsiraamatule määrata valemiga:

$$F_w = c_f \cdot q_p(z) \cdot A_{ref}, \quad (10)$$

- kus  $q_p(z)$  – tippkiirusrõhk  $\text{kN/m}^2$ ,  
 $z$  – arvutuskõrgus m,  
 $A_{ref}$  – konstruktsiooniosa arvutuspindala  $\text{m}^2$ ,  
 $c_f$  – konstruktsiooni, konstruktsiooniosa või konstruktsioonielendi jõutegur.

Tartu turuhoone asub Tartu linnas, mis vastavalt standardile EVS-NE 1991-1-4:2005+NA:2007 on IV maastikutüübiga ala (linnaalad). Välsirõhu arvutuskõrguseks on turuhoone kõrgus  $z_e = h = 15,60$  m, sest hoone on kõrgem IV maastikutüübile vastavast minimaalsest välsirõhu arvutuskõrgusest  $z_{min} = 10$  m.

Ehituskonstruktori käsiraamatu tabel 8.18. järgi arvutatakse IV maastikutüübil tuule tippkiirusrõhk  $q_p$  ( $\text{kN/m}^2$ ) valemiga

$$q_p = 15,15 \cdot \ln^2 z + 106,06 \cdot \ln z, \quad (11)$$

- kus  $z$  – arvutuskõrgus m.

Turuhoone tippkiirusrõhk vastavalt valemile 11

$$q_p = 15,15 \cdot \ln^2 15,60 + 106,06 \cdot \ln 15,60 = 405,72 \text{ N/m}^2 = 0,406 \text{ kN/m}^2$$

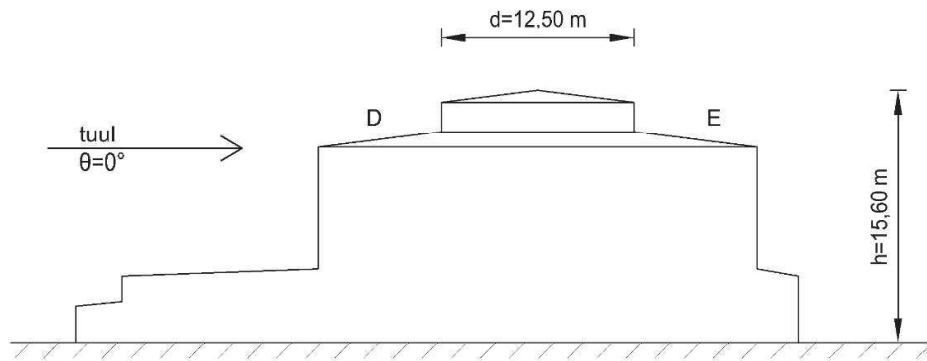
### Valgmiku seinte tuulekoormus

Turuhoone põhihalli kõrgem katus koosneb kahest tasapinnast, mille vahel on valgmik kõrgusega  $h_1=1,75$  m.

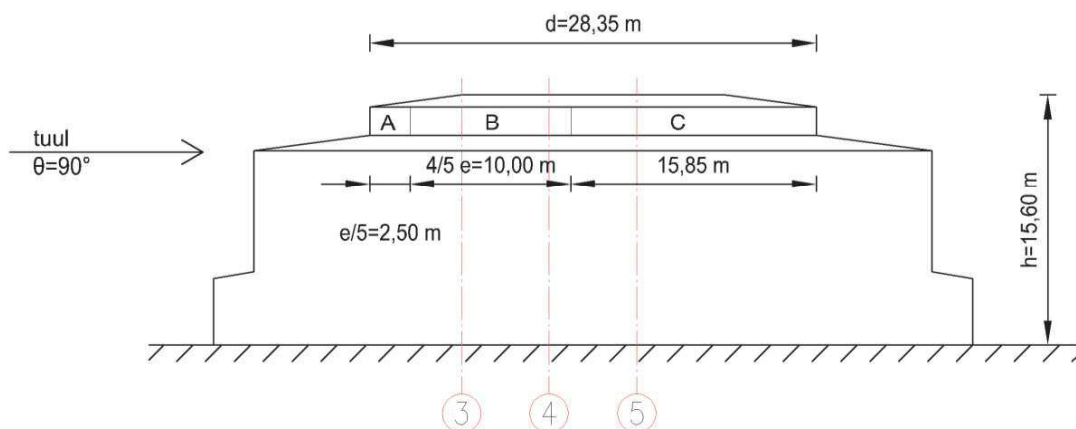
Turuhoone katusefermi F-1 teljel 4 paiknemine tuuletsoonide suhtes on toodud järgnevatele joonistel 3.4. ja 3.5. Tuule suund  $0^\circ$  korral asub telg 4 tuuletsoonides D ja E. Vertikaalse seina korral on  $e = b$  või  $2 \cdot h$ , olenevalt kumb väärthus on väiksem. Tuule suund  $0^\circ$  puhul

on e väärthus  $e = b = 12,50$  m ja  $d = 28,35$  m. Tuule suund  $90^\circ$  puhul avaldub fermile teljeil 4 tsoonidele B ja C vastav koormus, millisel juhul  $e = b = 28,35$  m ja  $d = 12,50$  m.

Fermi seinaosa välisrõhutegurid turuhoone  $c_{pe,10}$  on saadud interpoleerimise teel. Välisrõhutegurid ja konstruktsiooni välispinnale mõjuvad tuulerõhud on toodud järgnevates tabelites 3.10. ja 3.12. Katusevalgmiku seinale mõjuv joonkoormus saadakse tippkiirusrõhu  $q_p$  korrutamisel fermide sammuga  $s=5,45$  m. Valgmiku seinale mõjuv välispindade tuulerõhk ja joonkoormused on toodud järgnevates tabelites 3.11. ja 3.13.



Joonis 3.4. Tuule suund  $0^\circ$  korral teljele 4 mõjuvad koormustsoonid ja arvutuskõrgus



Joonis 3.5. Tuule suund  $90^\circ$  korral teljele 4 mõjuvad koormustsoonid ja arvutuskõrgus

**Tabel 3.10.** Valgmiku seinale mõjuvate tuuletsoonide välisrõhutegurid tuule suund  $\theta=0^\circ$  korral

Tuule suund $\theta=0^\circ$		
Tsoon	D	E
h/d		$c_{pe,10}$
1	0,80	-0,50
<b>0,55</b>	<b>0,74</b>	<b>-0,38</b>
0,25	0,70	-0,30

**Tabel 3.11.** Valgmiku seinale mõjuv välispindade tuulerõhk tuule suund  $\theta=0^\circ$  korral

Tuule suund $\theta=0^\circ$		
Tsoon	D	E
Tuulerõhutegur $c_{pe,10}$	0,74	-0,38
Tuulerõhk $w_e$ (kN/m <sup>2</sup> )	0,30	-0,15
Joonkoormus fermile (kN/m)	1,64	-0,84

**Tabel 3.12.** Valgmiku seinale mõjuvate tuuletsoonide välisrõhutegurid tuule suund  $\theta=90^\circ$  korral

Tuule suund $\theta=90^\circ$		
Tsoon	B	C
h/d		$c_{pe,10}$
5	-0,80	-0,50
<b>1,25</b>	<b>-0,80</b>	<b>-0,50</b>
1	-0,80	-0,50

**Tabel 3.13.** Valgmiku seinale teljel 4 mõjuv välispindade tuulerõhk tuule suund  $\theta=90^\circ$  korral

Tuule suund $\theta=90^\circ$		
Tsoon	B	C
Tuulerõhutegur $c_{pe,10}$	-0,80	-0,50
Tuulerõhk $w_e$ (kN/m <sup>2</sup> )	-0,32	-0,20
Joonkoormus fermile (kN/m)	-1,60	

Katusevalgmikus paiknevad avad tekitavad turuhoone katusele siserõhu. Kuna avad on hoone tahkudel ühtlaselt jaotunud võib vastavalt Ehituskonstruktori käsiraamatule siserõhuteguri  $c_{pi}$  ekstreemväärtsena tagavara kasutada  $c_{pi}=+0,35$  või  $c_{pi}=-0,5$ . Fermi vardale mõjuva joonkoormuse saamiseks korrutatakse tuulerõhk  $w_i$  fermide sammuga

$s=5,45$  m. Konstruktsiooni sisepinnale mõjuvad tuulerõhud ja joonkoormused on toodud järgnevates tabelites 3.14. ja 3.15.

**Tabel 3.14.** Valgmiku seina tuuletsoonide siserõhutegurid tuule suund  $\theta=0^\circ$  korral

Tuule suund $\theta=0^\circ$				
Tsoon	D		E	
Tuulerõhutegur $c_{pi}$	0,35	-0,5	0,35	-0,5
Tuulerõhk $w_i$ ( $\text{kN/m}^2$ )	0,14	-0,20	0,14	-0,20
Joonkoormus fermile ( $\text{kN/m}$ )	0,77	-1,11	0,77	-1,11

**Tabel 3.15.** Valgmiku seina tuuletsoonide siserõhutegurid tuule suund  $\theta=90^\circ$  korral

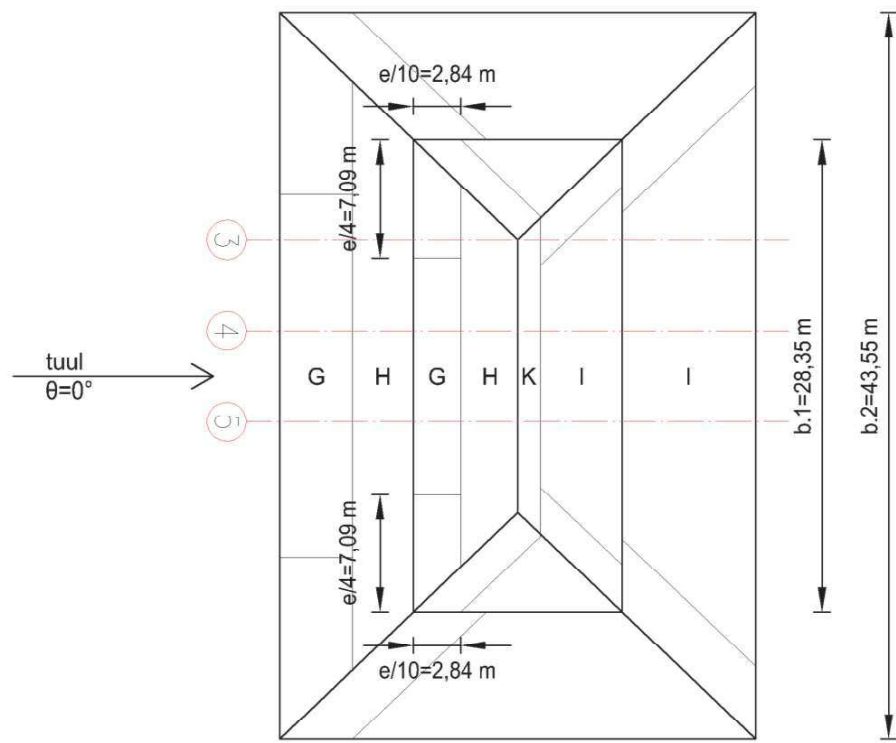
Tuule suund $\theta=90^\circ$				
Tsoon	B	C	B	C
Tuulerõhutegur $c_{pi}$	0,35	0,35	-0,50	-0,50
Tuulerõhk $w_i$ ( $\text{kN/m}^2$ )	0,14	0,14	-0,20	-0,20
Joonkoormus fermile ( $\text{kN/m}$ )	0,77		-1,11	

### Katuse tuulekoormus

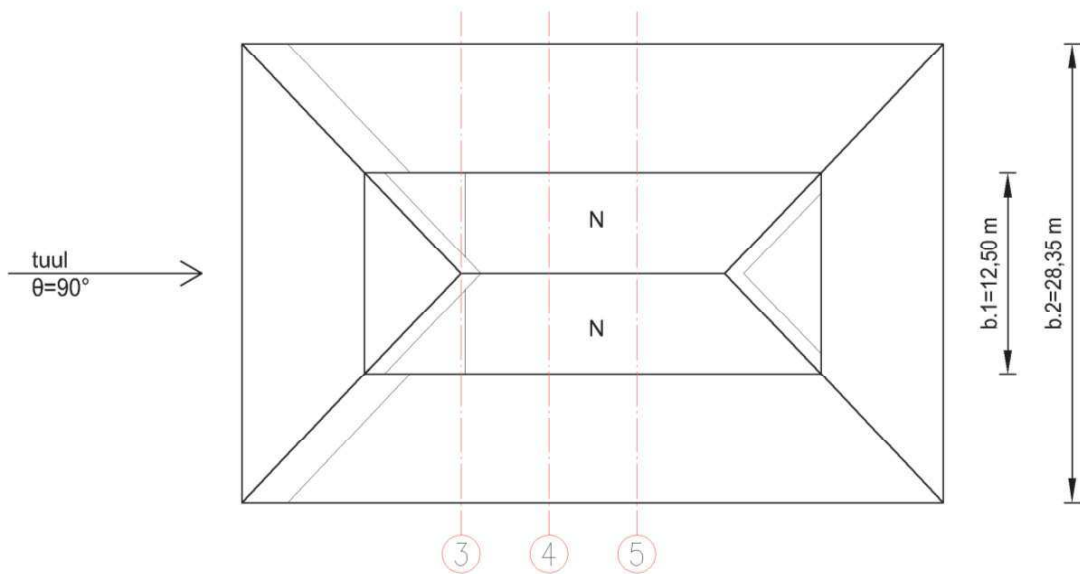
Tuule suund  $0^\circ$  puhul on tuule ristsihis hoone mõõt katuse kõrgemal tasapinnal  $b_1=28,35$  m ja katuse madalamal tasapinnal  $b_2=43,55$  m. Kelpkatuse puhul on  $e = b$  või  $2 \cdot h$ , olenevalt kumb väärthus on väiksem. Antud katuse puhul on kõrgema katuse osa  $e$  väärthus  $e_1 = b = 28,35$  m ja madalama katuseastme puhul  $e_2 = 2h = 31,20$  m. Kahetasandilise kelpkatuse tuuletsoonid tuule suund  $0^\circ$  ja  $90^\circ$  puhul on toodud käesoleva töö joonistel 3.6. ja 3.7. Kelpkatuse välisrõhutegurid  $c_{pe,10}$  saadakse interpoleerimise teel ja esitatakse tabelis 3.16.

**Tabel 3.16.** Välisrõhutegurid turuhoone kelpkatusele tuule suund  $\theta=0^\circ$  ja  $\theta=90^\circ$  korral

Kaldenurk $\alpha$	Tuule suund $\theta=0^\circ$ ja $\theta=90^\circ$				
	G	H	I	K	N
$5^\circ$	-1,20	-0,60	-0,30	-0,60	-0,40
	0,00	0,00			
$7^\circ$	<b>-1,12</b>	<b>-0,54</b>	<b>-0,34</b>	<b>-0,72</b>	<b>-0,38</b>
	<b>0,04</b>	<b>0,04</b>			
$15^\circ$	-0,80	-0,30	-0,50	-1,20	-0,30
	0,20	0,20			



Joonis 3.6. Kahetasapinnalise kelpkatuse koormustsoonid teljel 4, tuule suund  $0^\circ$



Joonis 3.7. Kahetasapinnalise kelpkatuse koormustsoonid teljel 4, tuule suund  $90^\circ$

Fermi sõlmpunktidesse mõjuvad tuulerõhust põhjustatud punktkoormused arvutatakse vastavalt valemile 10 ja esitatakse tabelites 3.17. ja 3.18.

**Tabel 3.17.** Konstruktsiooni välispinnale mõjuvast tuulerõhust põhjustatud tuulejõud fermi sõlmpunktidesse tuule suund  $\theta=0^\circ$  korral

Tuule suund $\theta=0^\circ$				
Fermi sõlm	Tsoon	Rõhutegur $c_f$	Mõjupindala $A_{ref}$ $m^2$	Tuulejõud $F_w$ kN
13	G	-1,12	10,87	-4,94
		0,04		0,18
	H	-0,54	2,83	-0,62
		0,04		0,05
14	H	-0,54	12,48	-2,74
		0,04		0,20
15	H	-0,54	6,05	-1,33
		0,04		0,10
19	I	-0,34	6,05	-0,84
20	I	-0,34	12,48	-1,72
21	I	-0,34	13,49	-1,86
23	G	-1,12	9,40	-4,27
		0,04		0,15
24	G	-1,12	6,32	-2,87
		0,04		0,10
	H	-0,54	10,85	-2,38
		0,04		0,18
25	H	-0,54	7,77	-1,70
		0,04		0,13
	K	-0,72		-2,27
26	I	-0,34	17,17	-2,37
27	I	-0,34	9,40	-1,30

**Tabel 3.18.** Konstruktsiooni välispinnale mõjuvast tuulerõhust põhjustatud tuulejõud fermi sõlmpunktidesse tuule suund  $\theta=90^\circ$  korral

Tuule suund $\theta=90^\circ$				
Fermi sõlm	Tsoon	Rõhutegur $c_{pe,10}$	Mõjupindala $A_{ref}$ $m^2$	Tuulejõud $F_w$ kN
13	N	-0,38	13,49	-2,08

Tuule suund $\theta=90^\circ$					
Fermi sõlm	Tsoon	Rõhutegur $c_{pe,10}$	Mõjupindala $A_{ref}$	Tuulejõud $F_w$	
			$m^2$	kN	
14	N	-0,38	12,48	-1,93	
15	N	-0,38	6,05	-0,93	
19	N	-0,38	6,05	-0,93	
20	N	-0,38	12,48	-1,93	
21	N	-0,38	13,49	-2,08	
23	N	-0,38	9,40	-1,45	
24	N	-0,38	17,17	-2,65	
25	N	-0,38	15,53	-2,40	
26	N	-0,38	17,17	-2,65	
27	N	-0,38	9,40	-1,45	

Kõige suurem konstruktsiooni välispinnale mõjuvast tuulerõhust põhjustatud tõstejõud tuule suund  $\theta=0^\circ$  korral on  $F_w = -4,94$  kN, mis rakendub fermi sõlmpunkti 13. Samas sõlmpunktis on konstruktsioonile mõjuv omakaalukoormus  $G_{k,13} = 10,91$  kN. Tuule suund  $\theta=90^\circ$  korral on kõige suurem tuule tõstejõud  $F_w = -2,65$  kN, mis rakendub fermi sõlmpunktidesse 24 ja 26, kus mõjuv omakaalukoormus on  $G_{k,26} = G_{k,24} = 9,67$  kN. Välja toodud tuule tõstejõud on väiksemad konstruktsioonide omakaalukoormustest ( $F_w < G_k$ ) ja järelikult ei saa tuule tõstejõust põhjustatud koormused katusefermi kandevõime seisukohalt määrevaks, mistõttu neid koomuskombinatsioonide arvutustes ei arvestata.

Vastavalt Ehituskonstruktori käsiraamatule kasutatakse turuhoone katuse sisepinnale mõjuva tuulejõu arvutamisel siserõhuteguri  $c_{pi}$  ekstreemväärteid  $c_{pi} = +0,35$  või  $c_{pi} = -0,5$ , mis annavad tulemuse tagavara kasuks. Katuse sisepinnale mõjuvast tuulerõhust põhjustatud punktkoormused fermi sõlmpunktidesse tuule suund  $\theta=0^\circ$  ja  $\theta=90^\circ$  korral arvutatakse vastavalt valemile 10 ja esitatakse tabelites 3.19. ja 3.20.

**Tabel 3.19.** Konstruktsiooni sisepinnale mõjuvast tuulerõhust põhjustatud tuulejõud fermi sõlmpunktidesse tuule suund  $\theta=0^\circ$  korral

Tuule suund $\theta=0^\circ$					
Fermi sõlm	Tsoon	Rõhutegur $c_{pi}$	Mõjupindala $A_{ref}$	Tuulejõud $F_w$	
			$m^2$	kN	
23	G	0,35	9,40	1,34	

Tuule suund $\theta=0^\circ$				
Fermi sõlm	Tsoon	Rõhutegur $c_{pi}$	Mõjupindala $A_{ref}$	Tuulejõud $F_w$
			$m^2$	kN
24	G	-0,50	6,32	-1,91
		0,35		0,90
	H	-0,50	10,85	-1,28
		0,35		1,54
25	H	-0,50	7,77	-2,20
		0,35		1,10
	K	-0,50	7,77	-1,58
		0,35		1,10
26	I	-0,50	17,17	-1,58
		0,35		2,44
27	I	-0,50	9,40	-3,49
		0,35		1,34

**Tabel 3.20.** Konstruktsiooni sisepinnale mõjuvast tuulerõhust põhjustatud tuulejõud fermi sõlm-punktidesse tuule suund  $\theta=90^\circ$  korral

Tuule suund $\theta=90^\circ$				
Fermi sõlm	Tsoon	Rõhutegur $c_{pi}$	Mõjupindala $A_{ref}$	Tuulejõud $F_w$
			$m^2$	kN
23	N	0,35	9,40	1,34
		-0,50		-1,91
24	N	0,35	17,17	2,44
		-0,50		-3,49
25	N	0,35	15,53	2,21
		-0,50		-3,15
26	N	0,35	17,17	2,44
		-0,50		-3,49
27	N	0,35	9,40	1,34
		-0,50		-1,91

Sarnaselt konstruktsiooni välispinnale mõjuvast tuulerõhust põhjustatud tõstejõududega, on ka konstruktsiooni sisepinnale mõjuvad tuule tõstejõud väiksemad samades sõlmpunktides mõjuvatele konstruktsiooniomakaaludele. Suurim tuule tõstejõud mõlema tuule suuna korral

on  $F_w = -3,49$  kN, mis rakendub fermi sõlmpunktidesse 24 ja 26, kus mõjuvad konstruktsiooni omakaalukoormused  $G_{k,26} = G_{k,24} = 9,67$  kN. Järelikult ei saa ka tuule tõstejõust põhjustatud koormused katusefermi kandevõime seisukohalt määrvavaks ning neid koormuskombinatsioonide arvutustes arvesse ei võeta.

### 3.3 Koormuskombinatsioonid

Käesolevas töös arvesse võetud koormuskombinatsioonid on koostatud lähtuvalt valemitest 1 ja 2 ning esitatud tabelis 3.21.

**Tabel 3.21.** Koormuskombinatsioonid

KK1	Omakaalukoormuse ebasoodne mõju	$1,35 \cdot G_k$
KK2	Omakaalukoormus + domineeriv lumekoormus	$1,20 \cdot G_{k,j} + 1,50 \cdot Q_{k,Sn}$
KK3	Omakaalukoormus + domineeriv lumekoormus + suruv tuulekoormus	$1,20 \cdot G_{k,j} + 1,50 \cdot Q_{k,Sn} + 1,50 \cdot 0,6 \cdot Q_{k,W(0)}$
KK4	Omakaalukoormus + domineeriv suruv tuulekoormus + lumekoormus	$1,20 \cdot G_{k,j} + 1,50 \cdot Q_{k,W(0)} + 1,50 \cdot 0,5 \cdot Q_{k,Sn}$
KK5	Omakaalukoormus + domineeriv lumekoormus + suruv tuulekoormus (kasutuspiirseisund, tavakombinatsioon)	$1,00 \cdot G_{k,j} + 0,2 \cdot Q_{k,Sn} + 0 \cdot Q_{k,W(0)}$

### 3.4 Fermi varraste ristlõikeklassid

Fermile F-1 tugevuskontrolli tegemiseks kontrollitakse varraste ristlõikeklasse. Varraste ristlõikeklassid määrratakse vastavalt standardile EVS-NE 1993-1-1:2005+A1:2014+NA2015 ja Ehituskonstruktori käsiraamatule.[23, 28]

Ristlõikeklassi määramise tingimused on toodud standardi EVS-NE 1993-1-1:2005+A1:2014+NA2015 tabelis 5.2, mis on esitatud käesoleva töö joonisel 3.8.

Kanttoru 250x250x10 ristlõikeklass määrratakse vastavalt tabelile 3.8

$$c = b - 3 \cdot t = 250 - 3 \cdot 10 = 220 \text{ mm}$$

$$f_y = 355 \text{ N/mm}^2$$

$$\varepsilon = \sqrt{\frac{235 \text{ N/mm}^2}{f_y}} = \sqrt{\frac{235 \text{ N/mm}^2}{355 \text{ N/mm}^2}} = 0,814$$

$$\frac{c}{t} = \frac{220}{10} = 22$$

$$\frac{c}{t} < 33 \cdot \varepsilon = \frac{220}{10} < 33 \cdot 0,814 = 10 < 26,862 \rightarrow \text{ristlõige kuulub ristlõikeklassi 1.}$$

**Kahelt servalt toetatud surutud elementid**

Paine näidatud telje suhtes

Ristlõikeklass	Painutatud elemendid	Surutud elemendid	Samaaegselt painutatud ja surutud elemendid	
Elemendi pingegaotus (surve positiivne)				
1	$c/t \leq 72\varepsilon$	$c/t \leq 33\varepsilon$	kui $\alpha > 0,5$ : $\frac{c}{t} \leq \frac{396\varepsilon}{13\alpha - 1}$ kui $\alpha \leq 0,5$ : $\frac{c}{t} \leq \frac{36\varepsilon}{\alpha}$	
2	$c/t \leq 83\varepsilon$	$c/t \leq 38\varepsilon$	kui $\alpha > 0,5$ : $\frac{c}{t} \leq \frac{456\varepsilon}{13\alpha - 1}$ kui $\alpha \leq 0,5$ : $\frac{c}{t} \leq \frac{41,5\varepsilon}{\alpha}$	
Elemendi pingegaotus (surve positiivne)				
3	$c/t \leq 124\varepsilon$	$c/t \leq 42\varepsilon$	kui $\psi > -1$ : $\frac{c}{t} \leq \frac{42\varepsilon}{0,67 + 0,33\psi}$ kui $\psi \leq -1^*$ : $\frac{c}{t} \leq 62\varepsilon(1-\psi)\sqrt{-\psi}$	
$\varepsilon = \sqrt{\frac{235}{f_y}}$	$f_y$	235	275	
	$\varepsilon$	1,00	0,92	
		355	420	460
		0,81	0,75	0,71

\* Väärtust  $\psi \leq -1$  kasutakse siis, kui survepinge  $\Delta\sigma \leq f_y$ , või kui tömbetsooni suhteline pikenemisdeformatsioon  $\varepsilon_y > f_y/E$ .

**Joonis 3.8.** Ristlõike surutud osade maksimaalne laiuse-paksuse suhe (EVS-NE 1993-1-

1:2005+A1:2014+NA2015 tabel 5.2)

Kõikide fermi F-1 varraste ristlõikeklassid on toodud järgnevas tabelis number 3.22.

**Tabel 3.22.** Fermi F-1 varraste ristlõikeklassid

Ristlõike mõõtmed b x h x t mm	Ristlõikeklass
250x250x10	1
180x180x6	2
150x150x6	1
100x100x4	1
60x60x4	1

### 3.5 Vööde dimensioneerimine

Fermi F-1 varraste ristlõigete kandevõimed arvutatakse vastavalt standardile EVS-NE 1993-1-1:2005+A1:2014+NA2015 [28]. Kontrollitakse vardaid koormuskombinatsioonis, mille korral tekivad konstruktsiooni kõige suuremad sisejõud. Käesolevas töös on kõige kriitilise-maks koormuskombinatsiooniks KK3, mille puhul fermis tekinud sisejõude on toodud joonisel 3.9. Antud koormuskombinatsioonis esineb kõige suurem tõmbejõud fermi alumises vöös, mille moodustab kanttoru ristlõikega 150x150x6. Suurim survejõud mõjub fermi ülemises vöös, kanttorus ristlõikega 250x250x10 mm. Vööde ristlõike karakteristikud on toodud tabelis 3.1.

Fermi läbipainde kontrolli kasutuspiirseisundi käesolevas töös ei vormistata, sest vastav olukord ei osuta määrvaks.

### Tõmbejõud

Arvutuslik tõmbejõud peab igas ristlõikes rahuldama tingimust

$$\frac{N_{Ed}}{N_{t,Rd}} \leq 1,0, \quad (12)$$

kus  $N_{Ed}$  – arvutuslik tõmbejõud kN,  
 $N_{t,Rd}$  – ristlõike tõmbekandevõime kN.

Brutoristlõike arvutuslik plastne tõmbekandevõime  $N_{Pl,Rd}$  (kN) arvutatakse valemiga

$$N_{Pl,Rd} = \frac{A \cdot f_y}{\gamma_{M0}}, \quad (13)$$

kus  $A$  – ristlõike brutopindala  $\text{mm}^2$ ,

$f_y$  – terase normatiivne voolavuspiir N/mm<sup>2</sup>,

$\gamma_{M0}$  – materjali osavarutegur,  $\gamma_{M0} = 1,0$

ja netoristlõike tõmbekandevõime  $N_{u,Rd}$  (kN) kinnitusvahendite aukude kohal arvutatakse valemiga

$$N_{u,Rd} = \frac{0,9 \cdot A_{net} \cdot f_u}{\gamma_{M2}}, \quad (14)$$

kus  $A_{net}$  – ristlõike netopindala mm<sup>2</sup>,

$f_u$  – terase normatiivne tõmbetugevus N/mm<sup>2</sup>,

$\gamma_{M2}$  – materjali osavarutegur,  $\gamma_{M2} = 1,25$ .

Fermi alumise vöö tõmbekandevõime kontroll vastavalt valemile 13

$$N_{pl,Rd} = \frac{A \cdot f_y}{\gamma_{M0}} = \frac{3363 \cdot 355}{1,0} = 1193865 \text{ N} = 1193,87 \text{ kN}$$

Tugevustingimuse kontroll vastavalt valemile 12

$$\frac{N_{Ed}}{N_{pl,Rd}} = \frac{652,56}{1193,86} = 0,547 \leq 1,0$$

Tugevustingimus on täidetud.

## Survejõud

Arvutuslik survejõud peab igas ristlõikes rahuldama tingimust

$$\frac{N_{Ed}}{N_{c,Rd}} \leq 1,0, \quad (15)$$

kus  $N_{Ed}$  – arvutuslik survejõud kN,

$N_{c,Rd}$  – ristlõike survekandevõime kN.

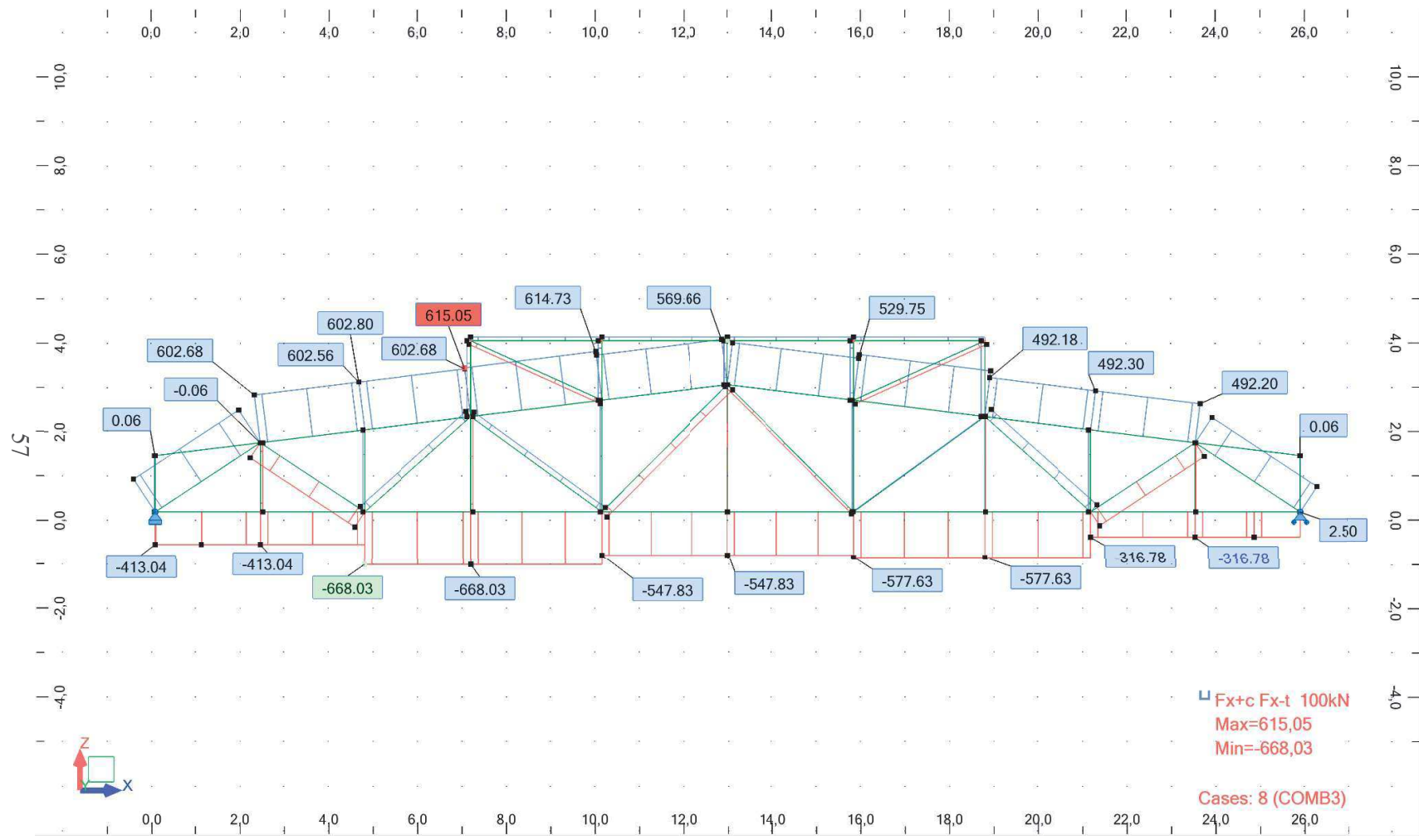
1,2 ja 3 ristlõikeklassis arvutatakse ristlõike arvutuslik survekandevõime valemiga

$$N_{c,Rd} = \frac{A \cdot f_y}{\gamma_{M0}}, \quad (16)$$

kus  $A$  – ristlõike brutopindala mm<sup>2</sup>,

$f_y$  – terase normatiivne voolavus N/mm<sup>2</sup>,

$\gamma_{M0}$  – materjali osavarutegurid,  $\gamma_{M0} = 1,0$



Joonis 3.9. Fermi F-1 sisejõud koormuskombinatsioonis KK3

Fermi ülemise vöö survekandevõime kontroll vastavalt valemile 16

$$N_{c,Rd} = \frac{A \cdot f_y}{\gamma_{M0}} = \frac{9257 \cdot 355}{1,0} = 3286235 \text{ N} = 3286,24 \text{ kN}$$

Tugevustingimuse kontroll vastavalt valemile 15

$$\frac{N_{Ed}}{N_{c,Rd}} = \frac{615,05}{3286,23} = 0,187 \leq 1,0$$

Tugevustingimus on täidetud.

Tsentriliselt surutud varda puhul saab enamasti määrvaks varda nõtkekandevõime  $N_{b,Rd}$ .

### Nõtkekandevõime kontroll

Surutud varras peab olema nõtke suhtes dimensioneeritud nii, et kehtiks tingimus

$$\frac{N_{Ed}}{N_{b,Rd}} \leq 1,0, \quad (17)$$

kus  $N_{Ed}$  – arvutuslik survejõud kN,  
 $N_{b,Rd}$  – surutud varda arvutuslik nõtkekandevõime kN.

1,2 ja 3 ristlõikeklassis arvutatakse surutud varda arvutuslik nõtkekandevõime  $N_{b,Rd}$  (kN) valemiga

$$N_{b,Rd} = \frac{\chi \cdot A \cdot f_y}{\gamma_{M1}}, \quad (18)$$

kus  $A$  – ristlõike brutopindala  $\text{mm}^2$ ,  
 $f_y$  – terase normatiivne voolavus  $\text{N/mm}^2$ ,  
 $\gamma_{M1}$  – materjali osavarutegur,  $\gamma_{M1} = 1,0$ ,  
 $\chi$  – nõtketegur.

Tsentriliselt surutud varda nõtketegur  $\chi$  arvutatakse valemiga

$$\chi = \frac{1}{\Phi + \sqrt{\Phi^2 - \bar{\lambda}^2}}, \quad (19)$$

kusjuures  $\chi \leq 1,0$  ja kus

$\Phi$  – abisuurus, mis leitakse valemiga  $\Phi = 0,5 \cdot [1 + \alpha \cdot (\bar{\lambda} - 0,2) + \bar{\lambda}^2]$ ,  
 $\bar{\lambda}$  – surutud varda tingsaledus,  
 $\alpha$  – hälbetegur.

Paindenõtkel ristlõikeklasside 1, 2, ja 3 puhul arvutatakse tingsaledus  $\bar{\lambda}$  valemiga:

$$\bar{\lambda} = \sqrt{\frac{A \cdot f_y}{N_{cr}}} = \frac{L_{cr}}{i} \cdot \frac{1}{\lambda_1}, \quad (20)$$

kus	A	– ristlõike brutopindala $\text{mm}^2$ ,
	$f_y$	– terase normatiivne voolavus $\text{N/mm}^2$ ,
	$L_{cr}$	– nõtkepikkus vaadeldavas tasapinnas mm,
	i	– brutoristlõike inertsiraadius kõnealuse telje suhtes,
	$N_{cr}$	– brutoristlõike põhjal leitav kõnealusele stabiilsuskao vormile vastav elastsusteooria kohane kriitiline jõud $\text{kN}$ ,

$\lambda_1$  – tingsaleduse leidmiseks vajalik saleduse väärthus, mis leitakse valemiga

$$\lambda_1 = \pi \cdot \sqrt{\frac{E}{f_y}} = 93,9\varepsilon \text{ ja kus } \varepsilon = \sqrt{\frac{235}{f_y}}.$$

Varda ristlõike karakteristikud on toodud tabelis 3.1. fermi kuju ja varraste pikkused joonisel 3.1.

Fermi vöövarda nõtkekandevõime kontroll

Varda pikkus on  $L=2,97 \text{ m}$ .

Vastavalt standardile EVS-NE 1993-1-1:2005+A1:2014+NA:2015 võib sõrestiku vöö ja võrguvarraste nõtkepikkuseks võtta  $L_{cr}=0,9 \cdot L=0,9 \cdot 2970=2673 \text{ mm}$ .

Varda tingsaleduse  $\bar{\lambda}$  leidmiseks vajalikud abisuurused

$$\varepsilon = \sqrt{\frac{235}{f_y}} = \sqrt{\frac{235}{355}} = 0,814$$

$$\lambda_1 = \pi \cdot \sqrt{\frac{E}{f_y}} = 93,9\varepsilon = 93,9 \cdot 0,814 = 76,41$$

Varda tingsaledus vastavalt valemile 20

$$\bar{\lambda} = \sqrt{\frac{A \cdot f_y}{N_{cr}}} = \frac{L_{cr}}{i} \cdot \frac{1}{\lambda_1} = \frac{2673}{97} \cdot \frac{1}{76,40} = 0,361$$

Abisuurus  $\Phi$  leidmine

Standardi EVS-NE 1993-1-1:2005+A1:2014+NA:2015 tabelile 6.2. on varda nõtkekõver a, millele vastav hälbetegur sama standardi tabelist 6.1 on  $\alpha = 0,21$ .

$$\Phi = 0,5 \cdot [1 + \alpha \cdot (\bar{\lambda} - 0,2) + \bar{\lambda}^2] = 0,5 \cdot [1 + 0,21 \cdot (0,361 - 0,2) + 0,361^2] = 0,582$$

Nõtketeguri arvutus vastavalt valemile 19

$$\chi = \frac{1}{\Phi + \sqrt{\Phi^2 - \bar{\lambda}^2}} = \frac{1}{0,582 + \sqrt{0,582^2 - 0,361^2}} = 0,963$$

Surutud varda arvutuslik nõtkekandevõime vastavalt valemile 18

$$N_{b,Rd} = \frac{\chi \cdot A \cdot f_y}{\gamma_{M1}} = \frac{0,963 \cdot 9257 \cdot 355}{1,0} = 3164644 \text{ kN} = 3164,64 \text{ kN}$$

Tugevustingimuse kontroll valemist 17

$$\frac{N_{Ed}}{N_{b,Rd}} = \frac{615,05}{3164,44} = 0,194 \leq 1,0$$

Tugevustingimus on täidetud.

### 3.6 Sõlm A kandevõime kontroll

Sõlme A kandevõimet kontrollitakse vastavalt standardile Eurokoodeks 3: „Teraskonstruktsioonide projekteerimine. Osa 1-8, Liidete projekteerimine“ [29].

#### 3.6.1 Geomeetria kontroll

Sõlme geomeetriat kontrollitakse vastavalt standardi EVS-NE 1993-1-8:2006 tabelile 7.8, mis on käesolevas töös esitatud joonisel 3.10.



kõik vardad on ruutristlõikega:  $\frac{h_0}{b_0} = \frac{180}{180} = 1$ ;  $\frac{h_2}{b_2} = \frac{150}{150} = 1$ ;  $\frac{h_3}{b_3} = \frac{100}{100} = 1$  seega tingimused täidetud;

- $\frac{b_0}{t_0}$  ja  $\frac{h_0}{t_0} \leq 35$ ; võö peab kuuluma ristlõikeklassi 1 või 2;

$\frac{b_0}{t_0} = \frac{h_0}{t_0} = \frac{180}{6} = 30 < 35$ , võö ristlõikeklass on 2 – tingimused täidetud;

- $0.5 \cdot (1 - \beta) \leq \frac{g}{b_0} \leq 1.5 \cdot (1 - \beta)$ , kusjuures  $g \geq t_1 + t_2$ ,

kus  $\beta = \frac{b_1+b_2+b_3+h_1+h_2+h_3}{6 \cdot b_0} = \frac{150+100+100+150+100+100}{6 \cdot 180} = 0,694$ ;

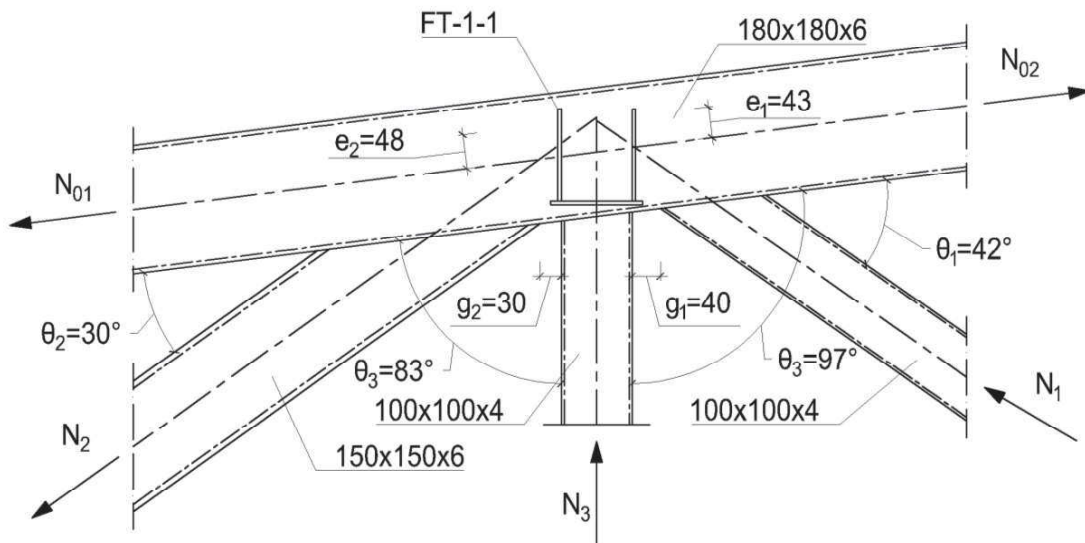
$$0.5 \cdot (1 - 0,694) = 0,153 < \frac{30}{180} = 0,167 \leq 1,5 \cdot (1 - 0,694) = 0,459$$

ja  $g = 30 \text{ mm} > t_2 + t_3 = 6 + 4 = 10 \text{ mm}$

Seega on kõik arvutuseelduseks olevad nõuded täidetud ja tegu on K-tüüpi sõlmega.

Sõlm A on KT-tüüpi liide. Arvutuseelduste ja kandevõimete kontrolliks on sõlm jagatud kaheks K-sõlmeeks. Sõlm A on toodud järgneval joonisel 1.11.

### SÕLM A



Joonis 3.11. Sõlm A

Arvutuseelduste kehtivuse kontroll sõlme A paremal poolel: vöö ja kaks surutud võrguvälist ristlõigetega 100x100x4:

- $\frac{b_i}{b_0} \geq 0,35 \geq 0,1 + 0,01 \cdot \frac{b_0}{t_0}$

$$\frac{b_1}{b_0} = \frac{b_2}{b_0} = \frac{100}{180} = 0,556 > 0,35; \frac{b_1}{b_0} = 0,556 > 0,1 + 0,01 \cdot \frac{180}{6} = 0,400 - \text{täidetud};$$

- $\frac{b_i}{t_i} \leq 35$  ja  $\frac{h_i}{t_i} \leq 35$ ; surutud varras peab kuuluma ristlõikeklassi 1 või 2;

$$\frac{b_1}{t_1} = \frac{h_1}{t_1} = \frac{b_3}{t_3} = \frac{h_3}{t_3} = \frac{100}{4} = 25 < 35; \text{vardad kuuluvad ristlõikeklassi 1 - seega tingimused on täidetud};$$

- $0,5 \leq \frac{h_0}{b_0} \leq 2$  ja  $0,5 \leq \frac{h_i}{b_i} \leq 2$

kõik vardad on ruutristlõikega:  $\frac{h_0}{b_0} = \frac{180}{180} = 1; \frac{h_1}{b_1} = \frac{h_3}{b_3} = \frac{100}{100} = 1$  seega tingimused täidetud;

- $\frac{b_0}{t_0}$  ja  $\frac{h_0}{t_0} \leq 35$ ; vöö peab kuuluma ristlõikeklassi 1 või 2;

$$\frac{b_0}{t_0} = \frac{h_0}{t_0} = \frac{180}{6} = 30 < 35, \text{vöö ristlõikeklass on 2 - tingimused täidetud};$$

- $0,5 \cdot (1 - \beta) \leq \frac{g}{b_0} \leq 1,5 \cdot (1 - \beta)$ , kusjuures  $g \geq t_1 + t_2$ ,

kus  $\beta = \frac{b_1+b_2+b_3+h_1+h_2+h_3}{6 \cdot b_0} = \frac{150+100+100+150+100+100}{6 \cdot 180} = 0,694$ ;

$$0,5 \cdot (1 - 0,694) = 0,153 < \frac{40}{180} = 0,222 \leq 1,5 \cdot (1 - 0,694) = 0,459$$

ja  $g = 40 \text{ mm} > t_1 + t_2 = 4 + 4 = 8 \text{ mm}$

Seega on kõik arvutuseelduseks olevad nõuded täidetud ja tegu on KT-tüüpi sõlmega.

### 3.6.2 Normaaljõukandevõime

Arvutuskäigu kordamise välimiseks on järgnevalt esitatud vaid sõlme vasaku poole kandevõime kontroll. Sõlme A kandevõime puhul sai määrvavaks koormuskombinatsioon KK3, mille korral mõjuvad varrastele järgmised arvutuslikud sisejõud:

$$N_{01,Ed} = 0 \text{ kN}; \quad N_{02,Ed} = 602,68 \text{ kN}$$

$$N_{2,Ed} = 490,79 \text{ kN}; \quad N_{3,Ed} = -31,94 \text{ kN}$$

Vöövara vajalikud ristlõikeparameetrid

$$A_0 = 40,83 \text{ cm}^2 \quad W_{pl,0} = 264,4 \text{ cm}^3$$

Ülekatteta K-liite vöö liitelinna kandevõime  $N_{i,Rd}$  (kN) arvutatakse valemiga

$$N_{i,Rd} = \frac{8,9 \cdot k_n \cdot f_{y0} \cdot t_0^2 \cdot \sqrt{\gamma}}{\sin \theta_i} \left( \frac{b_1 + b_2 + h_1 + h_2}{4 \cdot b_0} \right) / \gamma_{M5}, \quad (21)$$

- kus  $f_{y0}$  – vöövarda voolavuspiir N/mm<sup>2</sup>,  
 $t_0$  – vöö seinapaksus mm,  
 $b_0$  – vöö ristlõike laius mm,  
 $\gamma$  – vöövarda ristlõike laiuse ja kahekordse seinapaksuse suhe  $\gamma = \frac{b_0}{2 \cdot t_0}$ ,  
 $b_1, b_2$  – võrguvarraste ristlõike laiused mm,  
 $h_1, h_2$  – võrguvarraste ristlõike kõrgused mm,  
 $\gamma_{M5}$  – sõrestiku toruprofilidest varraste liidete kandevõime osavarutegur,

$$\gamma_{M5} = 1,0,$$

$$\theta_i \text{ – võrguvarda ja vöö vaheline nurk } ^\circ,$$

kus  $k_n$  – tegur, mille väärustus leitakse:

$$\text{kui } n > 0 \text{ (surve): } k_n = 1,3 - \frac{0,4 \cdot n}{\beta}, \text{ kuid } k_n \leq 1,0,$$

$$\text{kui } n < 0 \text{ (tõmmme): } k_n = 1,0,$$

$$\text{kus } n = (\sigma_{0,Ed} / f_{y0}) / \gamma_{M5}.$$

Vöö pinged liites  $\sigma_{0,Ed}$  (N/mm<sup>2</sup>) leitakse valemiga

$$\sigma_{0,Ed} = \frac{N_{0,Ed}}{A_0} + \frac{M_{0,Ed}}{W_{el,0}}, \quad (22)$$

- kus  $N_{0,Ed}$  – normaaljõu arvutusväärustus kN,  
 $A_0$  – vöövarda ristlõikepindala mm<sup>2</sup>,  
 $M_{0,Ed}$  – paindemomendi arvutusväärustus kN·m,  
 $W_{el,0}$  – ristlõike elastne vastupanumoment mm<sup>3</sup>.

Vöö lõikekandevõime  $N_{i,Rd}$  (kN) arvutatakse valemiga

$$N_{i,Rd} = \frac{f_{y0} \cdot A_v}{\sqrt{3} \cdot \sin \theta_i} / \gamma_{M5}, \quad (23)$$

- kus  $f_{y0}$  – vöövarda voolavuspiir N/mm<sup>2</sup>,  
 $\theta_i$  – võrguvarda ja vöö vaheline nurk  $^\circ$ ,  
 $\gamma_{M5}$  – sõrestiku toruprofilidest varraste liidete kandevõime osavarutegur,

$A_v$  – vöö lõikepindala  $\text{mm}^2$ , mis leitakse valemiga  $A_v = (2 \cdot h_0 + \alpha \cdot b_0) \cdot t_0$   
ja kus  $\alpha = \sqrt{\frac{1}{1 + \frac{4 \cdot g^2}{3 \cdot t_0^2}}}$

Vöö kandevõime kontroll sõlmes normaal- ja lõikejõu koosmõju suhtes teostatakse valemiga

$$N_{0,Rd} = \left[ (A_0 - A_v) \cdot f_{y0} + A_v \cdot f_{y0} \cdot \sqrt{1 - (V_{Ed} / V_{pl,Rd})^2} \right] / \gamma_{M5}, \quad (24)$$

kus	$N_{0,Rd}$	– vöö lõikekandevõime kN,
	$f_{y0}$	– vöövarda voolavuspiir $\text{N/mm}^2$ ,
	$A_0$	– vöö ristlõikepindala $\text{mm}^2$ ,
	$A_v$	– vöö lõikepindala $\text{mm}^2$ ,
	$\gamma_{M5}$	– sõrestiku toruprofilidest varraste liidete kandevõime osavarutegur,
	$V_{Ed}$	– vöö arvutuslik põikjõud sõlmes kN,
	$V_{pl,Rd}$	– vöö plastne põikjõukandevõime kN.

Vöö plastne põikjõukandevõime leitakse valemiga

$$V_{pl,Rd} = \frac{A_v \cdot (f_y / \sqrt{3})}{\gamma_{M0}}, \quad (25)$$

kus	$f_{y0}$	– vöövarda voolavuspiir $\text{N/mm}^2$ ,
	$A_v$	– vöö lõikepindala $\text{mm}^2$ ,
	$\gamma_{M0}$	– materjali osavarutegur, $\gamma_{M0} = 1,0$ .

Võrguvarda kandevõime arvutatakse valemiga

$$N_{i,Rd} = f_{yi} \cdot t_i \cdot (2 \cdot h_i - 4 \cdot t_i + b_i + b_{eff}) / \gamma_{M5}, \quad (26)$$

kus	$f_{yi}$	– võrguvarda voolavuspiir $\text{N/mm}^2$ ,
	$t_i$	– võrguvarda seinapaksus mm,
	$h_i$	– võrguvarda ristlõike laius mm,
	$b_i$	– võrguvarda ristlõike laius mm,
	$\gamma_{M5}$	– sõrestiku toruprofilidest varraste liidete kandevõime osavarutegur,
	$b_{eff}$	– võrguvarda efektiivlaius liites vööga mm, mis arvutatakse valemiga: $b_{eff} = \frac{10}{b_0/t_0} \cdot \frac{f_{y0} \cdot t_0}{f_{yi} \cdot t_i} \cdot b_i$ , kuid $b_{eff} \leq b_i$ .

Vöö liitelinna läbistuskandevõime, kontrollitakse kui  $\beta \leq (1 - 1/\gamma)$

$$N_{i,Rd} = \frac{f_{y0} \cdot t_0}{\sqrt{3} \cdot \sin \theta_i} \cdot \left( \frac{2 \cdot h_i}{\sin \theta_i} + b_i + b_{e,p} \right) / \gamma_{M5}, \quad (27)$$

- kus  $f_{y0}$  – vöövarda voolavuspiir N/mm<sup>2</sup>,  
 $t_0$  – vöö seinapaksus mm,  
 $\theta_i$  – võrguvarda ja vöö vaheline nurk °,  
 $h_i$  – võrguvarda ristlõike laius mm,  
 $b_i$  – võrguvarda ristlõike laius mm,  
 $\gamma_{M5}$  – sõrestiku toruprofilidest varraste liidete kandevõime osavarutegur,  
 $b_{e,p}$  – efektiivlaius läbistamise suhtes mm, mis arvutatakse valemiga:  $b_{e,p} = \frac{10}{b_0/t_0} \cdot b_i$ , kuid  $b_{e,p} \leq b_i$ .

### Vöö liitelinna kandevõime kontroll

Vajalikud suurused

$$N_{0,Ed} = N_{01,Ed} + N_{2,Ed} \cdot \cos \theta_2 = 0 + 490,79 \cdot \cos 30^\circ = 425037 \text{ N} = 425,04 \text{ kN}$$

$$M_{0,Ed} = N_{2,Ed} \cdot \cos \theta_2 \cdot e_2 = 490,79 \cdot \cos 30^\circ \cdot 48 = 20,40 \text{ kN} \cdot \text{m}$$

$$n = \frac{\left(\frac{\sigma_{0,Ed}}{f_{y0}}\right)}{\gamma_{M5}} = \frac{N_{0,Ed}}{A_0 \cdot f_{y0}} + \frac{M_{0,Ed}}{W_{el,0} \cdot f_{y0}} = \frac{425037}{4083 \cdot 355} + \frac{20,40 \cdot 10^6}{226300 \cdot 355} = 0,547 > 0 \text{ ja järelikult}$$

$$k_n = 1,3 - \frac{0,4 \cdot n}{\beta} = 1,3 - \frac{0,4 \cdot 0,547}{0,694} = 0,985$$

$$\gamma = \frac{b_0}{2 \cdot t_0} = \frac{180}{2 \cdot 6} = 15$$

Ülekatteta K-liite vöö liitelinade kandevõime arvutus vastavalt valemile 21

$$N_{2,Rd} = \frac{\frac{8,9 \cdot k_n \cdot f_{y0} \cdot t_0^2 \cdot \sqrt{\gamma}}{\sin \theta_2} \left( \frac{b_2 + b_3 + h_2 + h_3}{4 \cdot b_0} \right)}{\gamma_{M5}} =$$

$$= \frac{\frac{8,9 \cdot 0,985 \cdot 355 \cdot 6^2 \cdot \sqrt{15}}{\sin 30^\circ} \left( \frac{150 + 100 + 150 + 100}{4 \cdot 180} \right)}{1,0} = 602546 \text{ N} =$$

$$= 602,55 \text{ kN} > N_{2,Ed} = 490,79 \text{ kN}$$

Kandevõime tagatud.

$$\begin{aligned}
N_{3,Rd} &= \frac{\frac{8,9 \cdot k_n \cdot f_{y0} \cdot t_0^2 \cdot \sqrt{\gamma}}{\sin \theta_3} \left( \frac{b_2 + b_3 + h_2 + h_3}{4 \cdot b_0} \right)}{\gamma_{M5}} = \\
&= \frac{\frac{8,9 \cdot 0,985 \cdot 355 \cdot 6^2 \cdot \sqrt{15}}{\sin 83^\circ} \left( \frac{150 + 100 + 150 + 100}{4 \cdot 180} \right)}{1,0} = 303535 \text{ N} = \\
&= 303,54 \text{ kN} > N_{3,Ed} = 35,94 \text{ kN}
\end{aligned}$$

Kandevõime tagatud.

### Sõlme A vöö lõikekandevõime kontroll

Vajalikud abisuurused

$$\alpha = \sqrt{\frac{1}{1 + \frac{4 \cdot g^2}{3 \cdot t_0^2}}} = \sqrt{\frac{1}{1 + \frac{4 \cdot 30^2}{3 \cdot 6^2}}} = 0,171$$

$$\text{Lõikepindala } A_v = (2 \cdot h_0 + \alpha \cdot b_0) \cdot t_0 = (2 \cdot 180 + 0,171 \cdot 180) \cdot 6 = 2344 \text{ mm}^2$$

Vöö arvutuslik põikjõud sõlmes

$$\begin{aligned}
V_{2,Ed} &= N_{2,Ed} \cdot \sin \theta_2 = 490,79 \cdot \sin 30^\circ = 245,40 \text{ kN} \\
V_{3,Ed} &= N_{3,Ed} \cdot \sin \theta_3 = 31,94 \cdot \sin 83^\circ = 31,70 \text{ kN}
\end{aligned}$$

Vöö plastne põikjõukandevõime vastavalt valemile 25

$$\begin{aligned}
V_{pl,Rd} &= \frac{A_v \cdot (f_y / \sqrt{3})}{\gamma_{M0}} = \frac{2344 \cdot (355 / \sqrt{3})}{1,0} = 480424 \text{ N} = 480,42 \text{ kN} > V_{Ed} = \\
&= 245,40 \text{ kN}
\end{aligned}$$

Vöö lõikekandevõime arvutus valem 23 kohaselt

$$\begin{aligned}
N_{2,Rd} &= \frac{f_{y0} \cdot A_v}{\sqrt{3} \cdot \sin \theta_2} / \gamma_{M5} = \frac{355 \cdot 2344}{\sqrt{3} \cdot \sin 30^\circ} / 1,0 = 960979 \text{ N} = 960,98 \text{ kN} > N_{2,Ed} = \\
&= 490,79 \text{ kN}
\end{aligned}$$

Vöö kandevõime kontroll sõlmes normaal- ja lõikejõu koosmõju suhtes arvutatakse vastavalt valemile 24

$$\begin{aligned}
N_{0,2,Rd} &= \left[ (A_0 - A_v) \cdot f_{y0} + A_v \cdot f_{y0} \cdot \sqrt{1 - (V_{2,Ed} / V_{pl,Rd})^2} \right] / \gamma_{M5} = \\
&= \left[ (4083 - 2344) \cdot 355 + 2344 \cdot 355 \sqrt{1 - (245,40 / 480,42)^2} \right] / 1,0 = \\
&= 1332716 \text{ N} = 1332,72 \text{ kN} > N_{0,Ed} = 425,04 \text{ kN}
\end{aligned}$$

$$\begin{aligned}
N_{0,3,Rd} &= \left[ (A_0 - A_v) \cdot f_{y0} + A_v \cdot f_{y0} \cdot \sqrt{1 - (V_{3,Ed} / V_{pl,Rd})^2} \right] / \\
&\quad / \gamma_{M5} \left[ (4083 - 2344) \cdot 355 + 2344 \cdot 355 \sqrt{1 - (31,70 / 480,42)^2} \right] / \\
&\quad / 1,0 = 1447652 \text{ kN} = 1447,65 \text{ kN} > N_{0,Ed} = 425,04 \text{ kN}
\end{aligned}$$

## Võrguvarraste kandevõime kontroll

Vajalike abisuuruste leidmine:

$$\begin{aligned}
b_{eff,2} &= \frac{10}{b_0/t_0} \cdot \frac{f_{y0} \cdot t_0}{f_y \cdot t_2} \cdot b_2 = \frac{10}{180/6} \cdot \frac{355 \cdot 6}{355 \cdot 6} \cdot 150 = 50 \text{ mm} \leq b_2 = 150 \\
b_{eff,3} &= \frac{10}{b_0/t_0} \cdot \frac{f_{y0} \cdot t_0}{f_y \cdot t_3} \cdot b_3 = \frac{10}{180/6} \cdot \frac{355 \cdot 6}{355 \cdot 4} \cdot 100 = 50 \text{ mm} \leq b_3 = 100
\end{aligned}$$

Võrguvarraste kandevõimed arvutatakse valemiga 37

$$\begin{aligned}
N_{2,Rd} &= f_y \cdot t_2 \cdot (2 \cdot h_2 - 4 \cdot t_2 + b_2 + b_{eff,2}) / \gamma_{M5} = \\
&= 355 \cdot 6 \cdot (2 \cdot 150 - 4 \cdot 6 + 150 + 50) / 1,0 = 1013880 \text{ N} = \\
&= 1013,88 \text{ kN} > N_{2,Ed} = 490,79 \text{ kN}
\end{aligned}$$

$$\begin{aligned}
N_{3,Rd} &= f_y \cdot t_3 \cdot (2 \cdot h_3 - 4 \cdot t_3 + b_3 + b_{eff,3}) / \gamma_{M5} = \\
&= 355 \cdot 4 \cdot (2 \cdot 100 - 4 \cdot 4 + 100 + 50) / 1,0 = 474280 \text{ N} = \\
&= 474,28 \text{ kN} > N_{3,Ed} = 35,94 \text{ kN}
\end{aligned}$$

Võrguvarraste kandevõime sõlmes on tagatud.

## Sõlme A vöö liitelinna läbistuskandevõime kontroll

Vöö liitelinna kandevõimet kontrollitakse juhul, kui  $\beta \leq (1 - 1/\gamma)$

$$1 - \frac{1}{\gamma} = 1 - \frac{1}{15} = 0,933 \text{ ja } \beta = 0,694 \leq 1 - \frac{1}{\gamma} = 0,933 - \text{seega kontroll on vajalik.}$$

Vajalike abisuuruste leidmine:

$$b_{e,p2} = \frac{10}{b_0/t_0} \cdot b_2 = \frac{10}{180/6} \cdot 150 = 50 \text{ mm}$$

$$b_{e,p3} = \frac{10}{b_0/t_0} \cdot b_3 = \frac{10}{180/6} \cdot 100 = 33 \text{ mm}$$

Vöö liitepinna läbistuskandevõime arvutatakse valemiga 26

$$N_{2,Rd} = \frac{f_{y0} \cdot t_0}{\sqrt{3} \cdot \sin \theta_2} \cdot \frac{\left( \frac{2 \cdot h_2}{\sin \theta_2} + b_2 + b_{e,p2} \right)}{\gamma_{M5}} = \frac{355 \cdot 6}{\sqrt{3} \cdot \sin 30^\circ} \cdot \frac{\left( \frac{2 \cdot 150}{\sin 30^\circ} + 150 + 50 \right)}{1,0} = \\ = 1967610 \text{ N} = 1967,60 \text{ kN} > N_{2,Ed} = 490,79 \text{ kN}$$

$$N_{3,Rd} = \frac{f_{y0} \cdot t_0}{\sqrt{3} \cdot \sin \theta_3} \cdot \frac{\left( \frac{2 \cdot h_3}{\sin \theta_3} + b_3 + b_{e,p3} \right)}{\gamma_{M5}} = \frac{355 \cdot 6}{\sqrt{3} \cdot \sin 83^\circ} \cdot \frac{\left( \frac{2 \cdot 100}{\sin 83^\circ} + 100 + 33 \right)}{1,0} = \\ = 414445 \text{ N} = 414,44 \text{ kN} > N_{3,Ed} = 35,94 \text{ kN}$$

Vöö liitepinna läbistuskandevõime on tagatud.

Seega on sõlme A vasaku poole kandevõime kõigi võimalike purunemisviiside seisukohalt tagatud. Kõige väiksema tagavaraga on tulemus vöö liitepinna kandevõime arvutusele sõlme tömmatud diagonaali suhtes, kus  $\frac{N_{2,Ed}}{N_{2,Rd}} = \frac{490,79 \text{ kN}}{602,54 \text{ kN}} = 0,815 = 81,5 \%$ .

### 3.7 Tõmbejätku kontroll

Fermi F-1 alumises vöös on kaks sümmeetrilise asetusega tõmbejätku. Fermi F-1 tõmbejätk on nihkejõuga koormatud A-klassi poltliide, mille kandevõimet kontrollitakse vastavalt standardile EVS-EN 1993-1-8:2006 „Eurokoodeks 3: Teraskonstruktsioonide projekteerimine. Osa 1-8: Liidete projekteerimine“ [20]. Käesolevas töös kontrollitakse tõmbejätku fermi projekteeritava ventilatsioonikambriga poolel ehk poolel, kus tekivad konstruktsiooni suuremad sisejõud.

### 3.7.1 Poltiide

#### Poldiaukude asetus

Poldiaukude otsa- ja vahekaugused peavad piki jõu mõjusuunda vastama tingimustele

$$e_1 \geq 1,2 \cdot d_0 \quad (28)$$

ja

$$p_1 \geq 2,2 \cdot d_0, \quad (29)$$

- kus       $e_1$       – poldiaugu otsakaugus,  
            $p_1$       – tsentrite vahekaugus,  
            $d_0$       – poldiaugu läbimõõt.

Poldiaukude ääre- ja vahekaugused peavad risti jõu mõjusuunda vastama tingimustele

$$e_2 \geq 1,2 \cdot d_0 \quad (30)$$

ja

$$p_2 \geq 2,4 \cdot d_0, \quad (31)$$

- kus       $e_2$       – poldiaugu äärekaugus,  
            $p_2$       – tsentrite vahekaugus,  
            $d_0$       – poldiaugu läbimõõt.

Fermi F-1 tõmbejätk ja poltide asetus on toodud joonisel 3.12.

Fermi F-1 poldiaukude asetuse kontroll vastavalt valemitel 28 kuni 31

$$e_1 = e_2 = 40 \text{ mm} > 1,2d_0 = 1,2 \cdot 26 = 31,2 \text{ mm} \rightarrow \text{OK!}$$

$$p_1 = 90 \text{ mm} > 2,2d_0 = 2,2 \cdot 26 = 57,2 \text{ mm} \rightarrow \text{OK!}$$

$$p_2 = 100 \text{ mm} > 2,4d_0 = 2,4 \cdot 26 = 62,4 \text{ mm} \rightarrow \text{OK!}$$

Fermi F-1 poldiaukude asetus vastab standardis EVS-EN 1993-1-8:2006 esitatud tingimustele.

#### Poltiite kandevõime

Iga poldi puhul peavad olema täidetud tingimused

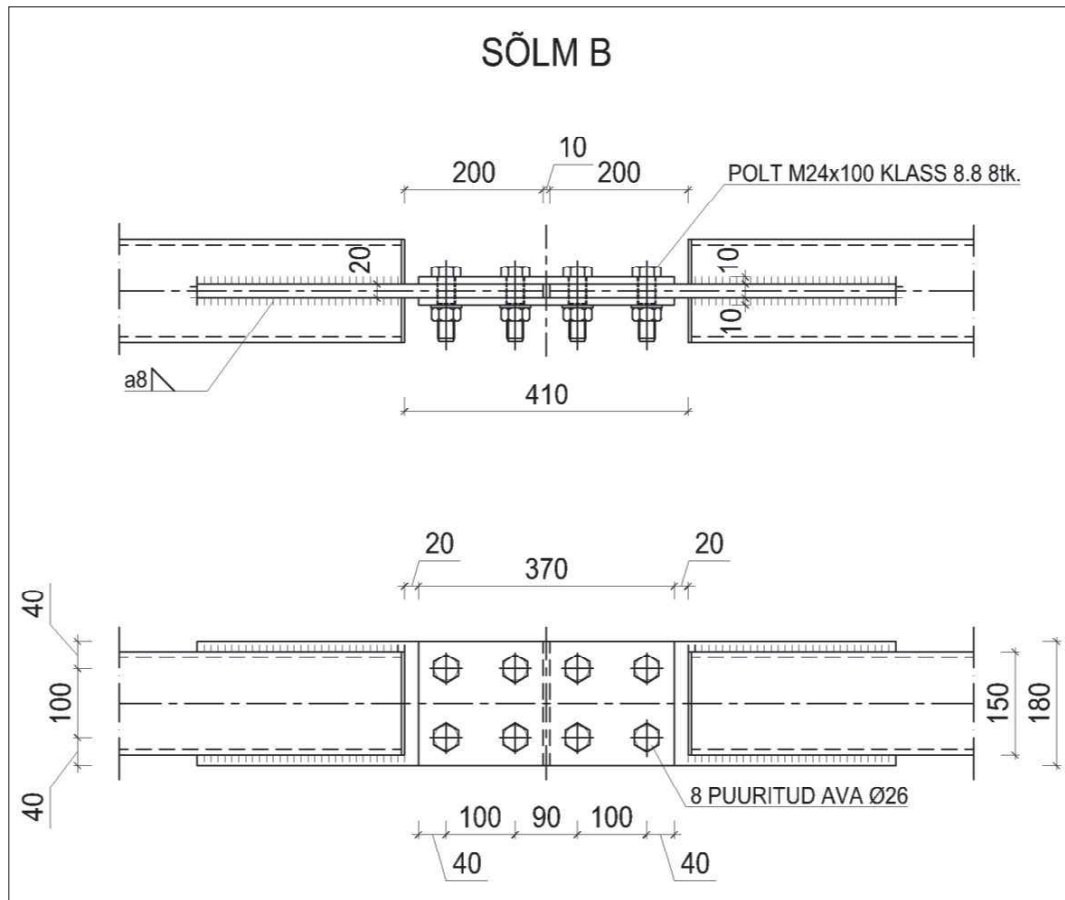
$$F_{v,Ed} \leq F_{v,Rd}, \quad (32)$$

$$F_{v,Ed} \leq F_{b,Rd}, \quad (33)$$

kus  $F_{v,Ed}$  – poldi ühes töötavas lõikes või ühes suunas toimivas muljumispinnas mõjuv arvutuslik jõud kN,

$F_{v,Rd}$  – poldi arvutuslik kandevõime ühes töötavas lõikes kN,

$F_{b,Rd}$  – poldi ühe muljumispinna arvutuslik muljumiskandevõime kN.



Joonis 3.12. Fermi F-1 tõmbejätk

Poldi ühe lõike arvutuslik lõiketugevus  $F_{v,Rd}$  (kN) arvutatakse valemiga

$$F_{v,Rd} = \frac{\alpha_v \cdot f_{ub} \cdot A}{y_{M2}}, \quad (34)$$

kus  $f_{ub}$  – poldi normatiivne tõmbetugevus N/mm<sup>2</sup>,

$A$  – poldi keermestamata osa ristlõikepindala mm<sup>2</sup>,

$y_{M2}$  – poldi materjali osavarutegur,  $y_{M2} = 1,25$ ,

$\alpha_v$  – poldi tugevusklassi arvestav tegur,  $\alpha_v = 0,6$ .

Poldiaugu serva muljumiskandevõime  $F_{b,Rd}$  (kN) arvutatakse valemiga

$$F_{b,Rd} = \frac{k_1 \cdot \alpha_b \cdot f_u \cdot d \cdot t}{y_{M2}}, \quad (35)$$

- kus       $f_u$     – ühendava elemendi terase normatiivne tömbetugevus N/mm<sup>2</sup>,  
            $d$     – poldi läbimõõt mm,  
            $t$     – ühes suunas töötavate ühendatavate elementide väikseim kogupaksus,  
            $y_{M2}$     – poldi materjali osavarutegur,  $y_{M2} = 1,25$ ,  
            $\alpha_b$     – väikseim suurustest  $\alpha_d$ ;  $\frac{f_{ub}}{f_u}$ ; 1,0.

$\alpha_d$  arvutatakse jõu mõjumise suunas järgmiselt:

- otsmistel poltidel  $\alpha_d = \frac{e_1}{3d_0}$ ,
- muudel poltidel  $\alpha_d = \frac{p_1}{3d_0} - \frac{1}{4}$ .

- $k_1$     – arvutatakse järgmiselt:
- äärmistel poltidel  $k_1$  on väikseim suurustest  $2,8 \cdot \frac{e_2}{d_0} - 1,7$  ja 2,5,
  - muudel poltidel  $k_1$  on väikseim suurustest  $1,4 \cdot \frac{p_2}{d_0} - 1,7$  ja 2,5.

Fermi F-1 tömbejätkus on kaheksa M24x100 klass 8.8 polti normatiivse voolavuspiiriga  $f_{yb}=640$  N/mm<sup>2</sup> ja normatiivse tömbetugevusega  $f_{ub}=800$  N/mm<sup>2</sup>. Poltide M24 keermestamata osa brutopindala  $A=452$  mm<sup>2</sup> ja keermestatud osa netopindala  $A_s=352$  mm<sup>2</sup>. Liite ühendavaks elemendiks on teraslehed normatiivse tömbetugevusega  $f_u=490$  N/mm<sup>2</sup>, ühendatavate elementide väikseim kogupaksus on  $t=20$  mm.

Poldi ühe lõike arvutuslikku lõiketugevust kontrollitakse vastavalt valemile 34

$$F_{v,Rd} = \frac{\alpha_v \cdot f_{ub} \cdot A}{y_{M2}} = \frac{0,6 \cdot 800 \cdot 452}{1,25} = 173568 \text{ N} = 173,57 \text{ kN}$$

Poltide summaarne lõiketugevus kokku arvutatakse

$$\sum F_{v,Rd} = 8 \cdot F_{v,Rd} = 8 \cdot 173,57 = 1388,54 \text{ kN} > F_{v,Ed} = 668,03 \text{ kN}$$

Poltide lõikekandevõime on tagatud.

Poldiaugu serva muljumiskandevõime arvutatakse vastavalt valemile 35

Vajalikud abisuurused määräatakse seostest:

otsmistel poltidel  $\alpha_b = \alpha_d$ , sest  $\alpha_d = \frac{e_1}{3d_0} = \frac{40}{3 \cdot 26} = 0,513 < \frac{f_{ub}}{f_u} = \frac{800}{490} = 1,633$  ja  $\alpha_d = \frac{e_1}{3d_0} = \frac{40}{3 \cdot 26} = 0,513 < 1$ ;

äärmistel poltidel  $k_1 = 2,5$ , sest  $2,8 \frac{e_2}{d_0} - 1,7 = 2,8 \cdot \frac{100}{26} - 1,7 = 2,608 > 2,5$ .

Poldiaugu serva muljumiskandevõime leitakse

$$F_{b,Rd} = \frac{k_1 \cdot \alpha_b \cdot f_u \cdot d \cdot t}{\gamma_{M2}} = \frac{2,5 \cdot 0,513 \cdot 490 \cdot 24 \cdot 20}{1,25} = 241315 \text{ N} = 241,32 \text{ kN}$$

ja poldiaukude serva summaarne muljumiskandevõime

$$\sum F_{b,Rd} = 4 \cdot F_{b,Rd} = 4 \cdot 241,32 = 964,92 \text{ kN} > F_{v,Ed} = 668,03 \text{ kN}$$

Fermi F-1 tõmbejätku poldiaugu serva muljumiskandevõime on tagatud.

### Ühendava teraslehe kandevõime

Teraslehe brutoristlõige on  $A = 180 \cdot 20 = 3600 \text{ mm}^2$  ja netoristlõige on  $A_{net} = 20 \cdot (180 - 2 \cdot 26) = 2560 \text{ mm}^2$ .

Teraslehe kandevõimet kontrollitakse valemite 13 ja 14 kohaselt, mille järgi brutoristlõike arvutuslik plastne kandevõime on

$$N_{Pl,Rd} = \frac{A \cdot f_y}{\gamma_{M0}} = \frac{3600 \cdot 355}{1,0} = 1278000 \text{ N} = 1278 \text{ kN}$$

ja netoristlõike tõmbekandevõime kinnitusvahendite aukude kohal

$$N_{u,Rd} = \frac{0,9 \cdot A_{net} \cdot f_u}{\gamma_{M2}} = \frac{0,9 \cdot 2560 \cdot 510}{1,25} = 940032 \text{ N} = 940,03 \text{ kN}$$

Määrvaks saab netoristlõike tõmbekandevõime kinnitusvahendite aukude kohal. Tõmbekandevõimet kontrollitakse vastavalt tingimusele 12:

$$\frac{N_{Ed}}{N_{u,Rd}} = \frac{668,03}{940,03} = 0,711 \leq 1,0$$

Ühendava teraslehe tõmbekandevõime on tagatud.

## Keevisliite kandevõime

Nurkõmbluse kandevõime määramisel lihtsustatud meetodil peab õmbluse mistahes kohas selle ühikpikkusele mõjuvate jõudude resultant rahuldama tingimust

$$F_{w,Ed} \leq F_{w,Rd}, \quad (36)$$

- kus  $F_{w,Ed}$  – nurkõmbluse ühikpikkusele mõjuv arvutuslik jõud kN;  
 $F_{w,Rd}$  – nurkõmbluse arvutuslik kandevõime pikkusühiku kohta kN.

Õmbluse ühikpikkuse arvutuslik kandevõime  $F_{w,Rd}$  (kN) leitakse valemiga

$$F_{w,Rd} = f_{vw,d} \cdot a, \quad (37)$$

- kus  $f_{vw,d}$  – nurkõmbluse ühikpikkusele mõjuv arvutuslik jõud kN,  
 $a$  – keevisõmbluse efektiivkõrgus mm.

Keevise arvutuslik nihketugevus  $f_{vw,d}$  ( $\text{N/mm}^2$ ) leitakse valemiga

$$f_{vw,d} = \frac{f_u / \sqrt{3}}{\beta_w \cdot \gamma_{M2}}, \quad (38)$$

- kus  $f_u$  – nõrgima liidetava elemendi normatiivne tõmbetugevus  $\text{N/mm}^2$ ,  
 $\beta_w$  – nurkõmbluse korrelatsioonitegur, teras S355 korral  $\beta_w = 0,9$ ,  
 $\gamma_{M2}$  – materjali osavarutegur,  $\gamma_{M2} = 1,25$ .

Ehituskonstruktori käsiraamatu järgi leitakse nurkõmbluse arvutuslik kandevõime  $F_{vw,Rd}$  (kN) valemiga

$$F_{vw,Rd} = l_w \cdot a \cdot f_{vw,Rd}, \quad (39)$$

- kus  $f_{vw,d}$  – nurkõmbluse ühikpikkusele mõjuv arvutuslik jõud kN,  
 $a$  – keevisõmbluse efektiivkõrgus mm,  
 $l_w$  – nurkõmbluse töötav pikkus, mis leitakse õmbluse kogupikkus  $l = 2 \cdot a$ ,

lisaks kehtib tingimus  $l_w \geq \begin{cases} 6 \cdot a \\ 30 \text{ mm} \end{cases}$

Keevisõmbluse efektiivkõrgus on  $a=8 \text{ mm}$  (jooniselt 3.12.).

Liite keevisõmbluse arvutuslik nihketugevus vastavalt valemile 38 arvutatakse järgmiselt:

$$f_{vw,d} = \frac{f_u / \sqrt{3}}{\beta_w \cdot \gamma_{M2}} = \frac{510 / \sqrt{3}}{0,9 \cdot 1,25} = 261,73 \frac{\text{N}}{\text{mm}^2}$$

Nurkõmbluse töötav pikkus  $l_w = 4 \cdot (300 \text{ mm} - 2 \cdot a) = 4 \cdot (300 - 2 \cdot 8) = 1136 \text{ mm}$

Nurkõmbluse arvutuslik kandevõime vastavalt valemile 39 arvutatakse järgmiselt:

$$F_{vw,Rd} = l_w \cdot a \cdot f_{vw,Rd} = 1136 \cdot 8 \cdot 261,73 = 2378622 \text{ N} = 2378,62 \text{ kN} > F_{w,Ed} = 668,03 \text{ kN}$$

Tõmbejätku keevisliite kandevõime on tagatud.

Poltliite kandevõime tervikuna on tagatud. Kõige väiksema tagavaraga on tulemus ühen-dava teraslehe netoristlõike tõmbekandevõimele kinnitusvahendite aukude kohal, kus

$$\frac{N_{Ed}}{N_{u,Rd}} = \frac{668,03}{940,03} = 0,711 = 71,1\%.$$

## KOKKUVÕTE

Käesoleva magistritöö eesmärgiks oli Tartu kesklinnas asuva ajaloolise turuhoone siseruumide uue arhitektuurse lahenduse koostamine ja kontrollarvutuste teostamine sama hoone katusefermi kandevõimel täiendavate koormuste lisamise suhtes.

Antud töö sisu jaguneb kolmeks suureks alapeatükiks, mille koostamise käigus täideti järgnevad ülesanded:

1. Koostati kultuuriväärtuslikule hoonele muinsuskaitse eritingimused, mille jaoks tutvus töö autor erineva teemaalase kirjandusega ning Tartu Linnaarhiivis ja Eesti Rahvusarhiivis leiduvate säilikutega.
2. Arhitektuursete jooniste koostamiseks viidi läbi hoone ülesmõõdistamine. Suheldes tihedalt tellijaga töötati välja olemasoleva hoone võimalusi ning tellija soove arvestav arhitektuurne ruumiprogramm ja teostati sellele vastavad arhitektuursed joonised ning koostati projekti seletuskiri eelprojekti staadiumis.
3. Kontrolliti turuhoone põhiahalli olemasoleva katuse terasfermi elementide kandevõimet sellele toetuvast uuest ventilatsionikambrist tulenevatele lisakoormustele.

Lõputööna esitletud projekt omab praktilist väärust, sest kõiki selle sisulisi osasid kasutatakse ka AS Tartu Turg poolt tellitud ARC Projekt OÜ 2017. aasta tööst „Tartu turuhoone siseruumide restaureerimise ja remondi ning tehnosüsteemide tööprojekt“.

## KIRJANDUSE LOETELU

1. Tartu V. Ülevaade linnavalitsuse tegevusest 1936/37. a. Jooni Tartu ajaloost ja kau-bandusest. Statistikat. / Tartu linna statistikabüroo. Tartu : OÜ Ilutrükk, 1938.
2. Rahvusarhiiv [edaspidi RA], ERA.2966.5.589 (Aruanne Tartu turuhoone ehitamise kohta 1936-1937).
3. Eesti kunsti ajalugu: 5, 1900-1940. / M. Kalm. Tallinn : Eesti Kunstiakadeemia, 2010.
4. Eesti arhitektuur: 4, Tartumaa, Jõgevamaa, Valgamaa, Võrumaa, Põlvamaa / V. Raam. Tallinn : Valgus, 1999.
5. Onton, V., Tippel, V. Tartu turuhoone joonised. Tartu, 1937. (asukoht Tartu LV arhitektuuri- ja ehitusosakonna arhiiv)
6. RA, ERA.2966.5.578 (Turuhoone ehitustööde joonised).
7. RA, ERA.2966.5.580 (Turuhoone aluse projektid).
8. RA, ERA.2966.5.581(Turuhoone ehitustööde keldri põrandate ja lagede detailjooni-sed).
9. RA, ERA.2966.5.577 (Turuhoone ehitustööde joonised).
10. Tartus, Turuplatsil asuva turuhoone taastamis-remonttöödeks töödekirjeldus ja eelarve rahaline arvutus / Tartu Linna Täitevkonitee Kaubandus Osakond. Tartu, 1945. (asukoht Tartu LV linnaplaneerimise ja maakorralduse osakonna arhiiv)
11. Suuder, O. Muinsuskaitse eritingimused Tartu turuhoone küttesüsteemi vahetami-seks ja siseruumi kujundamiseks. ARC Projekt OÜ, Tartu, 2011. (asukoht ARC Pro-jeekt OÜ arhiiv)
12. Martis, E. Tartu linnas, Turuhoone kaubalifti tõstevõimega 500 kg tööjoonised. Tartu, 1963. (asukoht Tartu LV arhitektuuri- ja ehitusosakonna arhiiv)
13. Tartu LV linnaplaneerimise ja maakorralduse osakonna arhiiv, 126-00-II (AS TARI projekt „Tartu turuhoone lihahalli katus“ töö number TR-030-00, mai 2000).
14. Ehitusseadustik. (Vastu võetud 11.02.2015, muudetud, täiendatud, viimati jõustunud 01.03.2017). Elektrooniline Riigi Teataja [WWW] <https://www.riigiteataja.ee/akt/125012017007> (24.05.2017)
15. Muinsuskaitseeadus (Vastu võetud 27.02.2002, muudetud, täiendatud, viimati jõus-tunud 01.07.2015). Elektrooniline Riigi Teataja [WWW] <https://www.riigiteataja.ee/akt/123032015128> (24.05.2017)

16. Ehitise tehniliste andmete loetelu ja arvestamise alused. Majandus- ja taristuministri määrus nr 57 (Vastu võetud 05.05.2015, muudetud, täiendatud, viimati jõustunud 01.07.2015). Elektrooniline Riigi Teataja [WWW] <https://www.riigiteataja.ee/akt/110062015008> (24.05.2017)
17. Nõuded ehitusprojektile. Majandus ja taristuministri määrus nr 97 (Vastu võetud 17.07.2015, muudetud, täiendatud, viimati jõustunud 21.07.2015) Elektrooniline Riigi Teataja [WWW] <https://www.riigiteataja.ee/akt/118072015007> (24.05.2017)
18. Ehitusprojekti kirjeldus. Osa 1: Eelprojekti seletuskiri : EVS 865-1:2013. Eesti Standardikeskus, 2013.
19. Ehitisele esitatavad tuleohutusnõuded ja nõuded tuletörje veevarustusele. Siseministri määrus nr 17 (Vastu võetud 30.03.2017, muudetud, täiendatud, viimati jõustunud 07.04.2017) Elektrooniline Riigi Teataja [WWW] <https://www.riigiteataja.ee/akt/104042017014> (24.05.2017)
20. Ehitiste tuleohutus. Osa 7: Ehitistele esitatava põhinõude, tuleohutusnõude tagamine projekteerimise ja ehitamise käigus : EVS 812-7:2008. Eesti Standardikeskus, 2008.
21. Evakuatsiooni hädavalgustussüsteemid : EVS-EN-50172:2005. Eesti Standardikeskus, 2004.
22. Ehitise tuleohutus. Osa 6: Tuletörje veevarustus : EVS-812-6:2012. Eesti Standardikeskus, 2012.
23. Ehituskonstruktori käsiraamat. / T. Masso. 4. parandatud trükk. Ehitame, 2014.
24. Eurokoodeks. Ehituskonstruktsoonide projekteerimise alused : EVS-EN 1990:2002+NA:2002. Eesti Standardikeskus, 2003.
25. Eurokoodeks 1: Ehituskonstruktsoonide koormused. Osa 1-1:Üldkoormused. Muhakaalud, omakaalud, hoonete kasuskoormused : EVS-EN-1-1:2002+NA:2002. Eesti Standardikeskus.
26. Eurokoodeks 1: Ehituskonstruktsoonide koormused. Osa 1-3: Üldkoormused. Luomekoormus : EVS-EN 1991-1-3:2006. Eesti Standardikeskus, 2006.
27. Eurokoodeks 1: Ehituskonstruktsoonide koormused. Osa 1-4: Üldkoormused. Tuulekoormus : EVS-EN 1991-1-4:2007. Eesti Standardikeskus, 2007.
28. Eurokoodeks 3: Teraskonstruktsoonide projekteerimine. Osa 1-1, Üldreeglid ja reeglid hoonete projekteerimiseks : EVS-EN 1993-1-1:2005+A1:2014+NA:2015. Eesti Standardikeskus, 2015.

29. Eurokoodeks 3: Teraskonstruktsioonide projekteerimine. Osa 1-8, Liidete projekteerimine : EVS-EN 1993-1-8:2006. Eesti standardikeskus, 2006.

## **Lisa 1. Muinsuskaitse eritingimuste lisad**

### **Lisa 1.1. Asendiplaan**



**Joonis 13** Turuhoone asendiplaan (allikas: Maa-ameti kaardiserver)

## Lisa 1.2. Ajaloolised fotod



Joonis 14 Turuhoone (arh. V. Tippel). Tartu, 1939., TM F 84:21, Tartu Linnamuuseum,

<http://muis.ee/museaalview/1830650>



Joonis 15 Tartu linnavaade. Turuhoone. 1960ndatel., TM F 549:23, Tartu Linnamuuseum,

<http://muis.ee/museaalview/3184805>



**Joonis 16** Vaade Uueturu tänavale: turuhoone (vasakul) ja Bürgermusse seltsimaja varemed. Tartu, 1941-1944., TM F 1522:8, Tartu Linnamuuseum, <http://muis.ee/museaalview/3058859>

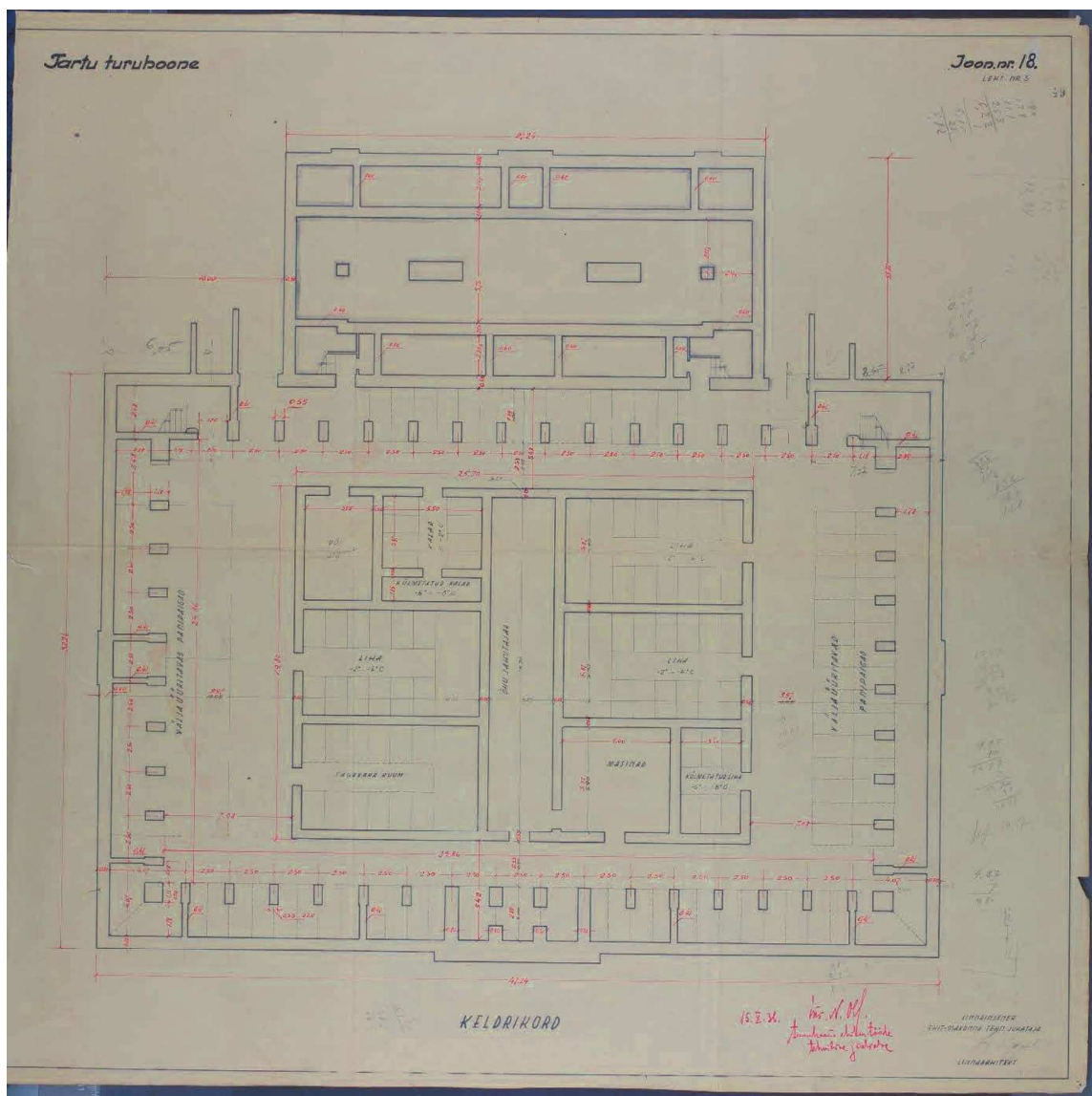


**Joonis 17** Turukaubamaja Tartus Nädal Pildis nr 4, 1938. Lk 7

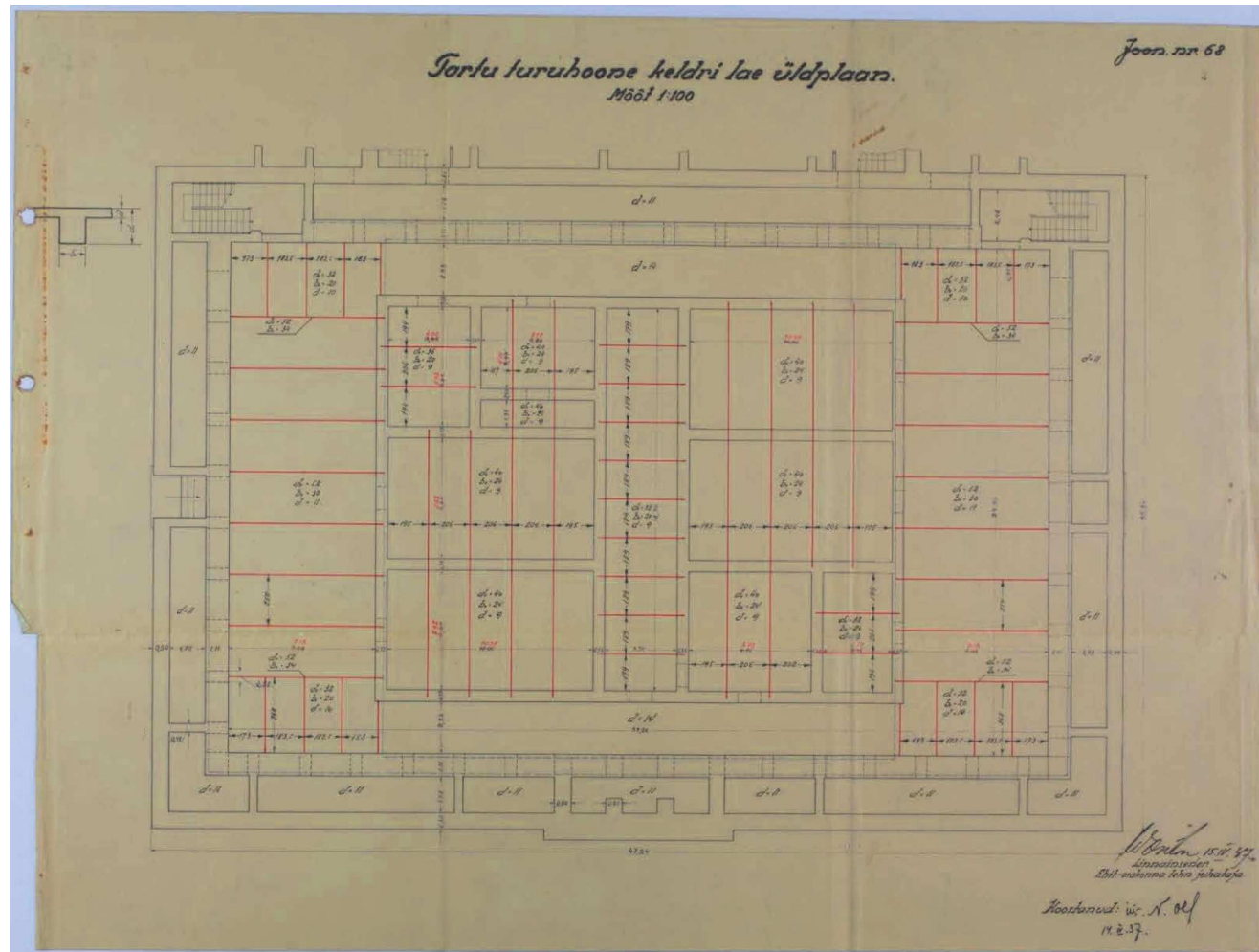


**Joonis 18** Tartu turukaubamaja. Nädal Pildis nr 4, 1938. Lk 74

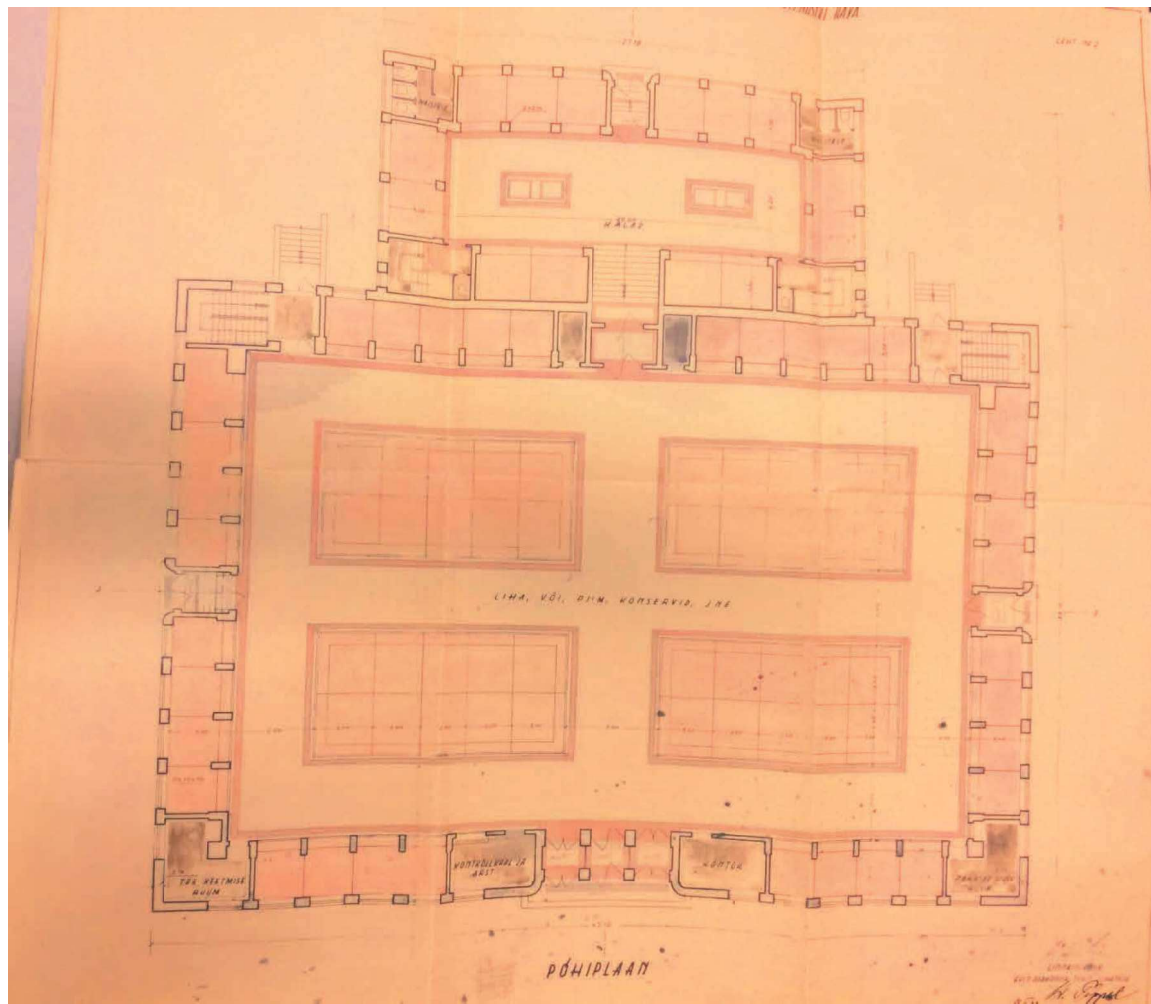
**Lisa 1.3. Ajaloolised joonised**



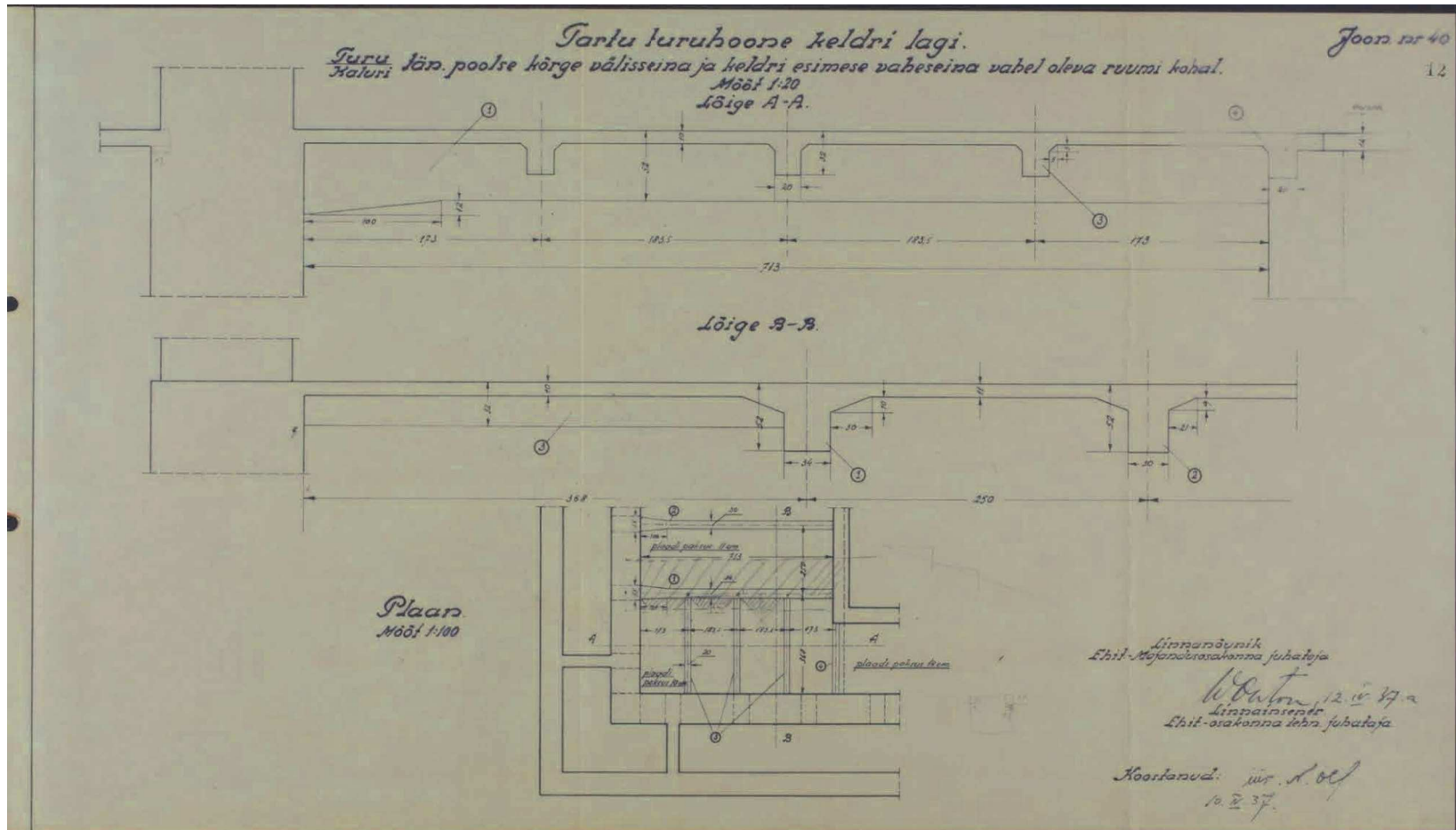
**Joonis 19 Keldrikorruse plaan. (RA, ERA.2966.5.578)**



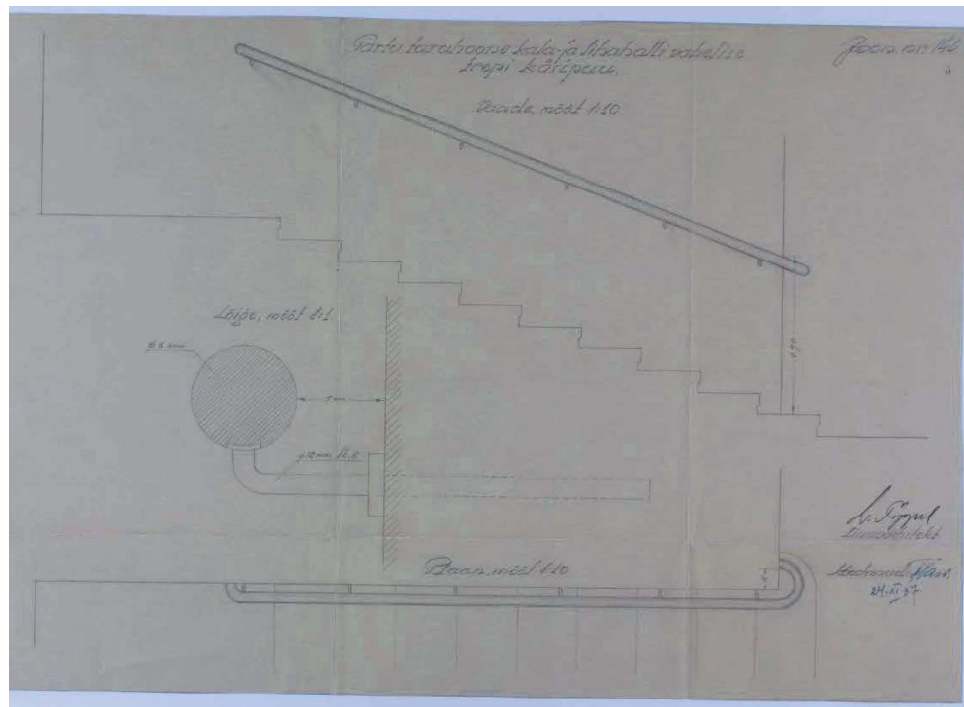
Joonis 20 Keldri lae üldplaan, vahelae paksused ja talade asukohad. (RA, ERA.2966.5.581)



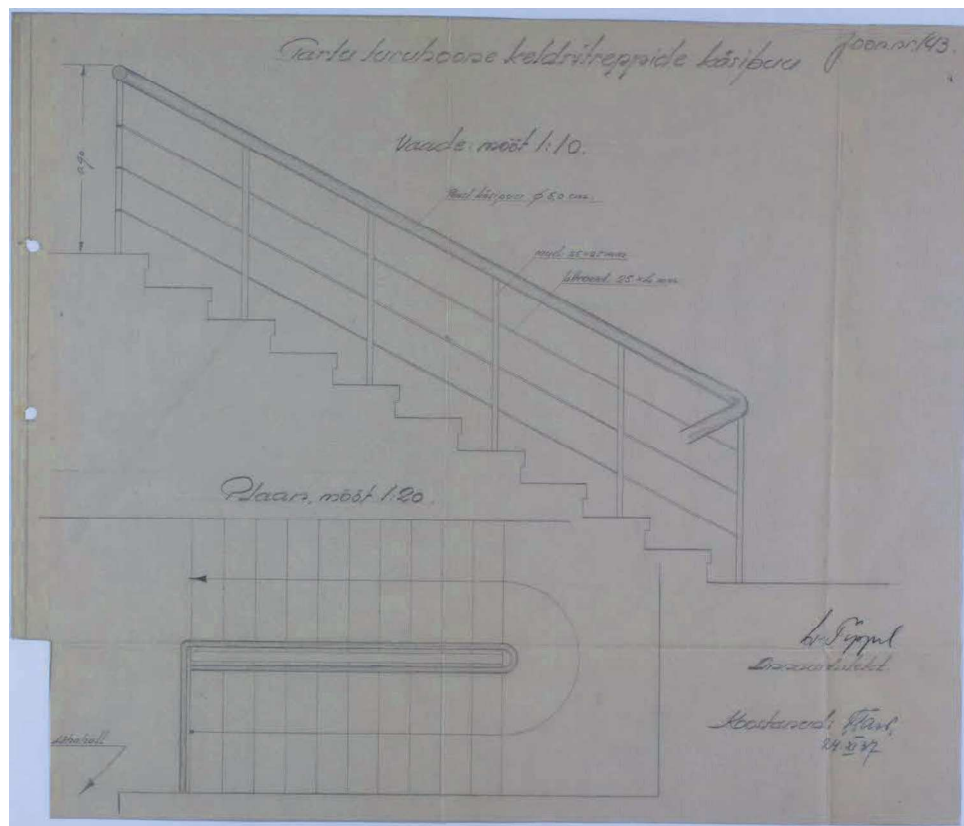
Joonis 21 Põhikorruse plaan (Tartu LV arhitektuuri- ja ehitusosakonna arhiiv)



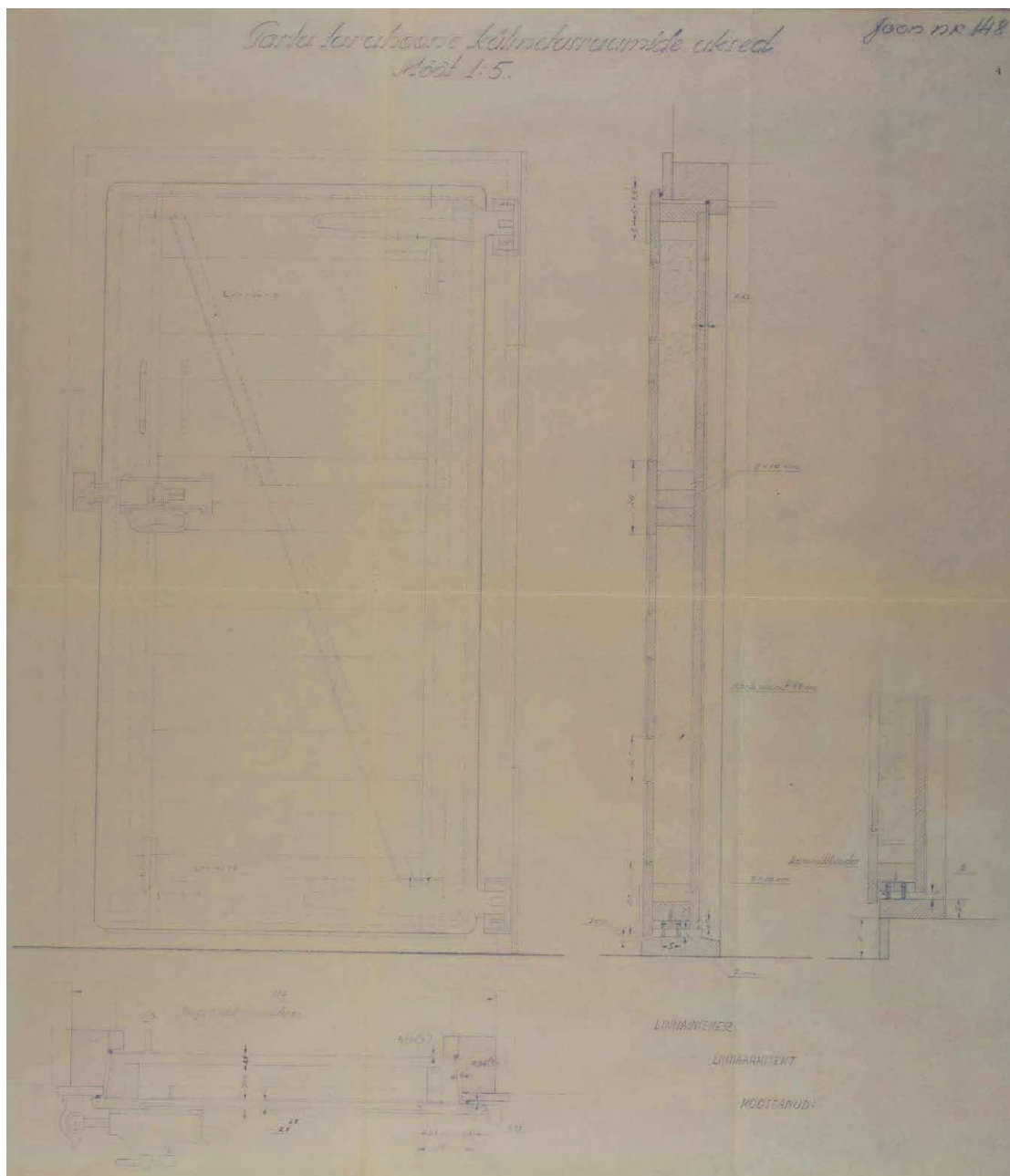
Joonis 22 Keldri lae konstruktsioonide detail. (RA, ERA.2966.5.578)



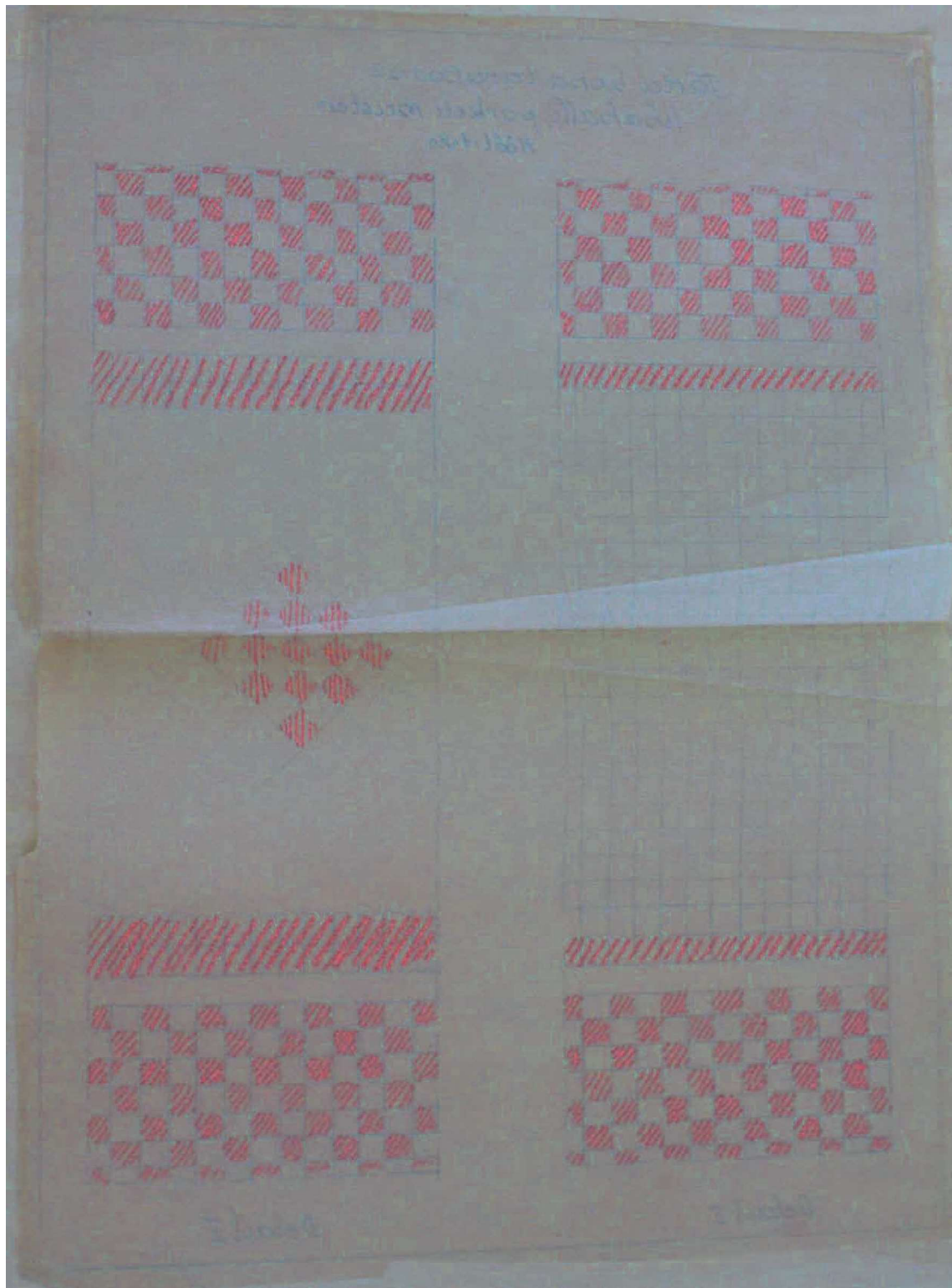
Joonis 23 Tartu turuhoone kala- ja lihahalli vahelise trepi käspuu. (RA, ERA.2966.5.581)



Joonis 24 Tartu turuhoone keldritreppide käspuu (ERA.2966.5.581)



**Joonis 25** Ajaloolis kühmruumi ukse joonis. (RA, ERA.2966.5.577)



**Joonis 26** Tartu linna turuhoone lihahalli parketi muster (asukoht Tartu LV arhitektuuri- ja ehitusosakonna arhiiv)

**Lisa 1.4. Fotod olemasolevast olukorrast**



**Foto 1** Vaade lihahallile



**Foto 2** Lihahalli sisemised peauksed



Foto 3 Liftišaht põhhallis



Foto 4 Põhhalli olemasolev põrand



Foto 5 Vabaduse puiestee ja Riia maantee poolne põhhalli trepikoda



Foto 6 Trepikäsipluu detail



Foto 7 Kalahalli pääs



Foto 8 Olemasolev külmkamber lihahallis



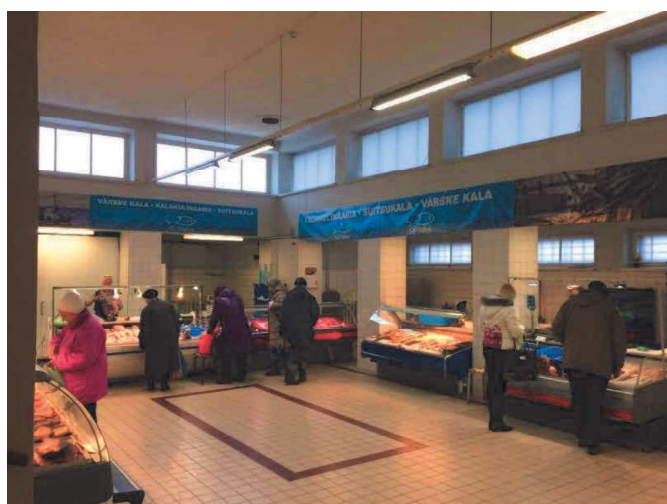
Foto 9 Metlahh-plaatidest põrand kala- ja põhihalli vahelises koridoris



**Foto 10** Trepikäsipuu kala- ja põhihalli vahelisel trepil



**Foto 11** Trepikäsipuu detail



**Foto 12** Vaade kalahallile



**Foto 13** Vaade kalahallile



**Foto 14** Kala- ja põhihalli vaheline trepp vaadatuna kalahallist



**Foto 15** Kalahalli Vabaduse puiestee poolne trepp



**Foto 16** Säilinud metlahhplaatidest põrand kalahalli Vabaduse puiestee poolses trepikojas



**Foto 17** Trepikäsipuu kalahalli Emajõe poolses trepikojas



**Foto 18** Säilinud metlahhplaatidest põrand kalahalli Vabaduse puiestee poolses trepikojas



**Foto 19** Kalahalli Vabaduse puiestee poolse trepi käsipuu



**Foto 20** Vaade koridorile keldris



**Foto 21** Vaade koridorile keldris



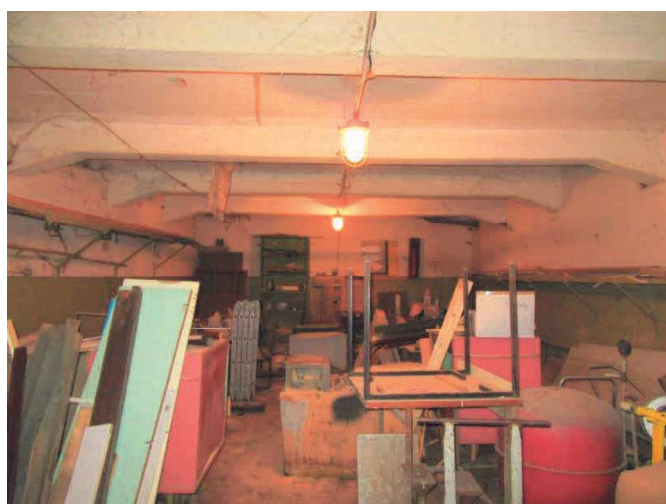
**Foto 22** Olemasolevad kanalisatsioonitorustikud keldris



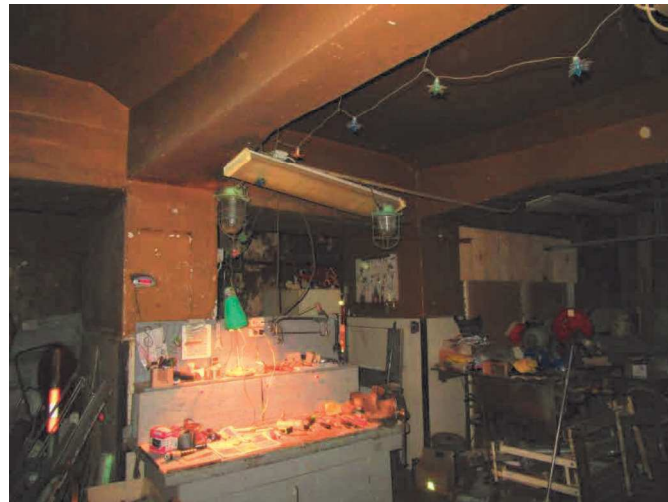
**Foto 23** Lift keldris



**Foto 24** Keldri vahelae raudbetoonkonstruktsioon



**Foto 25** Vaade ruumi 045. Vahelae kandekonstruktsioon



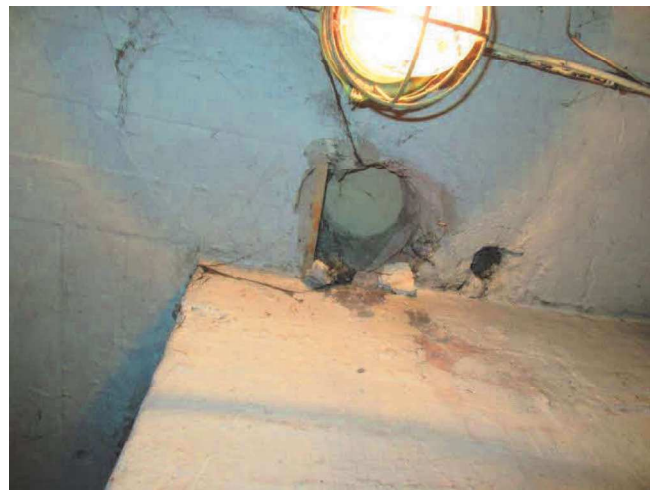
**Foto 26** Ruum 034. Vahelae kandekonstruktsioonid



**Foto 27** Keldris olemasoleva külmruumi uks



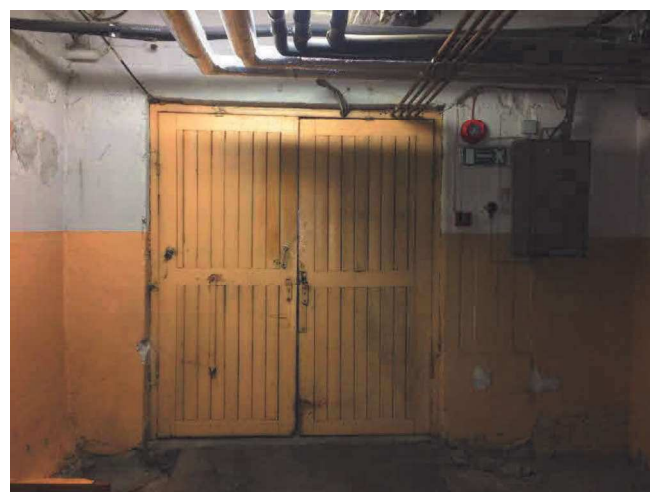
**Foto 28** Vaade ruumi number 040. Näha on konstruktsioon liha riputamiseks



**Foto 29** Olemasolev kasutuseta läbiviik keldri vahelaes ruumis number 028



**Foto 30** Näriliste poolt tekitatud kahjustused endise külmaruumi isolatsioonimaterjalis ruumis number 041



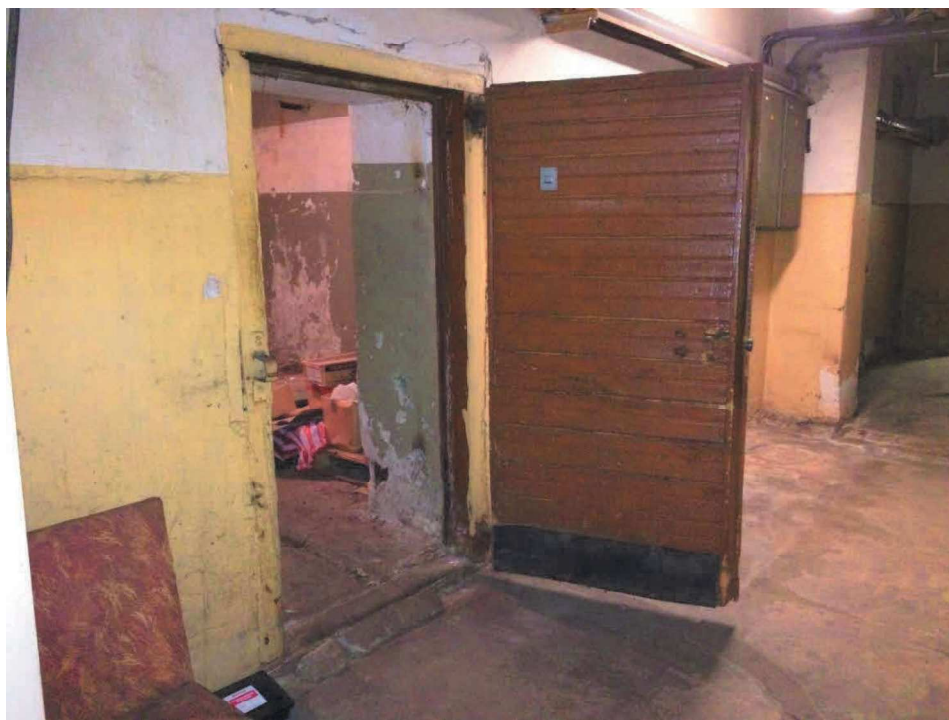
**Foto 31** Vaade pääsust Emajõe poolsele kaldteele, uks number 030



**Foto 32** Nõukogude perioodist säilinud kahepoolne laoruumi uks



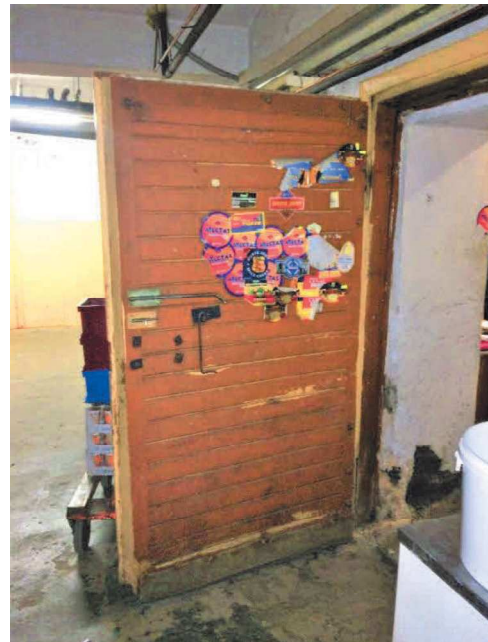
**Foto 33** Säilinud algupärane külmruumi uks (number 032)



**Foto 34** Säilinud algupärane külmruumi uks (number 032)



**Foto 35** Säilinud algupärane külmkambri uks  
(number U 038)



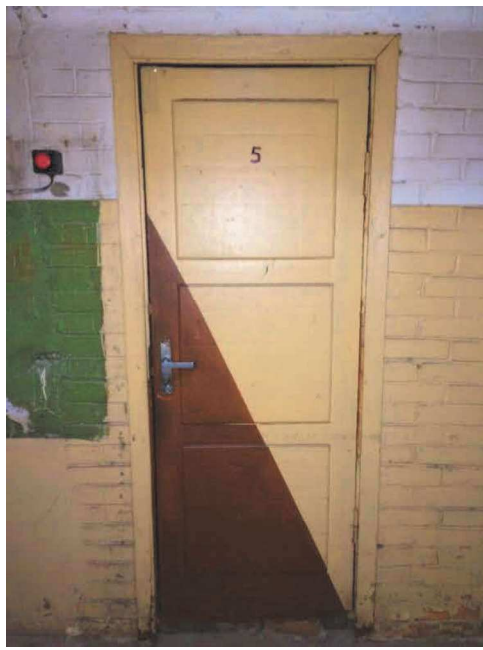
**Foto 36** Säilinud algupärane külmkambri uks  
(number U 038)



**Foto 37** Kultuuriväärtuslik uks (nr 022)



**Foto 38** Kultuuriväärtuslik uks (nr 019)



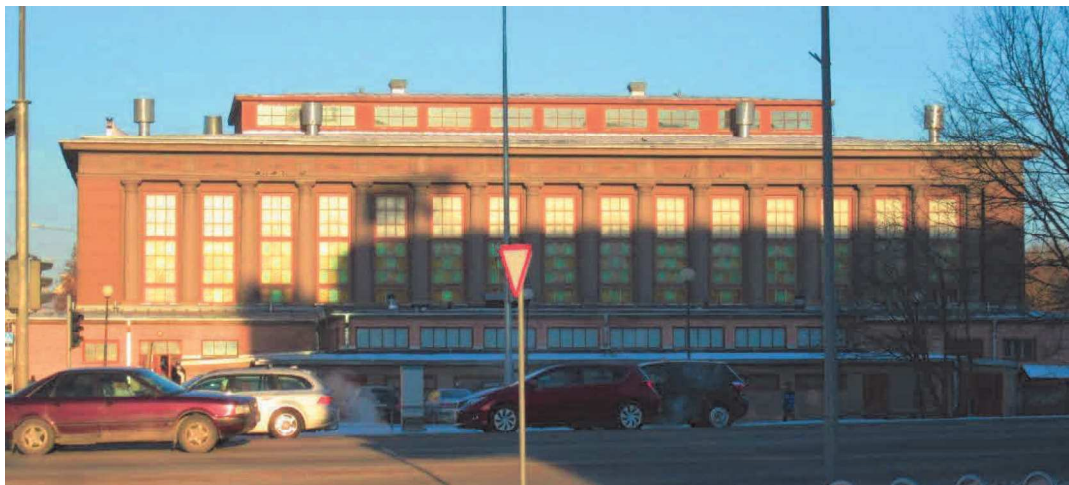
**Foto 39** Säilinud laoruumi uks (nr 005)



**Foto 40** Vaade lihahalli idapoolsele välisuksele ja trepile



**Foto 41** Vaade kalahalli Emajõe poolse kaldtee maapealsele osale ja lihahalli idapoolsele välisuksele ja trepile



**Foto 42** Vaade turuhoonele Riia maantee poolt (vaade kagust)

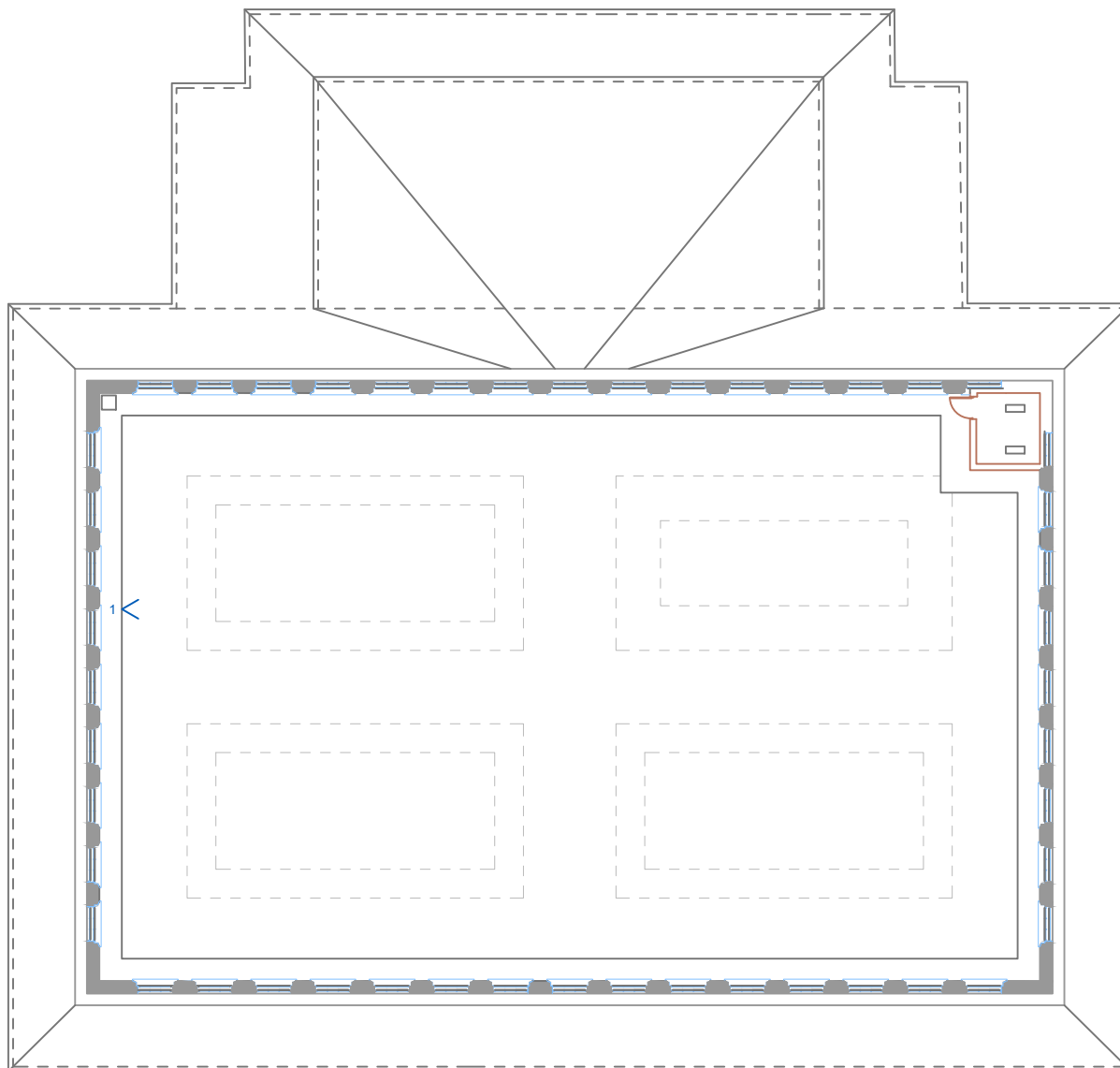


**Foto 43** Turuhoone Turu Vabaduse puiestee poolne fassaad (vaade edelast)



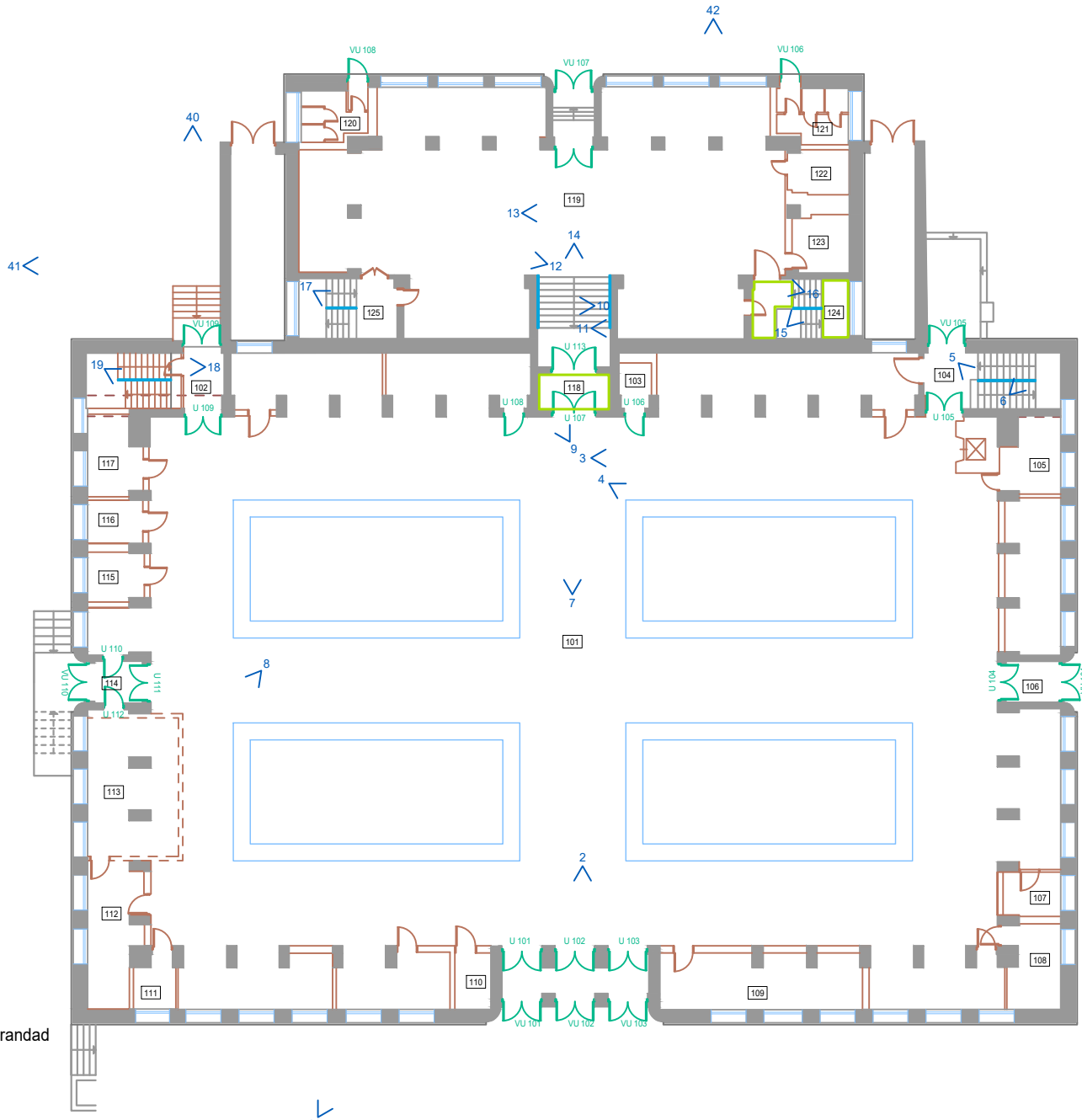
**Foto 44** Turuhoone peafassaad. (vaade loodest)

**Lisa 1.5. Plaanid koos kultuuriväärtuslike detailide ja fotode numbrite ja suunaga**

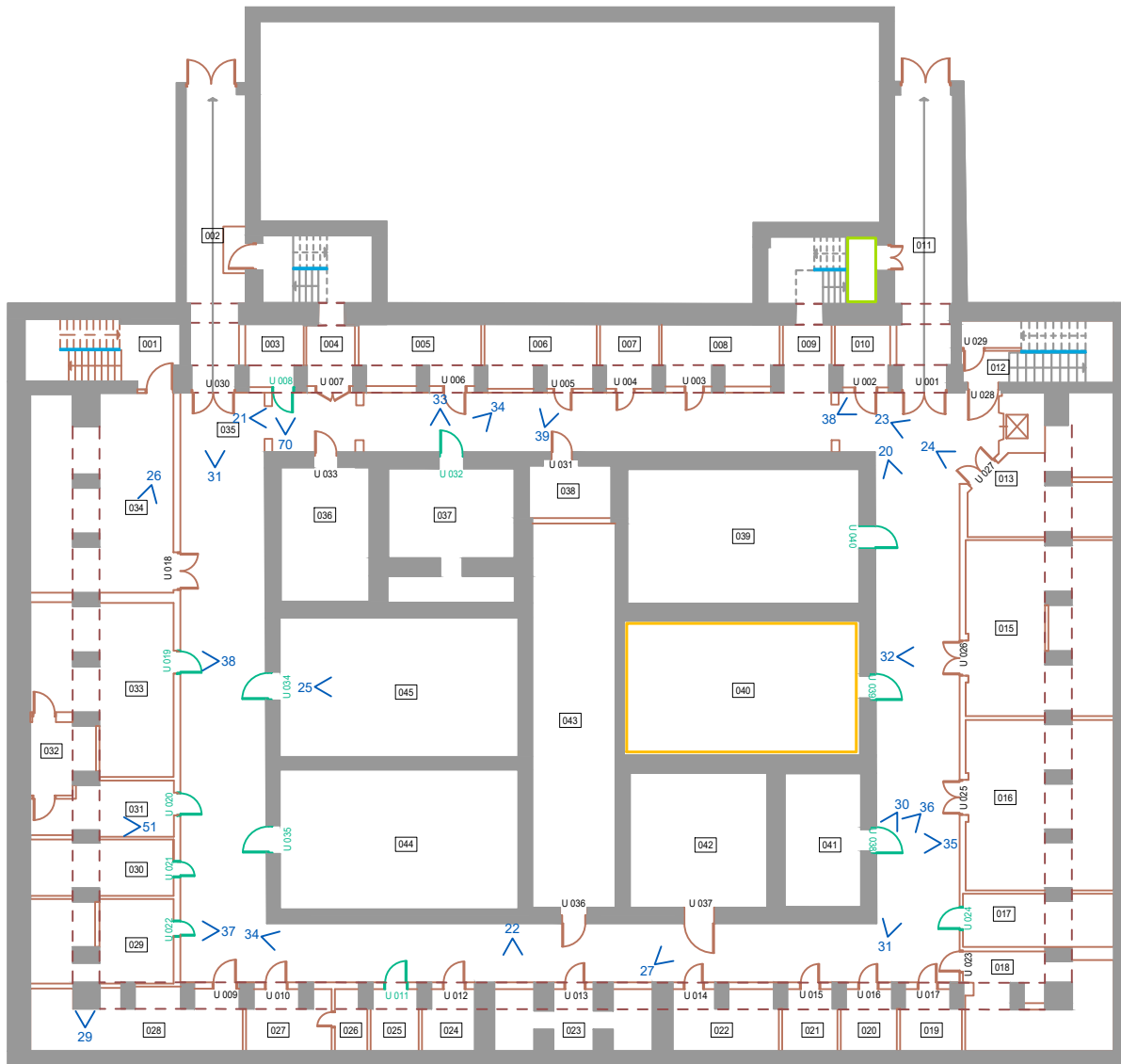


— säilitatavad seinad

RINGRÖDU

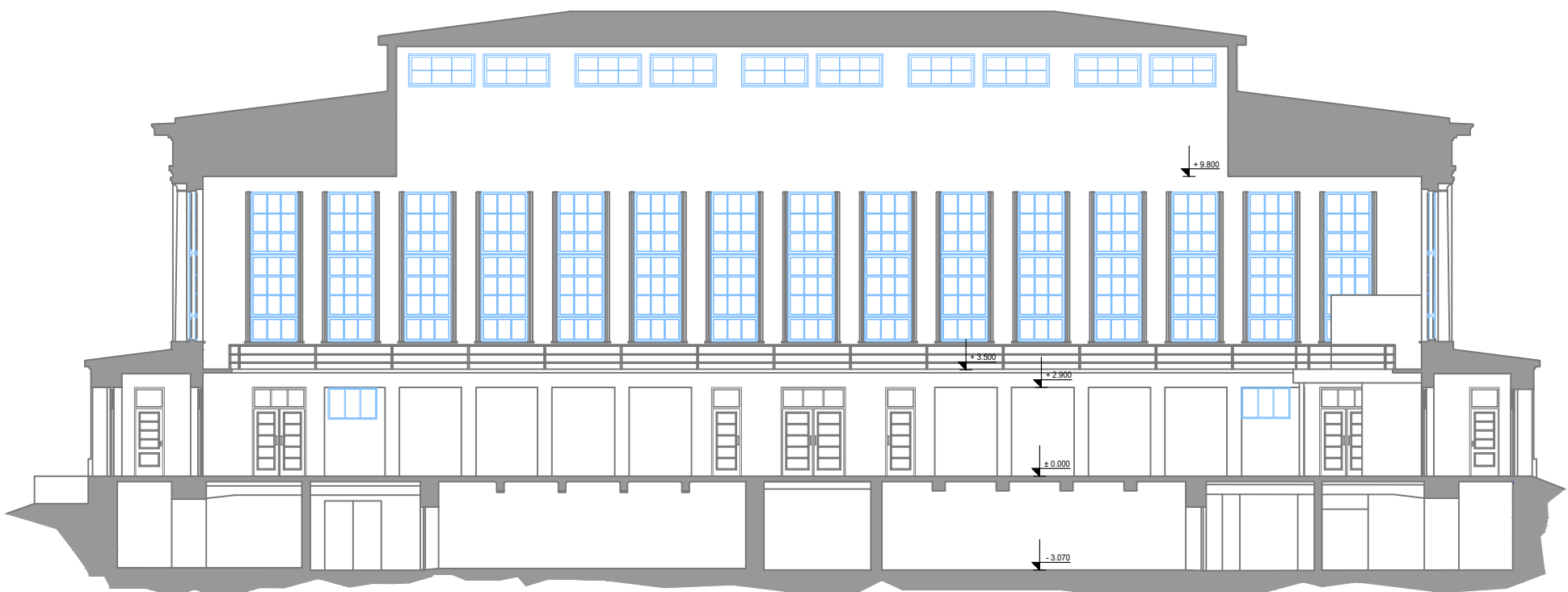


PÕHIKORRUS



KELDRIKORRUS

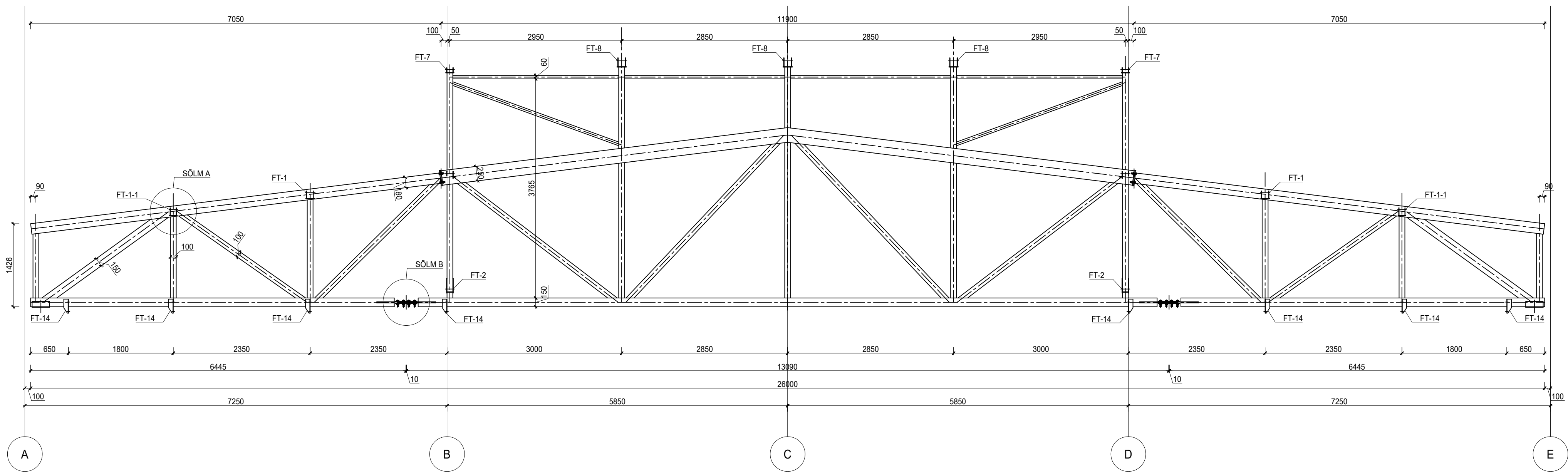
> 8  
fotode numbrid ja suunad



LÕIGE VAATEGA KALAHALLI POOLE

**Lisa 2. Fermi F-1 joonis**

## FERM F-1

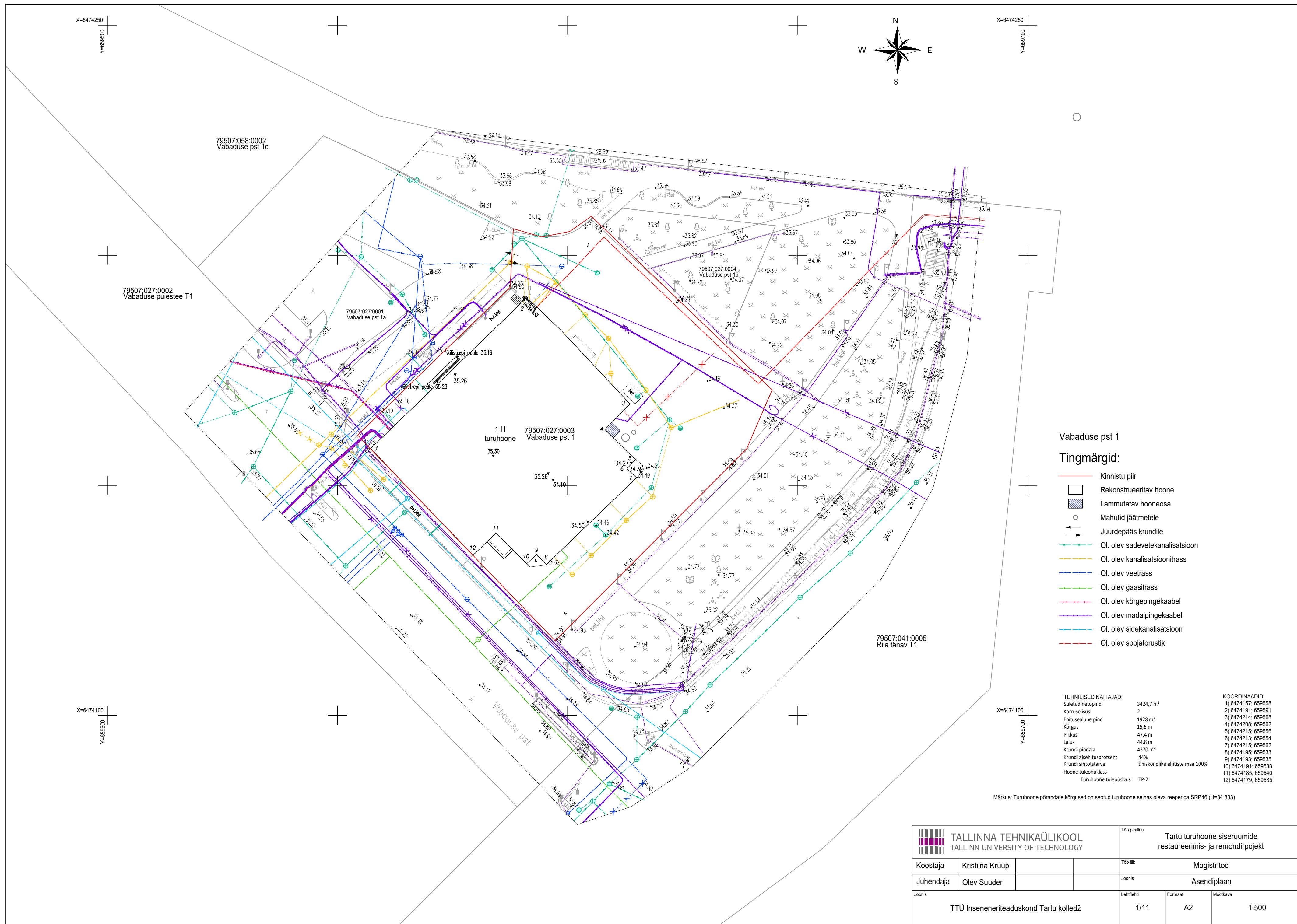


Ferm F-1 AS Tari 2000. aasta projektist "Tartu turuhoone lihahalli katus" töö number TR-030-00

<b>TALLINNA TEHNIAKÜLIKOOL</b> <b>TALLINN UNIVERSITY OF TECHNOLOGY</b>			Töö pealkiri Tartu turuhoone siseruumide restaureerimis- ja remondiprojekt		
Koostaja	Kristiina Kruup		Töö liik	Magistritöö	
Juhendaja	Olev Suuder		Joonis	Ferm F-1	
Joonis				Leht/lehti	Formaat
TTÜ Inseneneriteaduskond Tartu kolledž				1/1	A2
				Mõõtkava	
				1:50	

### **Lisa 3. Graafiline osa**

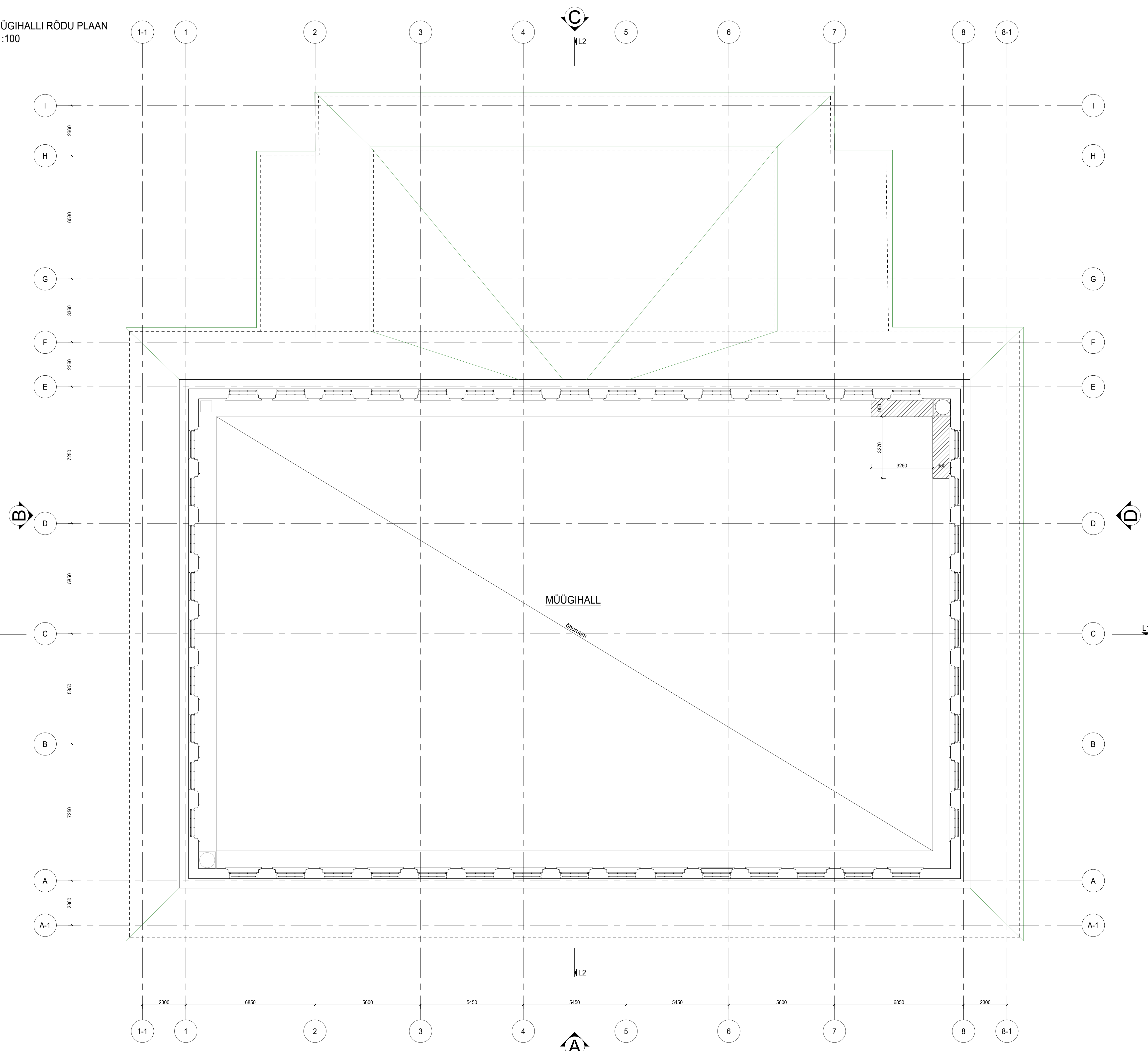
Leht	Pealkiri	Formaat	Mõõtkava
Joonis 1	Asendiplaan	A2	1:500
Joonis 2	Keldrikorruse plaan	A1	1:100
Joonis 3	Põhiikorruse plaan	A1	1:100
Joonis 4	Põhihalli rödu plaan	A1	1:100
Joonis 5	Põhihalli pööningu plaan	A1	1:100
Joonis 6	Lõige 1-1	A2	1:100
Joonis 7	Lõige 2-2	A2	1:100
Joonis 8	Vaade A	A2	1:100
Joonis 9	Vaade B	A2	1:100
Joonis 10	Vaade C	A2	1:100
Joonis 11	Vaade D	A2	1:100



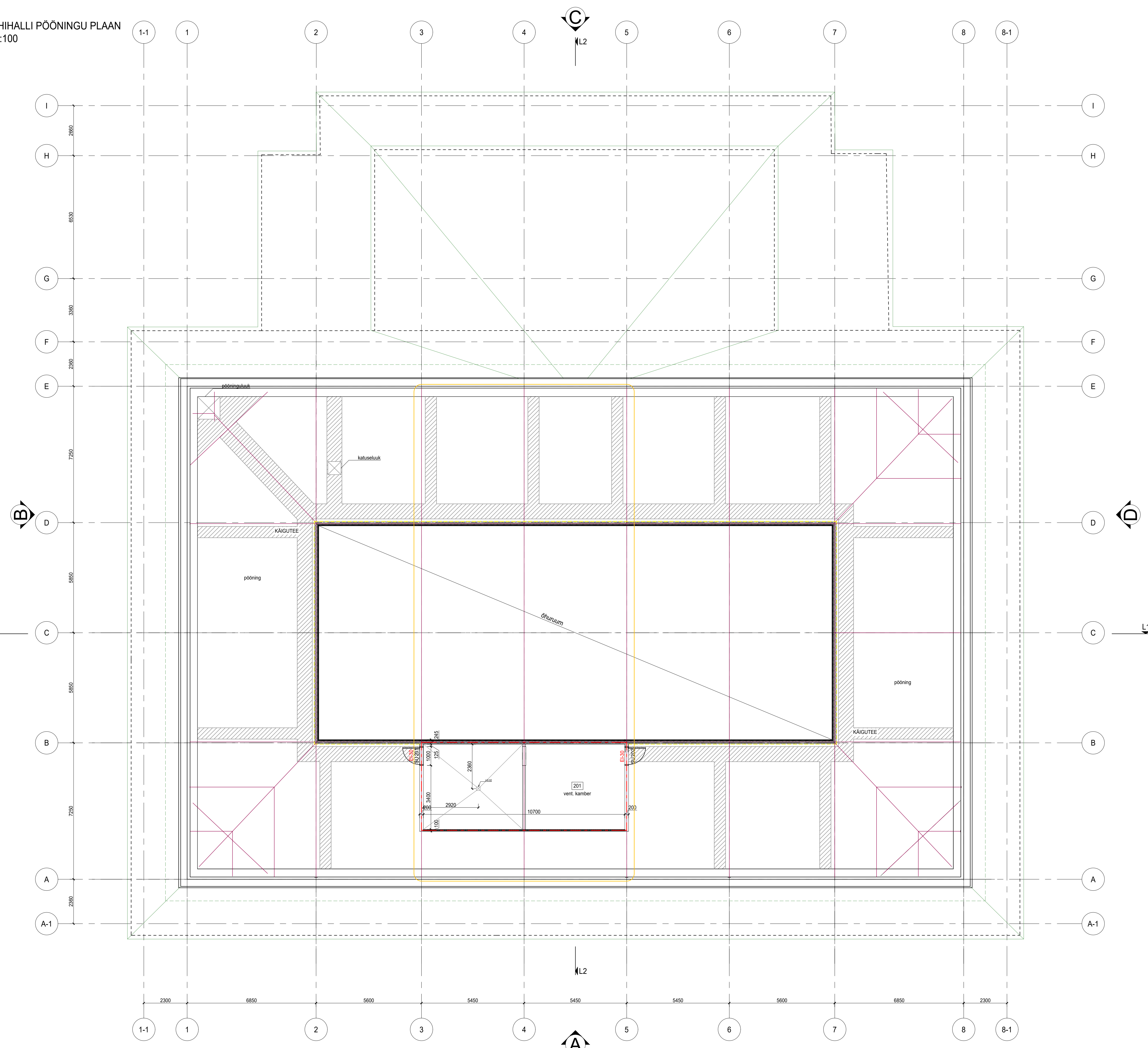




MÜÜGIHALI RÖDU PLAAN  
M 1:100



PÖHHALLI PÖÖNINGU PLAAN  
M 1:100



RUUMIDE EKSPLIKATSIOON

Ruumi nr	Ruumi nimetus	Pindala m <sup>2</sup>
201	vent. kamber	48,4
Pööning kokku		48,4 m <sup>2</sup>

TINGMÄRGID	
—	Käesolevas projekti käsitletav ala
—	Terasede katusefermide teljigrooved
—	Olemasolev/ säiliv konstruktsioon
—	Uus vahesein SS-5 metallkarikass 100mm
—	Tuletõrokesekslooni piir EI-30
▨	kägutee

MÄRKUS: Alusplaan pärineb Tari AS 2000. aasta projektist "Tartu turuhoone lihahalli katus" (töö number TR-030-00)

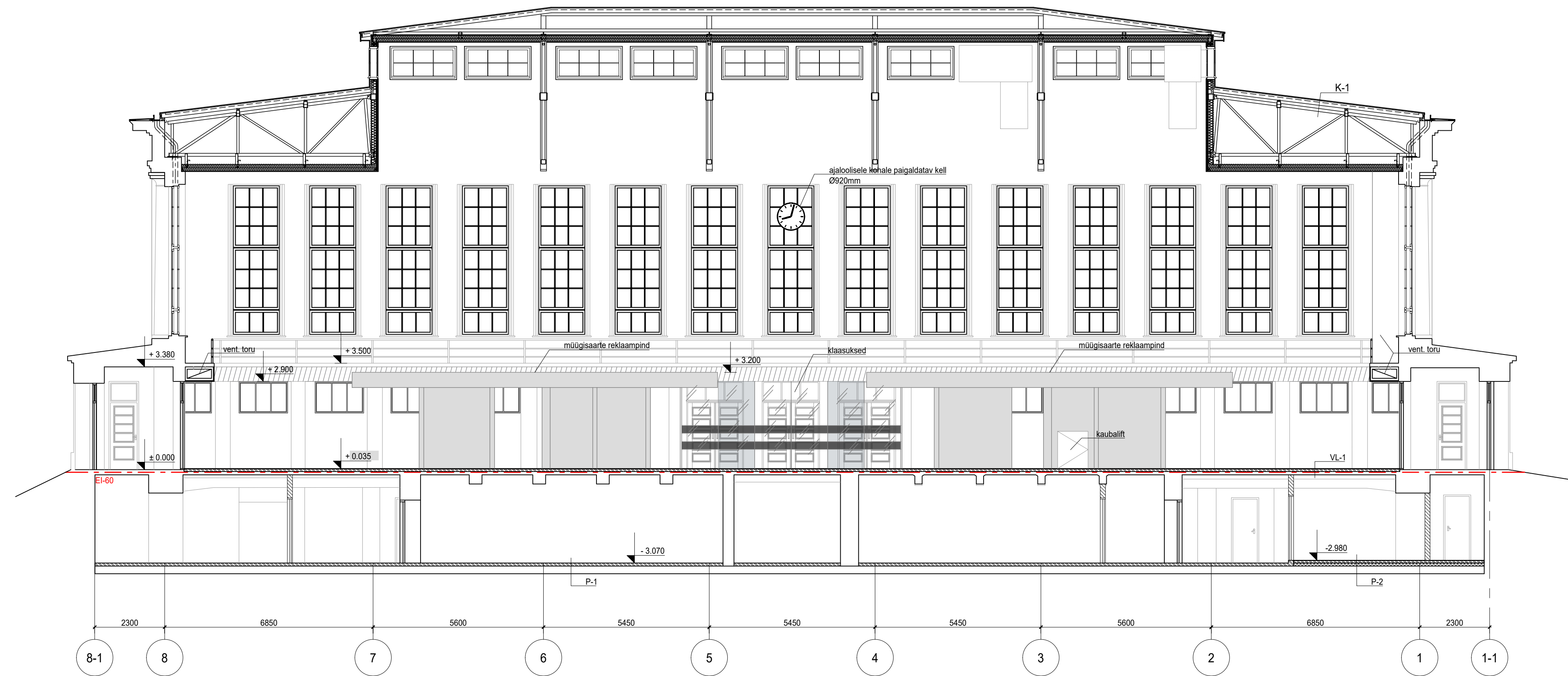
LÖIGE 1-1  
M 1:100

**K-1** ol. valtsitud katuseplekk  
ol. aluslaudis  
ol. aluskate  
sarikas 50x150 mm

**VL-1** keraamiline plaat  
raudbetoon + põrandaküte 80 mm  
soojustus 10 mm  
ol. raudbetoon  
lae viimistlus

**P-1** betooni tasandusvalu 100 mm  
algne raudbetoonpõrand

**P-2** keraamiline plaat  
raudbetoon + põrandaküte 80 mm  
soojustusplaat ESP 100 Silver 100 mm  
algne raudbetoonpõrand



TINGMÄRGID	
	Olemasolev/ säiliv konstruktsioon Tuletökkeseksiooni piir

TALLINNA TEHNIKAÜLIKOOL TALLINN UNIVERSITY OF TECHNOLOGY				Töö peakiri Tartu turuhoone siseruumide restaureerimis- ja remondiprojekt
Koostaja	Kristiina Kruup			Töö liik Magistritöö
Juhendaja	Olev Suuder			Joonis Löige 1-1
Joonis TTÜ Inseneneriteeaduskond Tartu kolledž			Leht/lehti	Formaat Mõõtkava
			6/11	A2 1:100

LÖIGE 2-2  
M 1:100

**K-1** ol. valtsitud katuseplekk  
ol. aluslaudis  
ol. aluskate  
sarikas 50x150 mm

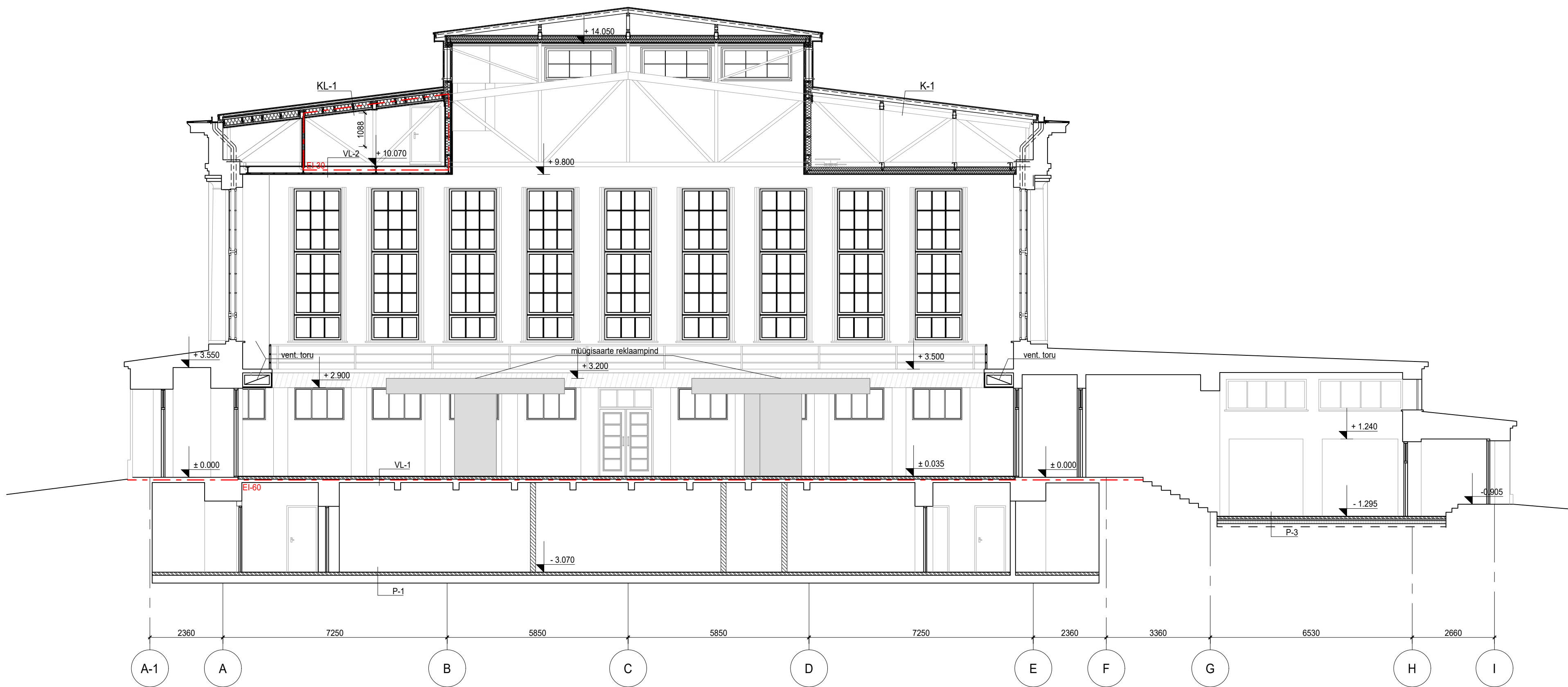
**KL-1** valtsitud katuseplekk  
aluslaudis 25x100 mm  
sarikas 50x150 mm  
sarikate küljes puitliist 30x20 mm +  
tuuletöökkeplaat Isover VKL 13 mm +  
mineraalvill 50 mm  
talad 50x200 mm, s. 600 mm  
mineraalvill 200 mm  
aurutöke  
kipsplaadi metallkarkass 45 mm  
kipsplaat 2x12,5 mm  
viimistlus

**VL-1** keraamiline plaat  
raudbetoon + põrandaküte 80 mm  
soojustus 10 mm  
ol. raudbetoon  
lae viimistlus

**VL-2** PVC põrandakate  
OSB plaat 22 mm  
talad 100x200mm, s.600 mm  
mineraalvill 200 mm  
puitlaudis 45x30 mm, s.400 mm  
ol. laelaudis

**P-1** betooni tasandusvalu 100 mm  
algne raudbetoonpõrand

**P-3** keraamiline plaat  
raudbetoon + põrandaküte 80 mm  
hüdroisolatsioon - ehituskile  
soojustusplaadid ESP 100 Silver, 50+100 mm  
tihendatud killustikalus ca 100 mm  
pinnas



TINGMÄRGID

<input type="checkbox"/>	Olemaolev/ säiliv konstruktsioon
<input checked="" type="checkbox"/>	Tuletökkeseksiooni piir

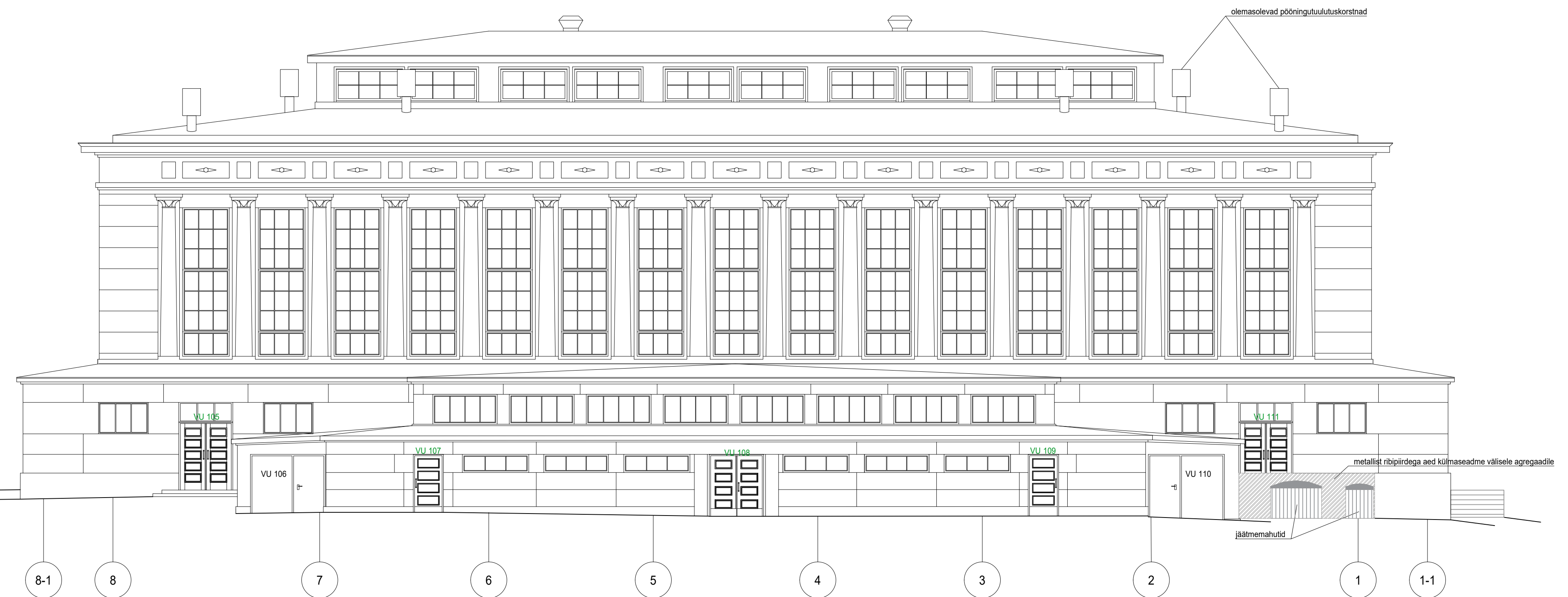
TALLINNA TEHNIKAÜLIKOOL TALLINN UNIVERSITY OF TECHNOLOGY				Töö peakiri Tartu turuhoone siseruumide restaureerimis- ja remondiprojekt
Koostaja	Kristiina Kruup			Töö liik Magistritöö
Juhendaja	Olev Suuder			Joonis Löige 2-2
Joonis TTÜ Inseneneriteeaduskond Tartu kolledž			Leht/lehti	Formaat A2
			Mõõtkava	1:100
			7/11	



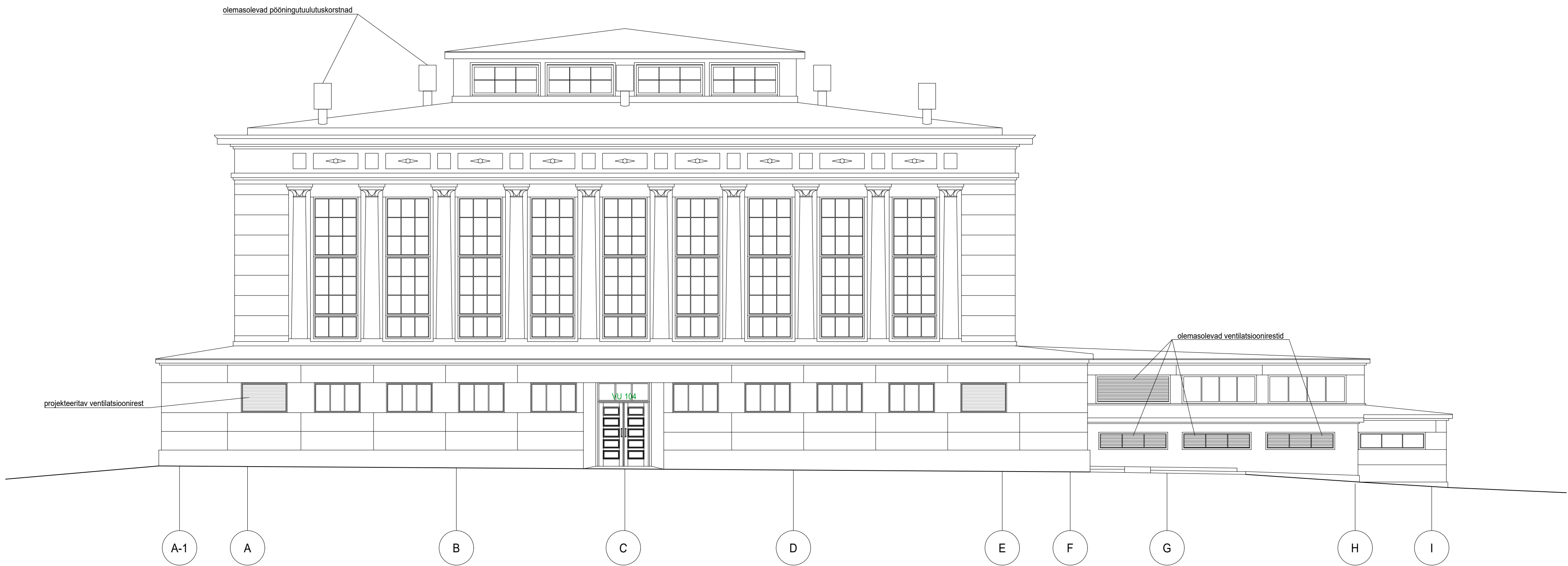
TALLINNA TEHNIAÜLIKOOOL TALLINN UNIVERSITY OF TECHNOLOGY	Töö peakiri Tartu turuhoone siseruumide restaureerimis- ja remondiprojekt
Koostaja	Kristiina Kruup
Juhendaja	Olev Suuder
Joonis	Töö liik Magistritöö
TTÜ Inseneneriteeaduskond Tartu kolledž	Joonis Vaade A
	Leht/lehti 8/11
	Formaat A2
	Mõõt kava 1:100



	TALLINNA TEHNIAÜLIKOO TALLINN UNIVERSITY OF TECHNOLOGY	Töö pealkiri Tartu turuhoone siseruumide restaureerimis- ja remondiprojekt
Koostaja	Kristiina Kruup	Töö liik Magistritöö
Juhendaja	Olev Suuder	Joonis Vaade B
Joonis	TTÜ Inseneneriteeaduskond Tartu kolledž	Leht/lehti 9/11
		Formaat A2
		Mõõtkava 1:100



	TALLINNA TEHNIAÜLIKOO TALLINN UNIVERSITY OF TECHNOLOGY	Töö pealkiri Tartu turuhoone siseruumide restaureerimis- ja remondiprojekt
Koostaja	Kristiina Kruup	Töö liik Magistritöö
Juhendaja	Olev Suuder	Joonis Vaade C
Joonis	TTÜ Inseneneriteeaduskond Tartu kolledž	Leht/lehti 10/11
		Formaat A2
		Mõõtikava 1:100



	TALLINNA TEHNIAKÜLIKOOL TALLINN UNIVERSITY OF TECHNOLOGY	Töö pealkiri Tartu turuhoone siseruumide restaureerimis- ja remondiprojekt		
Koostaja	Kristiina Krup	Töö liik Magistritöö		
Juhendaja	Olev Suuder	Joonis Vaade D		
Joonis	TTÜ Inseneneriteaduskond Tartu kolledž	Leht/lehti 11/11	Formaat A2	Mõõtkava 1:100